

Gesirilen Qızıl ve hıdri
qırınları. Ürümü olam bu tezin
devamının gelmesi ditegi ile...

S. Bayülkerman
ANKARA ÜNİVERSİTESİ SAĞLIK BİLİMLERİ ENSTİTÜSÜ 28 AGUSTOS 1990

11081

**DIABETİK KOŞULLarda KATARAKT OLUŞUMUNA NEDEN
OLAN ALDOZ REDÜKTAZ ENZİMİNİ İNHİBE EDEN YENİ
HİDANTOİN TÜREVİ BİLEŞİKLERİN SENTEZLERİ
VE ENZİMATİK AKTİVİTELERNİN TAYINI
ÜZERİNDE ÇALIŞMALAR**

Ecz. Sibel SÜZEN

YÜKSEK LİSANS TEZİ

Doktora
Merkoci

FARMASÖTİK KİMYA ANABİLİM DALI

DANIŞMAN
Doç. Dr. Erdem BÜYÜKBİNGÖL

1990 - ANKARA

1. İÇİNDEKİLER	1
2. ÖNSÖZ.....	4
3. GİRİŞ ve GENEL BİLGİLER.....	6
3.1. Giriş ve Amaç	6
3.2. Genel Bilgiler	10
3.2.1. Glükoz ve Diabet hastalığı	10
3.2.2. Diabetik Komplikasyonlar ve Sorbitol	13
3.2.3. Aldoz Redüktaz Enzimini inhibe Eden Bileşikler..	21
3.2.3.1. Asit Grubu Taşıyan Türevler	21
3.2.3.2. Flavonoidler	25
3.2.3.3. Benzopirenler, Anti-allerji Ajanları ve Benzofenonlar	28
3.2.3.4. Spirohidantoin ve Türevleri	34
3.2.3.5. Heterosiklik Alkonik Bileşikler	42
3.2.3.6. Nonsteroidal Antienflamatuar Ajanlar ...	47
3.2.3.7. Alkaloidler	50
3.2.3.8. Diğer Aldoz Redüktaz inhibitörü Bileşikler.....	52
3.2.4. Aldoz Redüktaz Enziminin inhibitör Bölgesinin modeli	53
3.2.5. Tolrestatin Gelişimi	55
4. MATERİYAL VE METOD	60
4.1. Materyaller	60
4.1.1. Kullanılan Araç ve Gereçler	60

5.1.2. 5-[(2'-fenil)-3'-indolal]-1-asetil-2- tiyohidantoin.....	76
5.1.3. 5-(3'-indolal)-2-tiyohidantoin	79
5.1.4. 5-[(5'-bromo)-3'-indolal]-2-tiyohidantoin	82
5.1.5. 5-[(5'-nitro)-3'-indolal]-2-tiyohidantoin	85
5.1.6. 5-[(5'-siyano)-3'-indolal]-2-tiyohidantoin	88
5.1.7. 5-[(2'-fenil)-3'-indolal]-2-tiyohidantoin	91
5.2. Sentezlenen Bileşiklerin Aldoz Redüktaz Enzim inhibisyon Tayini	94
6. SONUÇ ve TARTIŞMA	96
7. ÖZET	111
8. İNGİLİZCE ÖZET (SUMMARY)	113
9. KAYNAKLAR	115
ÖZGEÇMİŞ	130

Çalışmalarımın ürünü olan Yüksek Lisans Tezi'min hazırlanmasında bilimsel katkıları ile her konuda destek ve yardımını gördüğüm, özveri ile çalışmalarımı yönlendiren, bilimsel yetişmemle katkıda bulunan, iyi bir dost olarak örnek alacağım hocam sayın Doç. Dr. Erdem Büyükbingöl'e teşekkürlerimi sunarım.

Araştırmalarımın yürütülmesi sırasında bana destek olan ve problemlerimle ilgilenen A.Ü. Eczacılık Fakültesi Farmasötik Kimya Anabilim Dalı başkanı sayın Prof. Dr. Rahmiye Ertan başta olmak üzere tüm öğretim üyelerine ve Araştırma görevlisi arkadaşlarına teşekkür ederim.

Çalışmalarım sırasında her konuda ilgi ve yardımlarını gördüğüm, sorunlarımı paylaşarak özveri ile davranışan, en büyük destegim, eşim sayın Uzm. Ecz. Sinan Süzen'e (♥) ve aileme teşekkür ederim.

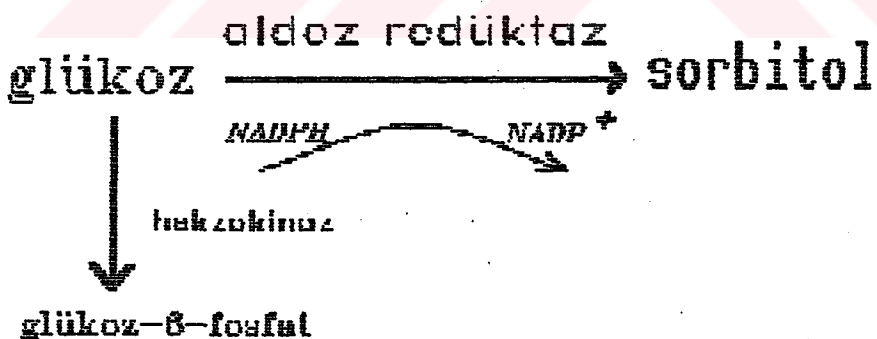
Tez çalışmam sırasında, UV ölçümelerinin yapılmasında yardımcı olan sayın Dr. Cem Yücesoy'a, 1H NMR spektrumlarının alınmasında yardımlarını esirgemeyen G.Ü Fen Edebiyat Fakültesi Kimya Bölümü Araş. Gör. sayın Dr. Yılmaz Yıldırır'a, IR spektrumlarının alınmasında yardımını gördüğüm Jandarma Narkotik Laboratuvarı amiri sayın Yzb. M. Ali Yılmaz'a, sentezlenen bileşiklerin enzim inhibitörlerinin ölçümünde yardımcı olan sayın Uzm. Ecz. Net Daş'a teşekkür ederim.

Tez çalışmamda proje kanalıyla maddi açıdan destek gördüğüm A.Ü Araştırma Fonu Kurumuna Teşekkür ederim.

3. GİRİŞ ve GENEL BİLGİLER

3.1. Giriş ve Amaç

Bilim dünyasındaki hızlı gelişmelere rağmen, diabet hastaları için ömrü boyu insülin kullanımı dışında kesin bir tedavi bulunamamıştır. insülin tedavisi, diabetik kişilerde ölüme sebebiyet veren keto asidik komanın oluşumunu önlemesine rağmen, kronik diabet hastalarında görülen komplikasyonları önleyememektedir (84). Bu komplikasyonların oluşumunda aldoz redüktaz (AR) enziminin büyük rolü vardır. NADPH'ı kofaktör olarak kullanan aldoz redüktaz, organizmada sorbitol yolağında (Şema 3.1) yer alan ve memelilerde glükoz metabolizmasında düzenleyici fonksiyonu bulunan bir enzimdir (57).



Şema 3.1. Sorbitol yolağı

Aldoz redüktaz enzimi, lenslerde, korneal epitel yumda, retina da, optik sinirlerde, plasentada (87), beyinde, böbreklerde, kaslarda ve spermada bulunmaktadır (84). Bunların yanı sıra, omurilikte (64) ve eritrositlerde (107) de bulunduğu bildirilmiştir. Yaşlı kişilerde ve özellikle diabetik kişilerde oynadığı fizyolojik rol ile önemli komplikasyonlara neden olabilmektedir.

Normal koşullar altında aldoz redüktaz enziminin glükoz üzerinde çok az bir affinitesi vardır. Glükoz, sağlıklı kişilerde daha çok hekzokinaz enzime yüksek affinité göstermekte ve glükoz-6-fosfata dönüşmektedir (104). Ancak, diabetik koşullarda bu durum değişir ve glükoz, aldoz redüktaz enzimi ile sorbitole dönüşür (40). Sorbitol ise çeşitli dokularda birikerek, bu bölgelerde harabiyet ve diabetik komplikasyonlara yol açar (73).

Aldoz redüktaz enzimini inhibe eden bileşikler üzerinde yapılan çalışmalar, diabetik komplikasyonlarının önlenmesi ve tedavisinde oldukça yararlı olabilmektedir (62). Enzime karşı inhibitör etki gösteren bileşikler, oldukça çeşitli sınıflara ait moleküller yapıları içermektedir. Bu bileşikler arasında alifatik ve keto asitler (41), oksokroman halka sistemine sahip bileşikler (66), oksazol türevleri (147), 7-sülfamoyiksanton-2-karboksilik asit türevleri (103), hidroksietilazoller (116), flavonoidler (159), hidantoinler

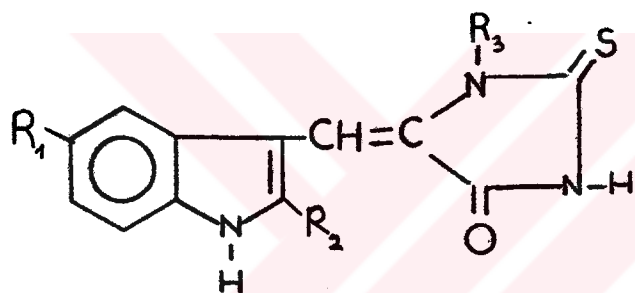
(88) ve spirohidantoin (120) türevi bileşikler bulunmaktadır. Aldoz redüktaz enzimini inhibe eden farklı moleküller yapıya sahip olan bileşiklerin bulunması, bu enzimin aktif yörenine stereossefistik olarak etkileşmede bulunabilecek farmakoforik grupların araştırılmasına yol açmış ve farklı moleküller sınıflara ait olan bileşiklerde ortak noktaların aranmasına başlanılmıştır (80). Elde edilen verilerin ışığı altında, hem siklik, hem de non-siklik hidantoin yapısı taşıyan bileşiklerin, aldoz redüktaz enzime karşı oldukça etkin inhibisyon yaptıkları saptanmıştır (49, 108, 109, 141). Bu araştırmada, hidantoin çekirdeğinin aldoz redüktaz enzimi üzerindeki etkisi ele alınarak, daha önce sentezi yapılmamış hidantoin bileşiklerinin sentezleri ve bu bileşiklerin aldoz redüktaz enzimi üzerindeki inhibitör etkilerinin araştırılması amaçlanmıştır. Daha önce yapılan çalışmalarla, aldoz redüktaz enzimini inhibe eden bileşikler içinde tiyohidantoin yapısının yer almaması, bizi, hidantoin çekirdeği yerine, tiyohidantoin yapısının sentezlenmesi düşüncesine götürdü. İndol yapısının tasarlanan bu bileşiklerde kullanılmasında ise iki yaklaşım esas olarak düşünülmüştür. Bunlardan birinci, indol yapısının biyolojik organizma tarafından iyi tanınan bir moleküller yapı olması ve triptofan amino asiti gibi fizyolojik önemi olan bir molekülün esasını oluşturmazıdır ki, hidantoin çekirdeği için iyi bir taşıyıcı görevi görebileceği varsayılmaktadır. Bunun yanı sıra indol, medicinal olarak kullanılan bir çok

antibiyotığın, örneğin, mitomisin grubu antibiyotiklerin yapısında bulunmaktadır ki, bu grup antibiyotiklerin kanser kemoterapisinde etkili oldukları (82) ve DNA ile etkileşimde bulundukları bildirilmiştir (19). Mitomisin grubu antibiyotiklerin yanı sıra, diğer bazı antibiyotiklerin (indolmisin, gliotoksin) de yapılarında indol halkası yer almaktadır. Indol yapısının fizyolojik olarak önemi, triptofan amino asitinin ve bundan türeyen serotoninin bileşiğinin yapısında yer almasından ileri gelmektedir. Serotonin bilindiği gibi vasokonstrktör bir bileşik olup, memeli organizmasında fizyolojik önemi olan ve merkezi sinir sisteminde rol oynayan bir bileşiktir. Bu iki bileşliğin yanı sıra, indol yapısı taşıyan ve serotonin yapısal benzerliği bulunan ve hormonal özellik taşıyan bir diğer bileşik de melatoninidir. Indol yapısı içeren medisinal önemlilik gösteren diğer bileşikler ise şu şekilde sıralanabilir. Reserpin, yohimbin, aspidospermin, striknin, vinkristin, vinblastin, ergotamin, liserjik asit ve ergonovin.

İkinci olarak, indol yapısı, aldoz redüktaz enzimi üzerinde yapılan moleküller orbital çalışmaları sonunda ortaya konulan inhibitörlerin enzimin aktif yoresi ile etkileşmesi için gerekli olan planariteyi sağlamaktadır (61). Bilindiği gibi indol, planar heteroaromatik bir moleküldür. Bir no lu pozisyonda bulunan azot üzerindeki serbest elektron çiftini de sayarsak 10-pi-elektron sistemine sahiptir. Heterosiklik azot

atomu, serbest elektron çiftinin delokalizasyona katılması nedeniyle zayıf bazik özellik de göstermektedir. Dolayısıyla, aldoz redüktaz enziminin aktif yöreni ile etkileşmesinde önemli bir fonksiyon olarak karşımıza çıkan planar aromatik bölgeyi temsil edebilecek bir özelliğe sahiptir (65).

Elde edilen veriler sonucunda, aşağıda genel formülü verilen bir seri yeni 5-(3'-indolal)-2-tiyohidantoin türevi bileşik sentezlenmesi ve spektroskopik yapı aydınlatılması çalışmaları yapılarak, aldoz redüktaz enzimi üzerindeki inhibisyon aktiviteleri çalışılması amaçlandı.



3.2 Genel Bilgiler

3.2.1 Glükoz ve Diabet hastalığı

Diabetes Mellitus, insülin yetersizliğinden ve/veya etkisizliğinden kaynaklanan karbonhidrat, yağ ve protein metabolizmasındaki bir bozukluk hastalığı olarak karşımıza çıkmaktadır. Bu hastalık, yükseltmiş kan glükoz düzeyleri ile

kendini belli etmektedir. İnsülin gereksimine göre, bu hastalık iki ana kategoride ele alınmaktadır (1).

1) İnsülin-Bağımsız Diabet: En sık rastlanılan ve Tip-II olarak adlandırılan bir diabet tipidir. Çoğunlukla obesite (şişmanlık) ile birlikte ortaya çıkmakta ve genellikle 35 yaşın altında teşhis edilememektedir. Bu kategori içinde yer alan hastalarda bir miktar insülin salgısı kan dolaşımına karışmaktadır ve hastalar ya diet uygulaması ile ya da oral antidiabetik ilaçlarla kontrol altında tutulabilmektedirler.

2) İnsülin-Bağımlı Diabet: Tip-I olarak adlandırılan bu kategori, tüm diabetik hastaların % 10-12'sini oluşturmaktadır ve genellikle gençlik yaşlarında gelişmeye başlamaktadır. Hastaların insülin sekresyon yetenekleri yoktur ve dışardan insülin alınmasına gereksinim duyarlar.

Organizmada insülinin yokluğu ya da inaktif halde bulunması durumunda, glükozun periferik hücrelerde yanması bozulmaktadır. Çünkü, insülin sayesinde hücre dışındaki glükoz, glükoz-6-fosfat halini alarak hücre içine girmektedir. İnsülin, hem bu fosforilasyonu temin etmekte, hem de hücre zarının glükoz geçirgenliğini artırmaktadır. Hücre içine giren glükoz, ihtiyaca göre yakılır veya glikojen halinde depolanır. İnsülin eksikliğinde glükoz, karaciğer hücresi içine giremez ve dolayısıyla da işlevlerini yerine getiremez. Bu durumda organizma, iki yola başvurur. Birincisi kalori ihtiyacını sağlamak için proteinleri ve yağları yakmak, ikincisi ise, kan

glükoz seviyesini yükselterek hücreye glükoz girmesini temin etmektir.

İnsülin metabolizmasındaki bozukluklar nedeniyle spesifik olarak hiperglisemi ve bunun doğal sonucu olarak da ortaya çıkan diabetik komplikasyonların fizyopatolojik etkileri görülür. Organizmaya dışardan insülin verilmesi, bazı bozuklukları ortadan kaldırabilmektedir, ancak, kronik diabet hastalarında ortaya çıkan ikincil komplikasyonları yeterince önleyememektedir (1). Yeni geliştirilen bir tedavi yöntemine göre, mekanize ve komputerize bir pompa sayesinde organizmaya 24 saat süre ile insülin verilmektedir (sürekli subkutan insülin infüzyonu). Bu yöntemin daha başarılı olarak glisemik kontrol gerçekleştirdiği savunulmakta ise de, diabetik komplikasyonlar açısından yararlı (152) ve yararsız (81) yönlerinin olup olmadığı henüz bilinmemektedir. Ayrıca, sıkı bir şekilde glisemik kontrolün sağlanmasının da, ölümler sonuçlanabilecek ketoasidozis gelişmesine açık hastalarda bir takım risklerin de olduğu bir gerçektir (155). Pankreas transplantasyonu ise , henüz başarı düzeyi düşük bir yöntem olarak karşımıza çıkmaktadır.

Diabetik hastalarda insülin uygulaması, kan glükoz düzeylerini kontrol altında tutmasına rağmen diabetik komplikasyonları önleyememektedir. Bu komplikasyonların oluşum mekanizması sorbitol yolağında yer alan aldoz redüktaz enziminin glükoza olan affinitesi ile açıklanabilmektedir.

3.2.2 Diabetik Komplikasyonlar ve Sorbitol

Bir çok dokuda aldoz redüktaz enzimi, sorbitol yolağında yer alan hekzokinaz enzimi ile glükozun biyotransformasyonu için bir yarış halindedir. Normal fizyolojik şartlar altında hekzokinazın glükoza olan affinitesi, aldoz redüktaza göre çok daha fazladır ve glükoz hekzokinaz enzimi tarafından fosforilasyona uğratılarak glükoz-6-fosfata dönüştürülür. Hipergliseminin fizyolojik olamayan koşulları altında ya da diabet hastalığında aldoz redüktaz enziminin glükoza affinitesinde büyük bir artış görülmektedir. Bunun sonucunda da glükoz büyük bir hızla sorbitole dönüşür. Glükozun sorbitole dönüşüm hızı, sorbitolün fruktoza dönüşümünden fazla olduğu için de sorbitol dokularda birikir. Bu birikim sorbitolün polaritesi ile artar. Membranlardan kolayca geçerek dokudan difüzyon yolu ile uzaklaşması zorlaşır. Sorbitolün hücre içinde birikmesi, hiperozmotik etkiye neden olur ve hücre içine sıvı girişi başlar. Dokularda şişme meydana gelir ve membran geçirgenliğinde değişim söz konusu olarak hücresel patoloji başlar (77). Son yıllarda yapılan NMR çalışmaları, sorbitolle oluşan bu tip patolojinin, NADPH'in hızla tükenmesi sonucu hücresel redoks potansiyelindeki değişimlerle de arttığı görüşünü ortaya koymuştur (37). Hiperozmotik etki sonucu

oluşan hücre şişmesinin bir çok yan etkileri vardır. Hücre zarının geçirgenliğinin artması sonucu, hücre içinde K^+ , Na^+ , Cl^- iyonlarının, amino asitlerin, glutationun ve inositolün konsantrasyonu artarken, ATP konsantrasyonu düşmektedir. Bu hücresel dengesizlik devam ederken, sodyum ve klor iyonlarının konsantrasyonunun artması nedeniyle ikinci bir osmotik değişim meydana gelmektedir. Katarkt oluşumunda bu olay çok açık bir şekilde gözlenebilmektedir (76).

Aldoz redüktaz enzimine bağlı olarak gelişen en önemli komplikasyon, diabetik katarakt oluşumudur (64). Özellikle 1930 lu yillardan bu yana, konu üzerinde oldukça ayrıntılı çalışmalar yapılmaktadır. Kullanılan hayvan modellerinden elde edilen sonuçlara göre, yapay olarak hayvanlarda katarakt oluşumu mümkün olmaktadır. Pankreasın çıkartılması ya da alloxan veya streptozotosin enjeksiyonu ile pankreatik beta hücrelerinin hasara uğratılması sonucu katarakt oluşumu sağlanabilmektedir. HEYNINGEN'in 1959 yılında diabetik siyan lenslerinde bulduğu sorbitolden sonra, aldoz redüktaz enzimini içeren sorbitol yolağının diabetik katarakt gelişimindeki önemi daha iyice anlaşılmıştır (156).

Diabetik kataraktan başka, diğer komplikasyonlar arasında vasküler kaynaklı olanlar gelmektedir. Diabetik hastalarda arterioskleroz, çok sık olarak görülmektedir. Damar bozukluğu ile diabetin süre ve ağırlığı arasında paralellik vardır. Orta ve büyük arterleri tutan

arterioskleroz obliteransının (damar tıkanıklığı) yanı sıra sadece diabete has olan diabetik anjiopati (diabetik damar rahatsızlığı) en önemli komplikasyonlardandır. Mikroanjiopati adı da verilen bu komplikasyon, küçük arterlerin tıkanıklığına yol açtığı için lokal gangrenlere neden olabilmektedir (1).

Retina arterlerinin diabetik anjiopatisi sonucu, diabetik ve arteriosklerotik retinitit oluşabilir. İlerlemiş vakalarda korneal epiteliopati, retinopati ve katarakt oluşur (1).

Diabet hastalarında böbrek lezyonlarına da sık rastlanır. interkapiller glomerüloskleroz sonucu hastalarda proteinürü görülür. Bu da nefrotik sendroma yol açar. Özelliği hipertansiyona ve azotemiye yol açmasıdır. Diabetik hastalarda görülen bu tabloya Kimmelstiel-Wilson sendromu denir (1).

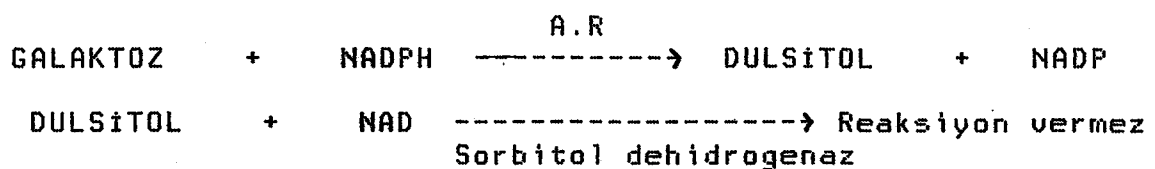
Nöropatiler de diabetin çok sık rastlanan komplikasyonlarındandır. Daha çok alt ekstremitelerde görülmektedir. Bu komplikasyonda hem motor, hem de hissi bozukluklar ortaya çıkmaktadır. Oluşan ağrı, uyuşma ve yanma ile karakterizedir (1).

Diabetik komplikasyonlar, bir çok dokuda meydana gelebilmekte ve çeşitli duyu organlarını, sinir sistemini, kan dolaşımını ve renal atılımını etkilemektedir (73). Öküller diabetik komplikasyonlar içinde katarakt oluşumundan başka, retinopati, korneal epiteliopati (keratopati), en sık olarak rastlanılanlardır. Aldoz redüktaz enzimi, retinal kapillerin

mural hücrelerinde lokalize olmuşlardır. İnsan retinopatisi sırasında bu hücrelerin dejenera olduğu gözlenmiştir (2). Deneysel olarak galaktozemik köpeklerde retinopatinin klinik belirtilerini elde etmek mümkün olabilmektedir (31). Keropati durumunda ise, korneal epitelyum, oküler manipasyonlara son derece az tolerans gösterir birduruma gelmektedir. Hatta böyle bir durumda kontakt lens kullanımı bile şiddetli reaksiyona neden olmaktadır. Diabetik koşulların oluşması ile etkilenen sinir sisteminde ise görülen bozukluklar arasında, sinir motor fonksiyonlarının ve duyusal algılamanın değişmesini ve ağrı oluşumu ile birlikte ortaya çıkan diabetik nöropatiyi örnek olarak verebiliriz (73). Burada, motor sinir iletim hızı, aksonal transport, ve duyusal algılamada azalma görülmektedir (165). Diabetik mikroanjiyopati ise, diabetle ilgili genel vasküler abnormalitelerin sonucunda ortaya çıkmaktadır ve kapiller mikroanürism ile platelet agregasyonunu da içermektedir (35). Glomerüler kalınlaşma ve proteinürea ise, diabetik nefropatinin birer sonucu olarak karşımıza çıkmaktadır (63). Bu komplikasyonlar sonucu görme işlevinde bozukluklar, duyusal algılama kaybı ve prematüre ölümler meydana gelmektedir. Bu komplikasyonların ana nedenleri henüz bilinmez olarak kalırken, dokulardaki insülin-bağımsız glükozun biyokimyasal dönüşüm mekanizmasının oldukça etkili olduğu anlaşılmıştır (77). Sorbitol yolağında yer alan aldoz redüktaz enziminin ise, yukarıda sayılan diabetik

komplikasyonlarının pek çogunun patojenezinde biyokimyasal bağlantı rolü oynadığı ortaya konulmuştur (77). Sorbitol yolağında bilindiği gibi, aldoz redüktaz (alditol:NADP⁺ oksido redüktaz) ve sorbitol dehidrogenaz (1-iditol dehidrogenaz) enzimleri yer almaktadır. Aldoz redüktaz enzimi, stereospesifik olarak NADPH den glükozun aldehit formuna bir hidroç transferi yaparak sorbitol oluşmasını sağlamaktadır. Sorbitol dehidrogenaz enzimi ise, NAD⁺ i kullanarak, oluşan bu ara ürünü fruktoza dönüştürmektedir. Aldoz redüktaz enzimi ve sorbitol yolağı ilk kez 1956 yılında HERS tarafından spermeler için fruktoz üretimi yapan seminal keselerinde bulunmuştur (43). Lenslerde enzimin bulunması ise 1958 yılında HEYNINGEN tarafından olmuştur (156). Bugün ise, sorbitol yolağının çeşitli dokularda bulunduğu ve diabet-iliskili patolojilerden sorumlu olduğunu biliyoruz. Aldoz redüktaz enzimi bir çok dokulardan elde edilip saflaştırılmıştır. Bunlar arasında lens (9, 26, 146) plasenta (59), beyin (101, 162), böbrek (72), kas (21) ve seminal kesecikler (85) yer almaktadır. Bu çalışmalar göstermiştir ki, aldoz redüktaz enzimi sülphidril grubu taşıyan monomerik yapıda bir enzimdir ve molekül ağırlığı 28 ile 45 K arasında değişmektedir (146). Aldoz redüktaz bir metaloprotein yapısında değildir ve ne fosfata, ne de glikoprotein gruplarına bağlanmıştır (146). Lenslerde aldoz redüktazla ortaya çıkan yan etkiler, ilk kez KINOSHITA tarafından açıklanmaya çalışılmıştır (74). Katarakt

oluşumunun ozmotik hipotezini temel olarak aldığımızda, aldoz redüktazın glükoza olan affinitesi sonucu oluşan aşırı mikardaki sorbitolün intrasellüler olarak birikmesi ile doku harabiyeti meydana gelmektedir. Bu da, hücre-içi ozmotik dengenin değişmesine neden olmaktadır (73). Daha önce de belirtildiği gibi, diabetik patoloji gösteren diğer dokularda da görülmektedir (92). Sorbitol oluşumu, sorbitolün fruktoza dönüşümünden daha hızlı bir biyokimyasal işlev ile olmaktadır. Bu da, yukarıda belirtilen patolojileri açıklamaktadır. Aldoz redüktaz, glükozun yanı sıra, diğer bazı aromatik ve alifatik aldehitleri de redüklemektedir. Bunlar arasında, galaktoz, ksiloz ve arabinoz sayılabilir. Şeker galaktozu, enzim için glükozdan daha iyi bir substrat özelliği göstermektedir. Bunun nedeni, hücre içinde konsantrasyonu artmış galaktozun, glükozun sorbitole dönüşümünden çok daha hızlı bir şekilde galaktikole (dulcitol) redüklenmesidir (Şema 3.2). Bunun da ötesinde, oluşan galaktikol, sorbitol dehidrogenaz enzimi ile metabolize olamadığından hücre-içi konsantrasyonu oldukça yüksek olarak kalmaktadır ki, bu nedenle klinik çalışmalarında galaktosemik hayvan modellerinin kullanılması, aldoz redüktaz enzimi ile diabetik komplikasyonlar arasındaki ilişkileri belirlemekte oldukça yararlı olmaktadır (31).



Şema 3.2. Galaktozun dulsitole dönüşümü

Çeşitli hayvan deneyleri ve yapılan klinik çalışmalarında görülmüştür ki, aldoz redüktaz enziminin inhibisyonu, nöropati (36), korneal epiteliopati (76), retinopati (105) ve mikroanjiyopati (111) gibi diabetik komplikasyonlarının başlangıcını önlemesinin yanı sıra, diabetiklerde katarakt oluşumunu da ya geciktirmekte, ya da önlemektedir (102). Aldoz redüktaz enzimini direkt olarak inhibe eden bileşiklerin, belli diabetik komplikasyonlarının önlenmesinde kullanılmasının oldukça yararlı sonuçlar vereceği ve insülin-bağımsız kan-glükoz düzeylerinin kontrolünde yeni bir tedavi şekli olarak ortaya konulabileceği belirlenmiştir (45). Aldoz redüktaz enziminin inhibisyon çalışmalarında çeşitli dokular kaynak olarak kullanılmıştır. Bunlar arasında en çok kullanılanları, sığır, sincan, tavşan ve insan lensleridir. Bnlardan başka, insan plasentasından da elde edilen enzim, inhibisyon çalışmalarında kullanılmıştır. Çeşitli dokulardan elde edilen enzimin inhibisyonunda dokunun cinsi ve türüne bağlı olarak farklılıklar görülmektedir (63). İnsan plasental aldoz

redüktaz enziminin genellikle inhibisyon'a daha az duyarlı olduğu saptanmıştır (63). Ayrıca çok saflaştırılmış ve uzun süre bekletilmiş enzimin de inhibisyon çalışmalarına duyarlılığı azalmaktadır (62).

Aldoz redüktaz enzimi ile yapılan kinetik çalışmalar göstermiştir ki, enzim, çeşitli substratlardaki aldehit grubunu redüklemeye spesifite göstermektedir. Bunlar içinde bazı steroidler, aromatik aldehitler, alifatik aldehitler ve aldoz şekerler yer almaktadır (59). Bu aktivite, sülfat iyonlarının varlığı ile artmaktadır (59). Kinetik çalışmalar sonunda elde edilen bulgulara göre, aldoz redüktaz inhibitörleri, substrat ile ya da kofaktör olan NADPH ile kompetitif değildirler (158).

Kinetik ve inhibisyon çalışmaları sonunda enzim üzerinde üç önemli bölge saptanmıştır (65).

- 1) Substrat Yoresi
- 2) Nükleotid Sarmal
- 3) inhibitör bölgesi

Protein modifikasyon çalışmaları, nükleotid sarmalda arjinin amino asit kalıntısının ve inhibitör bölgesinde ise, tirosin kalıntısının inhibitör madde ile birleşmede önemli rol oynadığını göstermiştir (65).

3.2.3 Aldoz Redüktaz Enzimini İnhibe Eden Bileşikler

Aldoz redüktaz inhibitörleri ile ilgili çalışmalar, 1965 yılında HAYMAN ve KINOSHITA'nın deney hayvanlarının lenslerini kullanarak enzimi elde etmeleriyle başlamıştır. Tarihsel olarak aldoz redüktaz enzim inhibitörlerinin gelişmesi bu inhibitörlerin katarakt oluşumuna karşı araştırılmasıyla başlamıştır denilebilir. İlk kullanılan inhibitör bileşik, tetrametilenglutarik asittir. Enzim inhibisyon çalışmalarında kullanılan uygun hayvan modelleri arasında özellikle sığır, sincan, insan lensleri ve plasentaları için enzim eldesinde kullanılmaktadır (58). Ayrıca çeşitli hayvan modelleri aldoz redüktaz inhibitörleriyle çalışmak için uygundur (13, 58, 64).

Diabetik kişilerde görülen ciddi komplikasyonların önlenememesi bir çok araştırcıyı aldoz redüktaz inhibitörü bileşikle çalışmaya yöneltmiştir.

3.2.3.1 Asit Grubu Taşıyan Türevler

HAYMAN ve KINOSHITA'nın (40) enzimi elde etmelerinden sonra, alifatik ve keto asitlerin çeşitli türevlerinin in vitro çalışmalarında aldoz redüktaz enzimini inhibe ettiğini bulmalarıyla 1966 yılında bir çok asit denenmiştir. Bu bileşikler içinde oktanoik asit 1×10^{-4} M ile % 59 inhibisyon yaparak en potent seçilmiştir. Ancak sitotoksik bir bileşiktir.

Alifatik karboksilik asitler, dana lenslerinden elde edilen enzime karşı denendiğinde Tablo 3.1. deki sonuçlar alınmıştır.

Tablo 3.1. Alifatik Karboksilik Asitlerin Aldoz Redüktaz inhibitör Aktivitesi

R	Asit	R-COOH	% inhibisyon 1×10^{-4} M
C1	asetik		0
C2	propiyonik		0
C3	butirik		1
C4	valerik		11
C5	kaproik		27
C6	enantik		35
C7	kaprilik		48
C8	pelargonik		56
C9	kaprik		47
C10	undekanoik		56
C11	laurik		56
C12	tridekanoik		52
C13	miristik		44
C15	palmitik		31
C16	margarik		28
C17	stearik		7
C18	nonadekanoik		0
C19	ekosanoik		0
C20	henikosanoik		4
C23	lignoserik		0

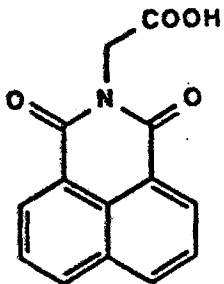
Bu bileşiklerde zincir uzunluğu ile aktivite arasında bir korrelasyon gözlenmiştir. Maksimum etki 8 ila 12 karbonlu türevler arasındadır. Dikarboksilik asitlerle yapılan çalışmada ise, aynı korelasyona rastlanmış ve maksimum etki 7

ila 12 karbonlu bileşikler arasında gözlenmiştir. Tablo 3.2. de bu bileşikler yer almaktadır.

Table 3.2. Dikarboksilik Asitlerin Aldoz Redüktaz inhibitör Aktivitesi

X	Asit	$\frac{\% \text{ inhibisyon}}{1 \times 10^{-4} \text{ M}}$
-	oksalik	0
C1	malonik	0
C2	süksinik	0
C3	glutarik	2
C4	adipik	2
C5	pimelik	7
C6	suberik	34
C7	azelaik	40
C8	sebasik	56
C9	undekanoik	48
C10	dodekanoik	55
C11	tridekanoik	63
C12	tetradekanoik	63

Maksimum etki görülen karbon sayısı göz önüne alınarak, bu karbon sayısındaki halkalı dikarboksilli türevler ile çalışma yapılmıştır. Bu bileşikler Tablo 3.3. de görülmektedir. Bu grupta 1.0×10^{-6} M konsantasyonla % 30 inhibisyon gösteren tetrametilglutarik asit (TMG) en potent bileşik olmuştur. Bu bileşik oral kullanımında inaktiv olmasına rağmen (48) in vitro çalışmalarında etki göstermiştir (75). Klinikte kullanılmış ilk aldoz redüktaz inhibitörü şekil 3.1 de formülü görülmekte olan alrestatindir.

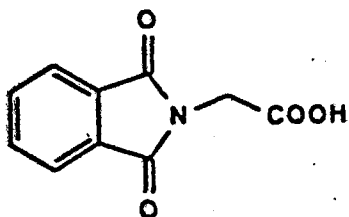


Şekil 3.1. Alrestatin

Tablo 3.3. Glutarik Asit Türevlerinin Aldoz Redüktaz İnhibitor Aktiviteleri

No	Bileşik	1×10^{-4}	% inhibisyon (M) 1×10^{-5}	1×10^{-6}
1 (TMG)		90	60	30
2		65	30	-
3		55	33	-
4		51	-	-
5		11	-	-
6		55	28	-

Karboksil grubu taşıyan yüzlerce türevle çalışma yapılmıştır. Bunlar içinde fitaloglisin $IC_{50} 2.5 \times 10^{-6}$ M ile in vitro olarak potent bulunmuştur (156). Fakat oral kullanımda inaktiftir (Şekil 3.2).

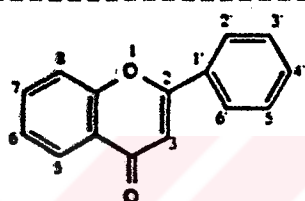


Şekil 3.2. Ftaglisin

3.2.3.2 Flavonoidler

Aldoz redüktaz inhibitörü olarak 1975 yılında rapor edilen ilk gruptur (159). Sıçan lenslerinden elde edilen enzime karşı flavonoidlerle yapılan çalışmada Tablo 3.4 de görülen değerler elde edilmiştir.

Tablo 3.4. Flavonoidlerin Aldoz Redüktaz inhibitörleri



No	Sübsitüsyon	IC_{50} (M)	Ref
1	$3',4',5,7-(OH)_4-3',6-(OMe)_2$	2.6×10^{-8} 3×10^{-8}	95 96
2	$3',4',6-(OH)_3-5,7,8-(OMe)_3$	3.6×10^{-8} 3.4×10^{-8}	95 96
3	$3',4',3,5,7-(OH)_5-3\text{-ramnosid}$	4.9×10^{-7} 1×10^{-7} $1 \times 10^{-6}\text{a}$	95 158 15
4	$3',4',3,5,7-(OH)_5-3\text{-ramnoz-2''-OAc}$	4×10^{-8}	158
5	$5-OH-3',4',3,7-(OSO_3H)_4$	$\sim 10^{-8}\text{b}$	157
6	$5-OH-3-OAc-3',4',7-(OSO_3H)_3$	$\sim 10^{-9}\text{b}$ $1 \times 10^{-7}\text{a}$	157 15
7	$3',4'-(OH)_2-5,6,7-(OMe)_3$	9×10^{-8}	96
8	$3',4',5,6,7-(OH)_5-3-(OMe)$	5.8×10^{-8}	96
9	$3',4',5-(OH)_3-7,8-(OMe)_2$	7.8×10^{-8}	96
10	$3',4',7-(OH)_3-5,8-(OMe)_2$	7.4×10^{-8}	96
11	$3',4'-(OH)_2-5,7,8-(OMe)_3$	4.5×10^{-8}	96
12	$3',4',5,7-(OH)_4-6-(OMe)-8-CH_2Ph$	3.4×10^{-8}	96
13	$3',4',5-(OH)_3-6,7,8-(OMe)_3$	3.9×10^{-8}	96
14	$3',4'-(OH)_2-5,6,7,8-(OMe)_4$	3.2×10^{-8}	96

a : insan lenslerinden elde edilen aldoz redüktaz enzimi

b : Diğer kaynaklardan elde edilen aldoz redüktaz enzimi (157).

Bu grupta en potent bileşik diğerlerinden farklı olarak *in vivo* etki gösterebilen kuersitrindir (157, 15). Tablo da 3. sırada yer alan kuersitrinin 3-L-ramnosid türevi 1.0×10^{-7} M IC_{50} değeri ile aldoz redüktaz enzimini % 55 inhibe edebilmiştir. Ayrıca yüksek galaktoz diyetine maruz kalmış sıçan lenslerinde ksilitol birikimini % 80 azaltabilmiştir (159).

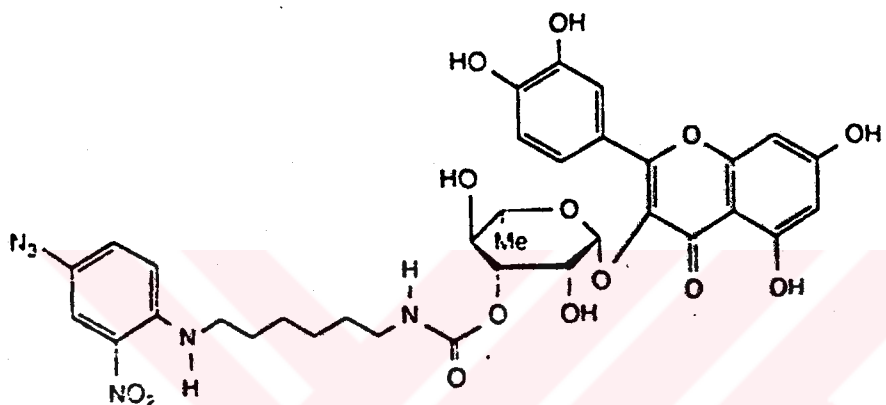
Kuersitrinin diyetle oral kullanımı sonucu, lenslerde sorbitol birikimi % 50 azaltılarak katarakt oluşumu geciktirilebilmiştir (160). Kuersitrinde *in vivo* ve *in vitro* etki gözlenmesi için, günde 3.2-3.5 g/kg gibi yüksek bir dozda kullanılması gerekmektedir.

Tablo da 4. sırada yer alan kuersitrin-2'-asetat türevi ile yapılan çalışmada, sıçan lensinde 1.0×10^{-5} M ile poliol birikimini % 58 azalttığı tespit edilmiştir (158). Bir çok flavonoidden farklı olarak suda çözünme özelliği vardır. Bu nedenle diabetik kataraktta topik uygulanma olağanıdır.

Bu bulgulardan sonra 60 kadar flavonoidin yapı aktivite-iliskilerine yönelik çalışmalar yapılmıştır (95, 96). *Kannabis sativa L* den izole edilen 3 flavon glikozitinde orta derecede inhibitör aktivite gözlenmiştir (129). KADOR ve SHARPLESS adlı araştırmacılar, 12 flavonoidde daha aktivite saptamışlardır (66). Bunlardan 3 tanesi *Brikella arguta* adlı bitkiden izole edilmiştir (113). Ayrıca bir çok seriden 73

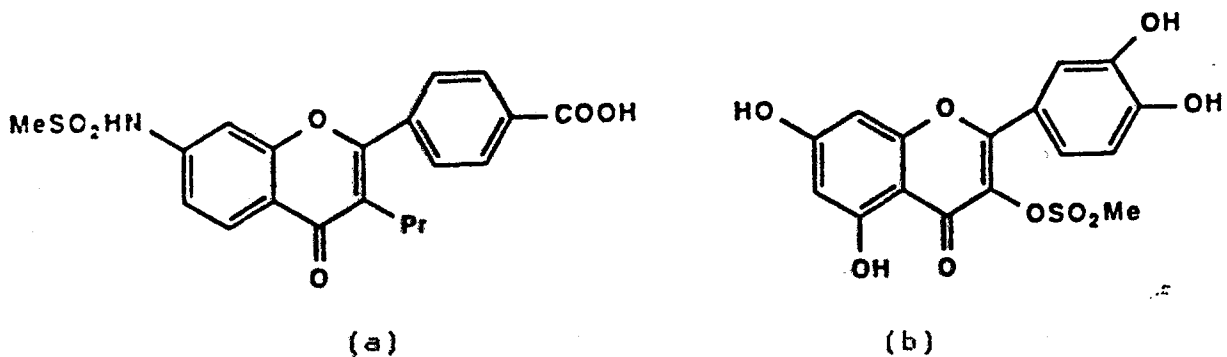
flavonoidle de çalışma yapılmıştır (137).

Kuersitrin türevi olan NAP-HEX-Q adlı bileşik (17, 45), radyoaktif özellikte olan 2-nitro-4-azido fenil grubu taşımaktadır (Şekil 3.3.). Bu bileşiğin hayvanlarda incelenmesi sonucu ilaç-enzim kovalent bağının ve aldoz redüktaz enziminin irreversibl inaktivasyonu açıklanmıştır (7).



Şekil 3.3. NAP-HEX-Q

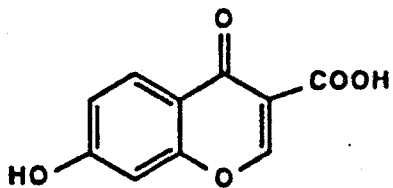
Sentetik flavon serisinden olan 7-metilsülfonamido-3-propilflavon-4-karboksilik asit (22) aldoz redüktaz enzime IC_{50} 1.3×10^{-7} değeri göstermiştir. Diabetik şartlarda, 100 mg/kg dozda siyatik sinirlerdeki sorbitol birikimini % 57, inositol düzeyini % 28 azaltabilmiştir. Kuersitrinin 3-metansülfonil türevi aldoz redüktazı IC_{50} 1.6×10^{-7} M ile inhibe edebilmiştir (22). Siyatik sinirlerdeki sorbitol birikimini, 100 mg/kg dozda % 41.2 azaltmıştır (23). Şekil 3.4. de bu bileşikler yer almaktadır.



Şekil 3.4. 7-metilsülfonamido-3-propilflavon-4-karboksilik asit (a).
kuersitrinin 3-metansülfonil türevi (b)

3.2.3.3 Benzopiranlar, Anti-allerji Ajanları ve Benzofenonlar

KADOR ve SHARPLESS, 4H-kromen-4-on (4H-1-benzopiran-4-on) sistemi içeren bir seri flavonoidle çalışmışlardır (66). Bu çalışmalarında zayıf aktivite gözlenmiştir. Sadece Şekil 3.5. da yer alan bileşikte 1.0×10^{-6} M konsantrasyonda enzime % 33 inhibisyon gözlenmiştir. Bu bileşikte karboksil grubu yerine tetrazol halkası getirildiğinde aktivitede artış gözlenmiştir. 4H-kromen-4-on yapısı içeren flavonoidler ve 4-oksido-4H-kromen-2-karboksilik asit derivelerinde bu maddelerin en düşük işgal-edilmemiş molekül orbital enerjileri ile (LUMO), aldoz redüktaz inhibisyonu arasında korelasyon gözlenmiştir. Bu gözlem karbonil grubunun reseptöre nükleofilik atağı sırasında oluşan yük transferine dayanır.

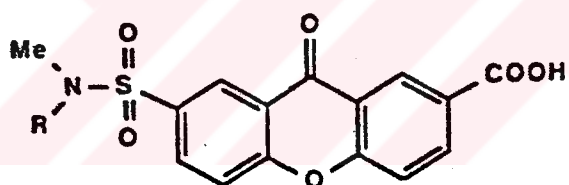


Şekil 3.5. 4H-1-Benzopyran-4-on türevi

Benzer şekilde bir reseptör etkileşmesi (16) oksanilik asit, 1,4-dihidro-4-oksokinaldik asit ve 4-okso-4H-1-benzopyran-2-karboksilik asit gibi grupları taşıyan türevlerdede gözlenmiştir. Anti-allerji ajansı olarak kullanılan 60 kadar madde üzerinde çalışmalar yapılmıştır (67, 63). Bunlar içine Şekil 3.7. görülen, başta kromoglikat ve analogları (a) olmak üzere 4-okso-4H-kinolin-2-karboksilik asitler (b), oksanilik asitler ($X=N, CH$) (c), 3,4-dihidro-4-oksotiyeno[2,3-d] pirimidin karboksilik asit ve analogları ($X=O, NH$) (d), 4-hidroksikumarinler (e), ksanton-2-karboksilik asitler (f), 11-okso-11H-pirido[2,1-b]kinazolin-2-karboksilik asitler ve analogları (g), 1,6-dihidro-6-okso-2-fenilpirimidin-5-karboksilik asitler (h) ve IC_{50} değeri $1.0 \times 10^{-7} M$ ile sıçandan elde edilen enzime en etkin inhibisyon gösteren oksanilik asit esterleri (i) sayılabilir. En etkin türeve ait *in vivo* bir çalışma yapılmamıştır.

Anti-allerji ajansı olan 29 kadar sübstitüe ksanton-2-karboksilik türevi aldoz redüktaza karşı denenmiştir (103). Ksanton karboksilik asitin dimetil sülfamoil türevi (Şekil 3.6) suda çözünmeyen bir bileşiktir. $1.0 \times 10^{-6} M$ ile aldoz

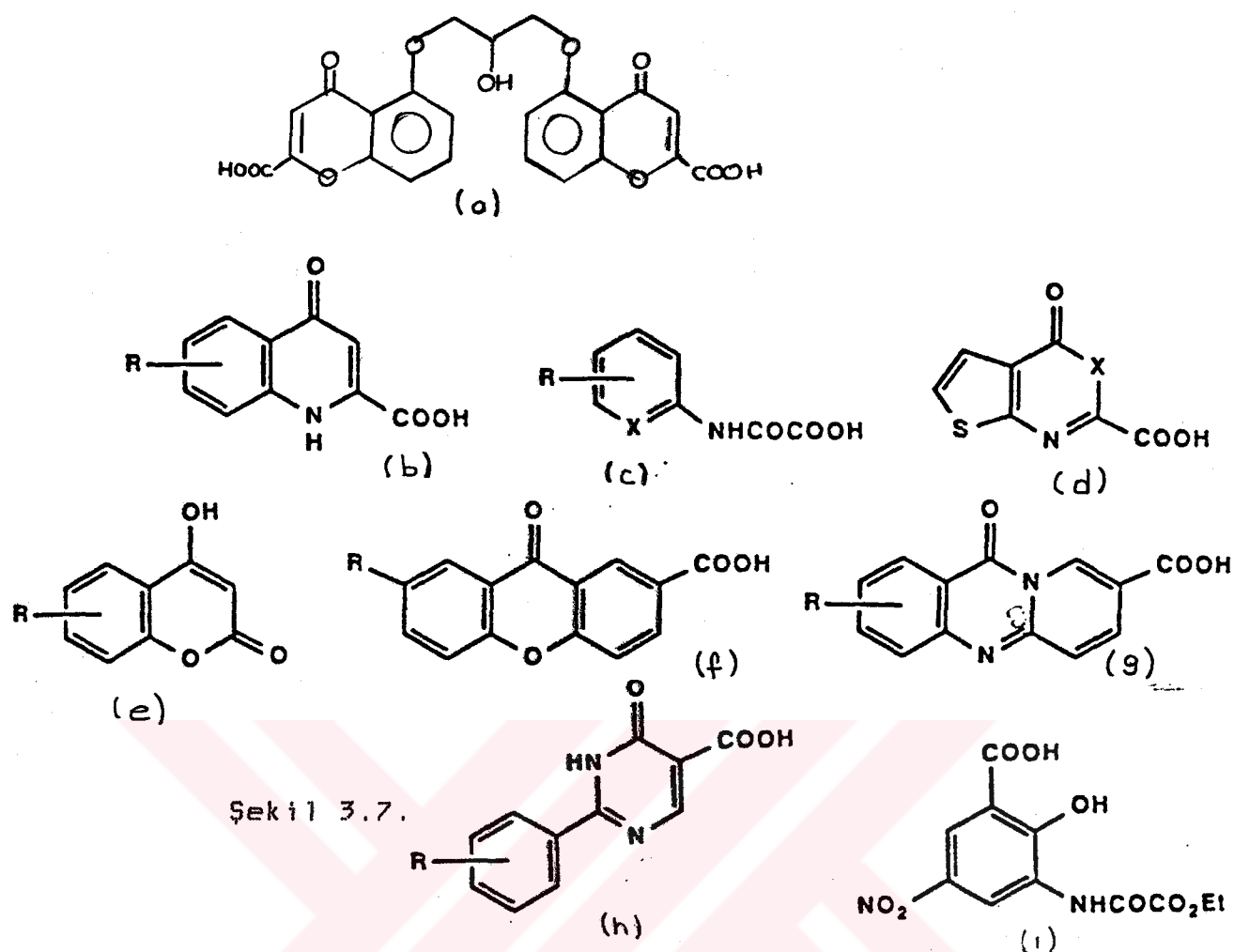
redüktazi % 67 oranında inhibe edebilir. Farelerde katarakt oluşumunu hem topik hemde oral kullanımda geciktirebilmiştir. N-metil grubu hidroksietil grubu ile yer değiştirdiğinde bileşik suda çözünürlük kazanır ve 1.0×10^{-6} M ile enzimi % 83 oranında inhibe edebilir. Araştıracılar flavonoidlerin sarı renkte olmalarından dolayı göze topik uygulamalarda dezavantajlı olduğunu, renksiz olan ksanton karboksilik asitlerin ise topik uygulamalara uygun olduğunu düşünmektedirler.



Şekil 3.6. Ksanton karboksilik asit türleri

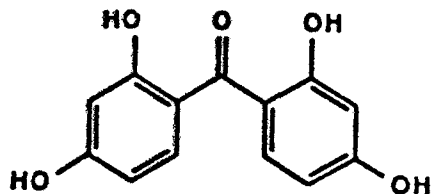
$\text{R} : \text{Me}$

$\text{R} : \text{CH}_2\text{CH}_2\text{OH}$



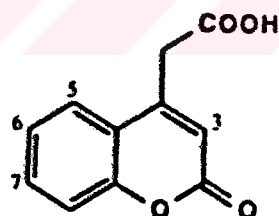
Şekil 3.7.

Flavonoidler gibi polihidroksilikatlı ve ksantolilere benzer özellikleri olan benzofenonlar ile çalışmalar yapılmıştır. Bu bileşiklerden biri olan EISAI 70-A-196 kod numarası verilmiş olan (99) 2,2',4,4'tetrahidroksi benzofenondur (Şekil 3.8.). Sığan lenslerinden elde edilen enzimi IC_{50} 1.0×10^{-7} M ile inhibe edebilir. Oral olarak da kullanılabilir (99).



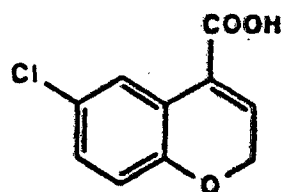
Şekil 3.8. EISAI 70-A-196

Başka bir çalışma şekil 3.9. da görülen kumarin-4-asetik asit türevi içeren 2 grupla yapılmıştır. Kumarin-4-asetikasitin 3,6,7-trimetil türevi inek lens aldoz redüktazını 1.0×10^{-4} M ile % 81 oranında inhibe edebilmiştir. Günde 3 defa 25 mg/kg dozda verildiğinde siatik sinirlerdeki sorbitol birikimini % 21 oranında inhibe edebilmiştir (118). Yine kumarin-4-asetik asitin 5,6-siklohekzano türevi $IC_{50} 2 \times 10^{-8}$ M ile aldoz redüktazı inhibe edebilmiştir. Bu konuda in vivo bir çalışma yapılmamıştır (12).



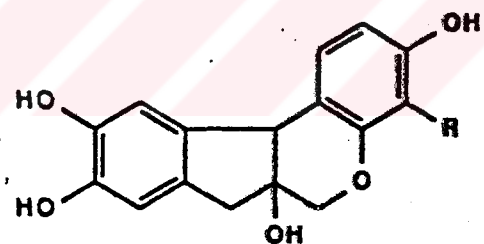
Şekil 3.9.

Benzopiran ve benzotiyopiran karboksilik asit yapıları (şekil 3.10) ile yapılan çalışmada, bileşik enzime 1.0×10^{-4} M ile % 80 inhibisyon yapmıştır (6).



Şekil 3.10. Benzopiran türevi

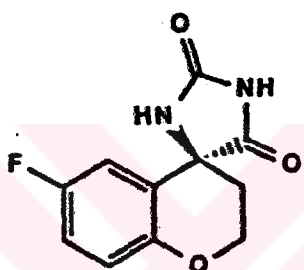
Kore'de diabetik komplikasyonlarda halk ilaçı olarak kullanılan bitkilerden elde edilen 2 madde ile çalışma yapılmıştır. Bunlar şekil 3.11 de görülen brazilin ve hematoksilindir. Her ikisinde de umulanın aksine zayıf aktivite görülmüştür. Dana lens aldoz redüktazını 1.0×10^{-4} M ile brazilin % 48, hematoksilin % 57 inhibisyon görülmüştür (89).



Şekil 3.11. R : H Brazilin
R : OH Hemateksilin

3.2.3.4 Spirohidantoin ve Türevleri

İlk olarak 1978 yılında şekil 3.12 de görülen sorbinil bulunmuştur (124). Aldoz redüktaz inhibitörü olarak spirohidantoin grubunun bilinen en iyi üyesidir (78, 119). Bileşigin yapısındaki piran halkası nedeniyle psödo sandalye konumunda bulunduğu tespit edilmiştir. NMR çalışmalarında solusyonunda her iki konformasyonunda varlığını göstermiştir (119).

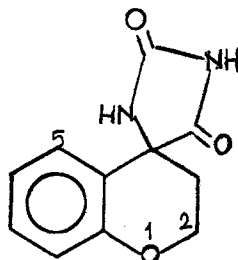


Şekil 3.12 Sorbinil

Tablo 3.5. de sorbinilin enantiyomerlerinin ve rasemik formunun, manda lensinden elde edilen aldoz redüktaz karşısındaki *in vitro* çalışmaları yer almaktadır.

Sorbinilin (-) formu 1.0×10^{-6} M ile % 23 gibi aktivite gösterirken, (+) Sorbinil % 98 inhibisyon yapmıştır. Rasemik 6,7-kloro, 6,8-dikloro ve 6-kloro analogları *in vitro* olarak rasemik sorbinilden daha potent çıkmıştır. Bu çalışmaların yanısıra sorbinilin geliştirilmesi ve yapı-aktivite ilişkileri araştırılarak açıklanmıştır (120).

Tablo 3.5. 2,3-dihidro[4H]-1-benzopiran-4,4'-imidazolidin
2',5'-dionların in Vitro inhibitör Aktivitesi



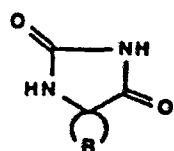
No	Ref	Sübstiyson	Aldoz redüktazın % inhibisyonu			
			10^{-4}	10^{-5}	10^{-6}	10^{-7}
1(±)	124	6-F	85	85	52	3
2(+)	124	6-F	100	100	98	39
3(-)	124	6-F	88	63	23	-
4	115	6-OMe	100	92	35	7
5	115	6,7-C1 ₂	59	96	91	84
6	115	6,8-C1 ₂	85	90	78	81
7	115	6-C1	73	81	77	64
8	115	8-C1	87	85	52	6
9	115	6-Br	74	-	-	-
10	115	6,8-Me ₂	71	84	54	17
11	114	6-Ph	$IC_{50} < 1 \times 10^{-4}$	M		
12	114	8-Ph	$IC_{50} = 1 \times 10^{-6}$	M		
13	114	6-OPh	$IC_{50} = 1 \times 10^{-5}$	M		
14	114	6-Ph-8-C1	$IC_{50} = 1 \times 10^{-5}$	M		
15	121	6-C1-8-NH ₂		58		
16	121	6-F-8-NH ₂		40		
17	91	2-Me-6-F	$IC_{50} = 6.5 \times 10^{-8}$	M		
18	91	2-Me-6-F-8-NO ₂	$IC_{50} = 5.0 \times 10^{-8}$	M		
19	91	2-Me-6-F-8-NH ₂	$IC_{50} = 1.7 \times 10^{-8}$	M		
20	91	2-Me-6-C1	$IC_{50} = 4.7 \times 10^{-8}$	M		
21	91	2-Me-6-C1-8-NH ₂	$IC_{50} = 8.3 \times 10^{-8}$	M		
22	91	2-Me-6-F-		0		
		$1'-(CH_2)_2NMe_2$				
23	164	6-SMe	$IC_{50} = 6.6 \times 10^{-7}$	M		
24	164	6-SOMe	$IC_{50} = 1.2 \times 10^{-5}$	M		

Sorbinilin 2'-metil analogu EISAI M-79-175 kodlu metsorbinildir. Tavşan lens aldoz redüktazına karşı IC_{50} değeri 6.5×10^{-8} M dir. Stereokimyası tam olarak

aydınlatılamamıştır (91). Aynı şartlar altında sorbinil 1.1×10^{-7} M IC₅₀ değeri göstermiştir. Metsorbinil 0.1-1 mg/kg dozda oral tatbik edildiğinde sorbitol düzeyinde azalma gerçekleşmiştir (98).

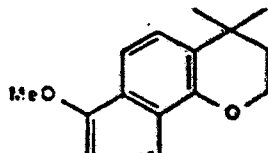
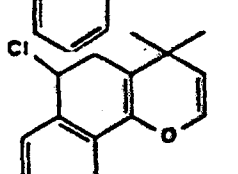
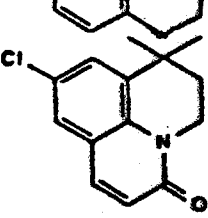
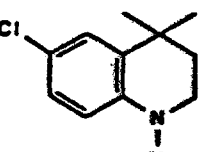
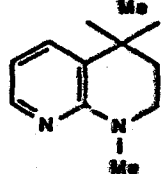
Tablo 3.6. da spiro imidazolidin 2'-5'dion türevlerinin in vivo ve in vitro enzim inhibitör aktiviteleri görülmektedir. IC₅₀ değerleri 1×10^{-7} M dan az olan tiyokroman, spiroindolinon ve flurenon (Tabloda 3, 25, 26 no'lu bileşikler) adlı bileşikler dikkat çekmiştir. AL-1567 (alkonil) adlı bileşığın 12 analogunun aldoz redüktaz aktivitesi denenmiştir (163). Geniş ölçüde in vivo çalışmalar yapılmıştır. Oral kullanımda siyatik sinirlerde sorbitol biriminin azlığı, kataraktin önlenmesi tespit edilmiştir (38, 39).

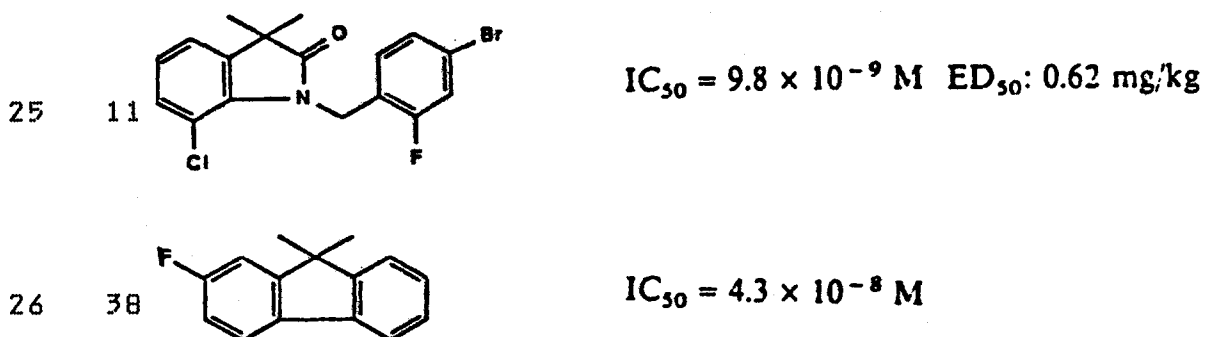
Tablo 3.6. Çeşitli Spiro-imidazolidin-2',5'-dionların in Vivo ve in Vitro Aldoz Redüktaz Inhibitör Aktiviteleri



No	Ref	R	Aldoz redüktaz % inhibisyonu (in vitro)	Sorbitol akümilasyonunun % inhibisyonu (in vivo)
1	115		34% (1×10^{-5} M)	3% (5 mg/kg)

2	115		81% (1×10^{-5} M)	33% (5 mg/kg)
3	124		74% (1×10^{-7} M)	55% (0.75 mg/kg)
4	115		54% (1×10^{-5} M)	5% (5 mg/kg)
5	115		64% (1×10^{-5} M)	5% (5 mg/kg)
6	122		67% (1×10^{-5} M)	-
7	122		55% (1×10^{-5} M)	20% (2.5 mg/kg)
8	122		52% (1×10^{-4} M)	56% (25 mg/kg)
9	71		50% (1×10^{-4} M)	46% (25 mg/kg)
10	125		75% (1×10^{-4} M)	27% (1.5 mg/kg)
11	117		94% (1×10^{-4} M)	92% (10 mg/kg)
12	117		59% (1×10^{-4} M)	-
13	117		78% (1×10^{-4} M)	inactive at 1.5 mg/kg

			94% (1×10^{-4} M)	
14	117		26% (1×10^{-4} M)	-
15	117			
16	117		100% (1×10^{-4} M)	32% (1.5 mg/kg)
17	117		78% (1×10^{-4} M)	-
18	117		86% (1×10^{-4} M)	
19	117		71% (1×10^{-4} M)	28% (5 mg/kg)
20	117		72% (1×10^{-4} M)	30% (1.5 mg/kg)
21	117		60% (1×10^{-4} M)	-
22	127		94% (1×10^{-6} M)	32% (1.5 mg/kg)
23	123		$IC_{50} = 1 \times 10^{-6}$ M	80% (10 mg/kg)
24	123		$IC_{50} = 1 \times 10^{-5}$ M	-



Tablo 3.7. de spirohidantoin benzeri çeşitli heterosiklik formların enzim inhibitörleri görülmektedir. No:1 de yer alan spirooksazolidindion (128) yapısının IC_{50} değeri $1 \times 10^{-7} M$ iken, no:2 de yer alan spirotiyazolidindion $IC_{50} 3 \times 10^{-9} M$ ile daha potent bir bileşik olduğunu göstermiştir (42). Spirosüksinimidler için (no:3) *in vivo* aktivite saptanmıştır (5). Tiyazolidin 2-4 dion yapısında spiro, difenilmetan grubu ile sübstitüe edilerek çalışmalar yapılmıştır (142). Bu grubun en potent örneği no:5 de yer alan yapıdır. Plazental aldoz redüktazi $1 \times 10^{-7} M$ ile % 40 inhibe edebilmiştir. No:6 daki yapı O'BRIEN ve SCHEFIELD tarafından (101) geliştirilmiştir. İnsan beyninden elde edilen aldoz redüktazi $5 \times 10^{-4} M$ IC_{50} değeri göstererek % 71 oranında inhibe edebilmiştir. Aynı araştırmacılar çalışmalarında no:7 de yer alan etosüksinimidleride kullanmışlardır (101), ancak düşük inhibitör aktivite bulmuşlardır.

Tablo 3.7. Spirohidantoinden Farklı, Asidik Heterosiklik Halka içeren Aldoz Redüktaz inhibitörleri

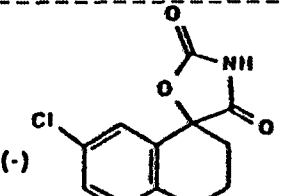
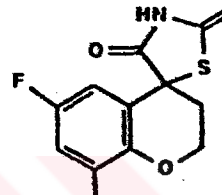
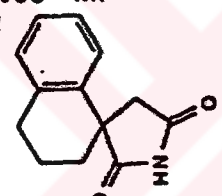
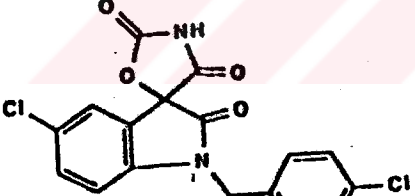
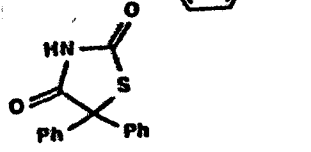
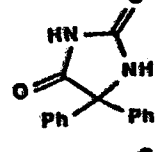
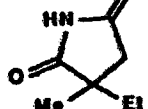
No	Ref	Bileşik	Aldoz redüktazın akümilasyonunun % inhibisyonu	Sorbitol % azalışı(<i>in vivo</i>)
1	128		IC50=1x10-7 M	E050=1.5-2.5mg/kg
2	42		IC50=8x10-9 M	-
3	5		-	% 46 (5 mg/kg)
4	47		% 60 (1x10-7 M)	-
5	142		% 40 (1x10-7 M)	-
6	101		% 71 (1x10-4 M)	-
7	101		% 15 (1x10-4 M)	-

Table 3.7. devam

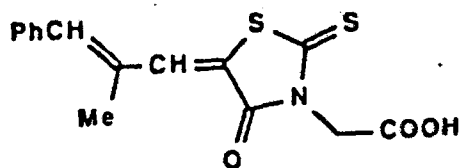
8	149		% 73 (1×10^{-3} M)	-
9	140		% 39 (1×10^{-4} M)	-
10	108		% 80 (5×10^{-5} M)	-
11	49		$IC_{50} = 3.7 \times 10^{-7}$ M	-
12	70		% 34 (1×10^{-6} M)	% 83 (25mg/kg)
13	142		% 35 (1×10^{-6} M)	-
14	50		$IC_{50} = 4 \times 10^{-7}$ M	-

Hipnotik barbitüratlarla yapılan çalışmalarda tavşan lenslerinden elde edilen aldoz redüktaz kullanılmıştır (101, 149). Barbitüratların çok zayıf aldoz redüktaz enzim inhibisyonu yaptığı saptanmıştır. Bu grubun en potent bileşiği olan fenobarbital (no:8) 1×10^{-3} M konsantrasyon ile % 73 inhibisyon yapabilmistiir (140, 14). İzoksazolidindionların en potent bileşiği 10. sıradaki yapıdır (108). Fenilsülfonil hidantoin (no:11), bu serideki 54 bileşikle yapılan çalışmada en iyi etkiyi göstermiştir (49). Oral olarak galaktosemik ratlarda 50 mg/kg dozda galaktitol akümlasyonunu azaltmıştır. Aynı dozda katarakt oluşumunu da geriletmistiir (97). Fenil sübstitüe tiyazolidindion serisinde yapılan çalışmalarla (no:12) 25 mg/kg dozda % 83 oranında siyatik sinirlerde sorbitol birikimini inhibe etmiştir (70). No:13 de yer alan 3-etoksi-4-pentiloksitiyazolidindion (CT 112) ile ilgili çalışmalar sonunda bileşigin 1×10^{-6} M ile % 35 oranında insan plasentasındaki aldoz redüktazi inhibe edebildiği saptanmıştır (142).

3.2.3.5 Heterosiklik Alkonik Bileşikler

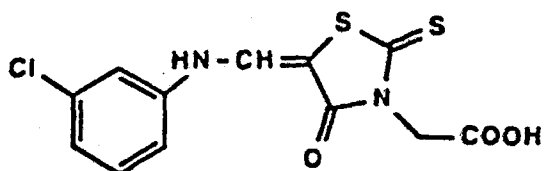
Aldoz redüktaz inhibitör aktiviteleri açısından bir çok heterosiklik alkonik bileşikle çalışılmıştır. Rodanın grubu bileşikler bu gruba ilk örnektir (145, 144). Klinikte

ilk olarak epalrestat (Şekil 3.13) adlı bileşik denenmiştir. Bu bileşik 1×10^{-8} M IC₅₀ değeri ile ile rat lens aldoz redüktazına, 2.6×10^{-8} M ile insan plasental aldoz redüktazına etki edebilir (150).



Şekil 3.13 Epalrestat

Diğer rodanın serilerinden en potent olanı epalrestatin aminometilen türevidir (Şekil 3.14.). Sıcandan elde edilen lens aldoz redüktazına IC₅₀ 2.3×10^{-8} M ile etki göstermiştir. Bu konuda *in vivo* çalışma yapılmamıştır (93).

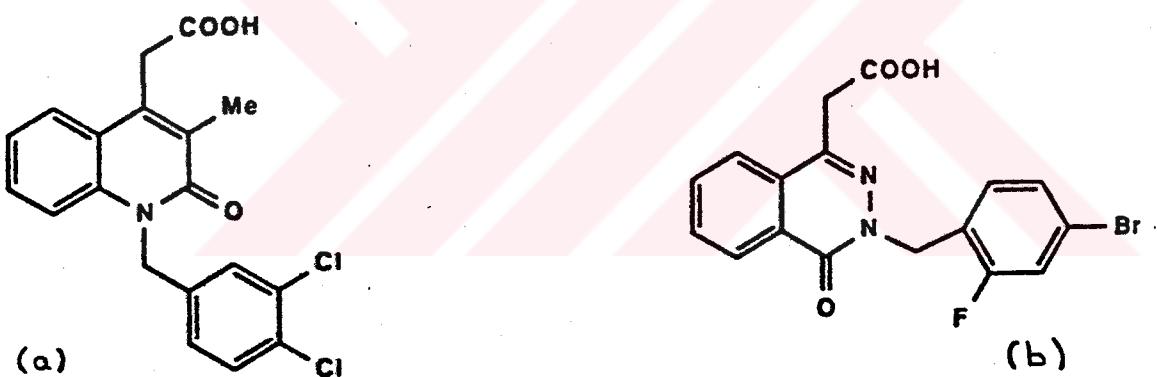


Şekil 3.14 Epalrestatin aminometilen türevi

Kinolin asetik asit (ICI-105,552), (106) ve fitalazino asetik asit (ICI-128,436,29), (143) ile (Şekil

3.15.) laboratuvar hayvanları kullanılarak çalışılmıştır. invitro çalışmalarında kinolin asetik asit, maymun epitelial hücre kültürlerinde sorbitol birikimini önlemiştir (8). in vivo çalışmalarında oral olarak günde 50 mg/kg kinolinasetik asite maruz kalan ratlarda siyatik sinirlerde sorbitol seviyesi % 86 azaltılmıştır (106).

Fitalazinoasetik asit (stalil), insan lens aldoz redüktazını $IC_{50} 2 \times 10^{-8}$ M konsantrasyonda inhibe etmiştir (34). Diabetik ratlarda 3 hafta günde 25 mg/kg dozda uygulandığında siyatik sinirlerde sorbitol seviyelerini azaltmıştır (153). Her iki bileşik içinde yapı aktivite ilişkilerini veren çalışmalar yapılmıştır (10).

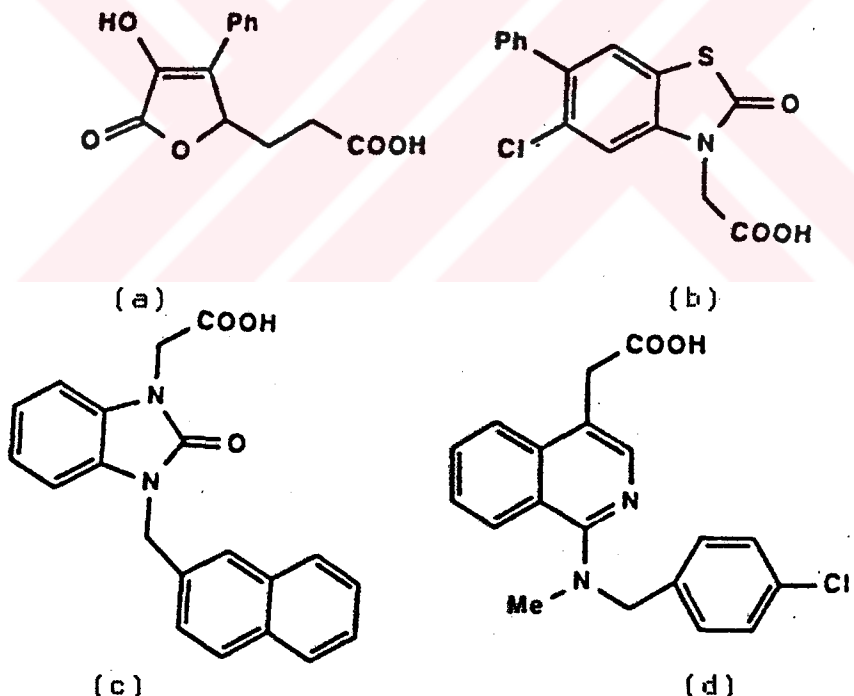


Şekil 3.15. (a) Kinolin asetik asit
(b) Fitalazino asetik asit

Chaetomella raphigera kültüründen izole edilen (Şekil 3.16) furanopropionik asit (FR-51785), tavşan lens aldoz redüktazını $IC_{50} 1.6 \times 10^{-7}$ M ile inhibe etmiştir (94). Bu

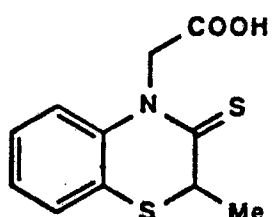
bileşigin sentetik analogları incelenmiştir. En potent türev 3,4-dikloro analogudur. IC_{50} değeri 3.1×10^{-7} M dir ve in vivo olarak aktiftir. Oral olarak 10 mg/kg dozda uygulandığında diabetik sincanlarda sorbitol akümlasyonunu % 41 inhibe etmiştir (51).

Benzotiyazolinil alkonik asit deriveleri tavşan lenslerine karşı denenmiştir. En potent üye Şekil 3.16 daki yapıdır. IC_{50} oranı 2.9×10^{-8} M dir (154). Benzimidazolin türevi 1×10^{-4} M konsantrasyonda % 92 oranında inhibisyon sağlamıştır (63). izokinolinasetik asit yapısı ise 1×10^{-5} M konsantrasyonda % 97 inhibisyon göstermiştir (126).



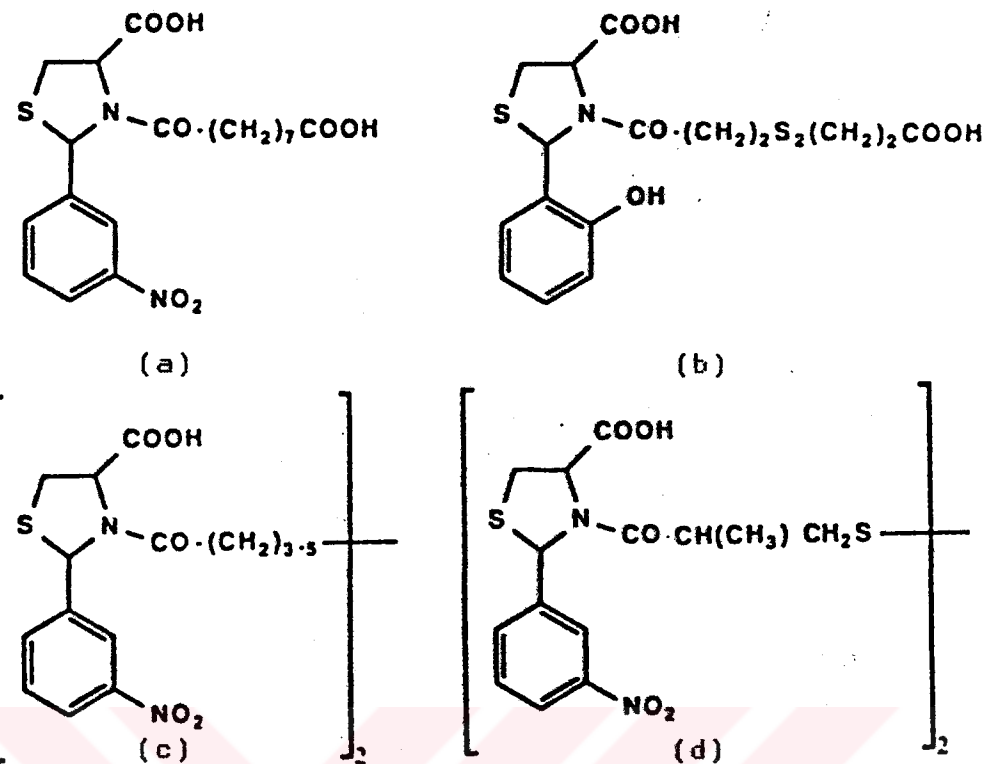
Şekil 3.16. (a) Furanopropionik asit
 (b) Benzotiyazonil
 (c) Benzimidazol türevi
 (d) izokinolin asetikasit

Tiyooksobenzotiyazin bileşığının 3-okso ve 3-tiyo türevleri, sıçan aldoz redüktazına karşı denenmiştir. Etki potensiyeli en yüksek bileşik Şekil 3.17. de görülmektedir, IC_{50} 4.2×10^{-8} M ile inhibisyon göstermiştir. Bu konuda *in vivo* bir çalışma yapılmamıştır (151).



Şekil 3.17.

Çeşitli çalışmalarında, N- açıltiyazolidin karboksilik asit türevlerinde aldoz redüktaz enzim inhibitör aktivitesi saptanmıştır (69, 100). Bu grupta 60 dan fazla analogla çalışılmıştır. En yüksek etki Şekil 3.18. (a) daki bileşikte görülmektedir (100). Bileşığın IC_{50} değeri 1.6×10^{-10} M dir. Ayrıca diğer yapısal varyasyonlardada yüksek inhibitör aktivite gözlenmiştir. Bunlar simetrik disülfit (b) (68), bileşığın sade formu (c) (69) ve simetrik olmayan disülfit (d) (68) yapılarıdır. Bu grup bileşiklere ait *in vivo* bir çalışma yapılmamıştır.



Şekil 3.18. (a) N-aciltiazolidin karboksilik asit
 (b) Simetrik disülfit türevi
 (c)
 (d) Bileşliğin dimer formları

3.2.3.6 Nonsteroidal Antienflamatuar Ajanlar

Bu bileşiklerden ilk olarak denenen maddeler şöyle sıralanabilir. Aspirin, salisilik asit, fenil butazon, indometazin, piroksikam, prodatik asit, etodolak, ibuprofen, flurbiprofen, suprofen, benoksoprofen, furobufen, naproksen, tolmetin, mefenemik asit, sülindak ve metabolitleri olan sülindak sülfit ile sülindak süfon.

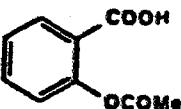
Tablo 3.8. de bu bileşiklere ait aldoz redüktaz enzim inhibisyon oranları görülmektedir. Bu grupta sulindak, IC₅₀ değeri 1×10^{-7} ile 4×10^{-7} M arasında değişen konsantrasyonları ile aldoz redüktaz enziminin membranına en potent bileşiktir. Sulindak sülfit yapısında in vitro çalışmalarla sulindak gibi aktivite gösterebilmiştir.

Sulindak günde 62 mg/kg dozda galaktosemik sıçanlarla çalışıldığından (27) lens ve siatik sinirlerde galaktitol seviyesini önleyici zayıf aktivite göstermiştir (28).

Diğer nonsteroidal anti-enflamatuar bileşiklerle yapılan çalışmalarla zayıf aktivite gözleendiği için, bu grup bileşiklerin aldoz redüktaz enzim inhibitörü olarak kullanılmış olmadığı düşünülmektedir.

Ayrıca aspirin ile yapılan bir çalışmada, aspirin, kullanan romatoid artridi olan diabet hastalarında katarakt insidansının azaldığı tespit edilmiştir. Ancak aspirinde aldoz redüktazı inhibe eden aktiviteye rastlanmamıştır (20).

Tablo 3.8. Nonsteroidal Anti-Enflamatuar ilaçların
Aldoz Redüktaz Enzim inhibisyonları

No	Ref	İsim	Yapı	Aldoz Redüktazın % inhibisyonu
1	45 15	Aspirin		%2 (1×10^{-4} M) %18 (1×10^{-5} M)

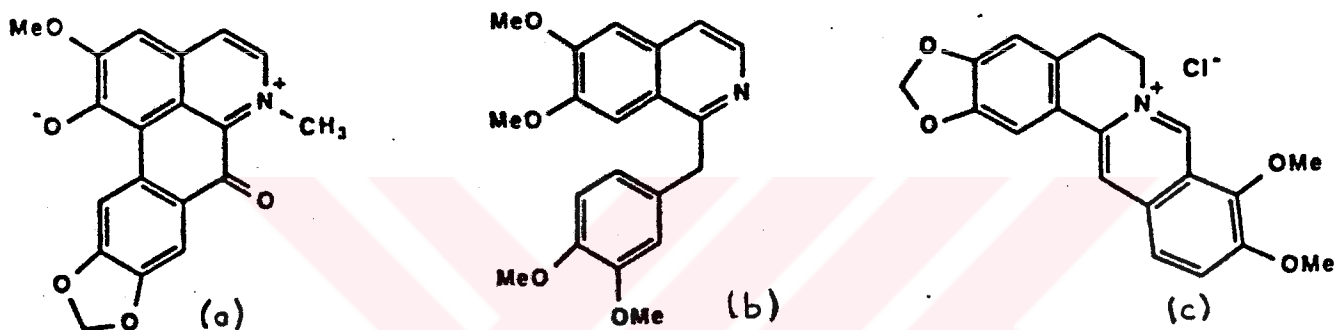
2	45	Salisilik asit		%16 (1×10^{-4} M)
3	45	Fenilbutazon		%14 (1×10^{-4} M)
4	45 39	İndometazin		%52 (1×10^{-5} M) IC50=5x10 ⁻⁴ M
5	45	Ibuprofen		%6 (1×10^{-5} M)
6	45	Naproksen		%0 (1×10^{-5} M)
7	45	Tolmetin		%44 (1×10^{-5} M)
8	45	Mefenemik asit		%1 (1×10^{-5} M)
9	45	Piroksikam		%0 (1×10^{-5} M)

			R	
10	15	Sulindak	SO ₂ Me	IC ₅₀ =4x10 ⁻⁷ M
	28	"	"	IC ₅₀ =1x10 ⁻⁷ M
11	28	Sulindak sülfit	SMe	%50 (1x10 ⁻⁶ M)
12	28	Sulindak sülfon	SO ₂ Me	%50 (1x10 ⁻⁷ M)
13	45	Flurbiprofen		%27 (1x10 ⁻⁵ M)
14	45	Suprofen		%8 (1x10 ⁻⁵ M)
15	45	Benoksaprofen		%32 (1x10 ⁻⁵ M)
16	45	Eurobufen		%46 (1x10 ⁻⁵ M)
17	45	Prodolik asit		%4 (1x10 ⁻⁵ M)
18	45	Etodolak		%3 (1x10 ⁻⁵ M)

3.2.3.7 Alkaloidler

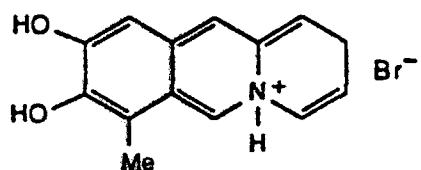
Tavşan lenslerinden elde edilen enzim ile alkaloidlerle çalışmalar yapılmıştır (91). Şekil 3.19 da görülen nandazurin ve aperfinin IC₅₀ değeri 2.0x10⁻⁴ M iken benzilizokinolin ve papaverininki 1.4x10⁻⁴ M, berberinin 5.2x10⁻⁵ M dir (91). Bu bileşikleri içeren in vivo bir çalışma

Kinetik çalışmalarında, papaverin ve berberinin DL-gliseraldehidi substrat olarak kullandığı tespit edilmiştir. Önemli bir bulguda berberin ve papaverinin aldoz redüktaz inhibisyonu yaparken kompetitif davranışmasıdır (91). Diğer kinetik çalışma yapılan aldoz redüktaz inhibitörleri ile non-kompetitif yada ankompetitif inhibisyon yapan bileşiklerin yapısında substrat yada diğer aldoz redüktaz inhibitörlerine benzerlik tespit edilememiştir.



Şekil 3.19 (a) Nandazurin (b) Aporfin
(c) Benzilizokinolin

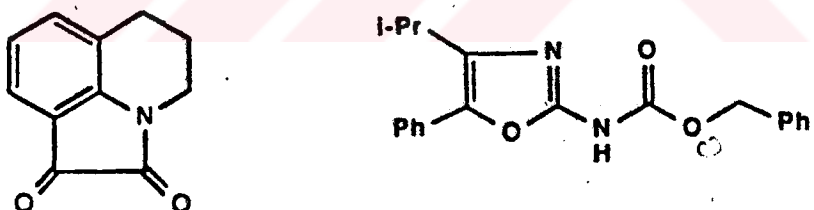
Yapısı tam olarak aydınlatılamamış olan GPA-1734 kod numaralı bileşik 8,9-dihidroksi-7-metilbenzo[b]kinozilinum bromür formülü ile gösterilmektedir (86). Şekil 3.20. deki bileşik olduğu sanılmaktadır. Aldoz redüktazı IC₅₀ değeri 1x10⁻⁵ ile 7x10⁻⁶ M arası konsantrasyonlarda inhibe edebilmiştir. Bu konuda *in vivo* bir çalışma yapılmamıştır.



Şekil 3.20. GPA-1734

3.2.3.8 Diğer Aldoz Redüktaz İnhibitörü Bileşikler

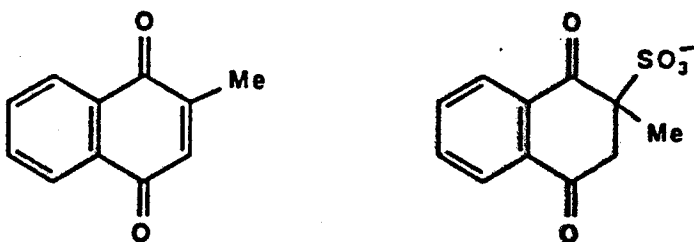
Bu grupta bir kaç özel madde yer almaktadır. Bunlardan ilki pirolokinolidin (AHR-5191) adlı bileşiktir. Günde 100 mg/kg dozda oral olarak 3 gün uygulandığında (56) sıçanlarda galaktitol seviyesini % 43 oranında, sığır lensindeki galaktitol seviyesini 8×10^{-5} M konsantrasyon ile düşürebilmisti. Oksazollerle yapılan çalışmada karbamat türevi, tavşan lenslerinden elde edilen enzime 1.5×10^{-5} M IC₅₀ değeri göstermiştir (148) (Şekil 3.21).



Şekil 3.21. AHR-5191 ve Oksazol türevi

Murphy ve Davidson adlı araştırmacılar menadion (25) ve menadion bisülfit (90) ile çalışmalar yapmışlardır (Şekil 3.22). Sığır lensleri kullanılan çalışmada menadion 1×10^{-5} M ile % 27, 1×10^{-6} M ile % 17 oranında inhibisyon yapmıştır (45). Piridin-3-karboksaldehydin substrat olarak kullanıldığı

çalışmada, aldoz redüktaz enziminin musküler distrofi patojenezisinde rolü olduğu saptanmıştır (30). Papaverin ve berberinin (91) kompetitif inhibitasyon gösterirken, menadion ve menadion bisülfit substrat ile yarışmalı olarak inhibitasyon yapar.



Şekil 3.22.

3.2.4 Aldoz Redüktaz Enziminin inhibitör Bölgesinin modeli

Araştırmacılar bir çok aldoz redüktaz inhibitörü ile inhibitasyon kinetiği üzerine çalışmışlardır. Etki yerine ulaşmada bazılarının ankompetitif bazılarının ise nonkompetitif davranışlığı gözlenmiştir. Örneğin; kuersitrin (158) ve aksillarin (95) flavonoidleri, sulindak (136) ve p-bromofenilsülfonil hidantoin (49) adlı bileşikler nonkompetitif özellik göstermişlerdir. Epalrestat (150), sorbinil (102, 60), TMG (53), 7-hidroksi-4-okso-4H-kromen-6-karboksilik asit (66), statil (34) adlı bileşikler ise karışık olarak hem ankompetitif hem de nonkompetitif inhibitasyon gözlenmiştir. Bu bileşikler dışında kalın yapılar enzimin etki

yöresi için kompetitif özellik göstermezler (65). Daha sonra yapılan çalışmalar da aldoz redüktaz inhibitörlerinin, nukleotid-kofaktör-bağlanma bölgesine yarışmalı inhibisyon yapmadığı saptanmıştır (60, 65).

KADOR ve SHARPLESS adlı araştıracılar (65) inhibitör bileşiklerin büyük enzim üstünde genel bir inhibitör yöreye bağlandığını önesürmüştür. Bu temelde inhibitör bileşiklerin LUMO'su, inhibitör potansiyeli ve yapılarındaki polarize karbonil grubu arasında pozitif bir korelasyona dayanmaktadır. Araştıracıların inhibitörlerin en uygun pozisyonları için önerdikleri modelde, inhibitörün bağlanma yerine yakın civarda tirozin kalıntısı söz konusudur. Tirozinin hidroksil grubu, inhibitör bileşiklerin polarizable karbonil grubu ile reversibl etkileşen nukleofil kabul edilmektedir.

Bu araştıracılar aldoz redüktaz inhibisyonu için gerekli minimal yapısal çehreyi tanımladıklarına ve yaklaşımlarının, daha potent ve aldoz redüktaza spesifik inhibitörlerin rasyonel tasarımlına katkıda bulunacağına inanmaktadır. Halen klinik çalışmaları devam eden (Tablo 3.9.) 6 tane aldoz redüktaz inhibitörü bileşikten yalnızca spirohidantoin tipinin model geliştirilmekte dikkate alındığı belirtilmektedir.

3.2.5 Tolrestatinin Gelişimi

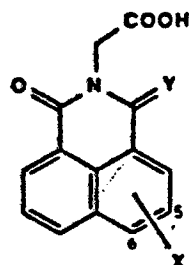
Alrestatinin tanınmasından sonra diabetin kronik komplikasyonlarının tedavisinde (32, 24) klinik etkinin yüksek dozla ilgili olduğu bulunmuştur. Alrestatinin ve

Tablo 3.9. Klinik Çalışmaları Devam Eden Aldoz Redüktaz inhibitörleri

No	Yapı	İsim
1		AY-27,773 Tolrestat Alredase ³
2		CP-45,634 Sorbinil
3		M-79,175 Methosorbinil
4		ONO-2235 Epalrestat
5		AL-1567 Alconil
6		ICI-128,436 Statil

analogları sentezlenerek (131) türevlerin inhibisyon yüzdelerine bakılmıştır (Tablo 3.10).

Tablo 3.10. Alrestatin Analoglarının Aldoz Redüktaz inhibitör Aktivitesi



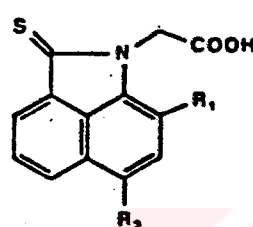
No	Y	X	% inhibisyon		
			1×10^{-5} M	1×10^{-6} M	1×10^{-7} M
1	O	H	74	32	-
2	O	5-NO ₂	64	46	-
3	O	5-NH ₂	62	20	-
4	O	6-Cl	86	42	-
5	O	6-Br	70	40	-
6	O	6-COPh	85	65	22
7	O	6-SPh	92	71	22
8	O	6-(2-COOH)-C ₆ H ₄ S-	91	61	17
9	O	6-Me(CH ₂) ₄ S-	60	33	26
10	S	H	89	75	28

Molekülde 6. pozisyonun sübstiyüsyonu genellikle etki potansiyelini arttırır. Tiyo analogu ile de (no:10) en yüksek in vitro etki elde edilmiştir. Oral kullanımında

galaktosemik sıçanların galaktikol seviyelerini düşürmede alrestatinden 6 kez daha etkili bulunmuştur (131).

Molekülde modifikasyon sonucu Tablo 3.11. de yer alan tiyonafaftostirilasetik asit yapısına geçilebilir (130).

Tablo 3.11. Naftostiril Türevlerinin Aldoz Redüktaz inhibitör Aktivitesi



No	R1	R2	1×10^{-5} M	1×10^{-6} M	1×10^{-7} M
1	H	H	93	87	61
2	H	Br	95	91	79
3	H	Cl	96	91	66
4	H	F	94	88	56
5	H	I	93	91	81
6	Br	Br	89	56	13
7	Cl	Cl	94	76	30

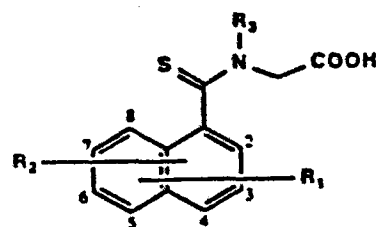
Sistemdeki halojen türevi, hem in vivo hemde in vitro olarak aktivitede artısa neden olmuştur. Alrestatinin tiyo analogundan daha potent olduğu düşünülmektedir. No:2 de yer

alan bromo türevi 131 mg/kg dozda $1 \times 10^{-7} \text{ M}$ konsantrasyonda % 79 inhibisyon göstermiştir. Galaktosemik ratlarda (130) sinirlerdeki galaktitol seviyesini düşürmüştür. Ancak dokularda renklenmeye neden olduğu için tercih edilmemektedir.

Daha sonraki modifikasyonlar sistemeeki beş üyesi halkada yapılmıştır. Tablo 3.12. de naftoglisin derivelerinin (133, 132), belli konsantrasyonlardaki % inhibisyonları görülmektedir. *in vivo* ve *in vitro* aktiviteleri yüksek çıkmıştır. Birinci sıradaki sübstítüe olmamış derive $1.0 \times 10^{-6} \text{ M}$ ile % 51 gibi orta derecede aktivite gösterirken, maksimum inhibitör aktivite 4. sıradaki 5-bromo türevinden elde edilmiştir. Yapıdaki N-metil grubunun hidrojen yada hidrokarbon grubu ile yer değiştirmesi sonucu oluşan yapılar incelenmiş (no:26), etki potansiyelinde düşüş gözlenmiştir. Tablodaki dikkate değer bileşik 24. sıradaki tolrestat (Aldredase, AY-27,773) adlı bileşiktir. Sığır lenslerinden elde edilen enzime karşı IC_{50} değeri $3.5 \times 10^{-8} \text{ M}$ dir (134). Bileşikle ilgili farmakolojik ve biyokimyasal çalışmalar geniş ölçüde devam etmektedir (6, 97, 8).

Aldoz redüktaz enziminin diabetik komplikasyonlar- daki önemli rolünün anlaşılması araştırmacıları bir çok bileşigin inhibitör etkisini saptamaya ve bir çok yeni bileşigi sentezlemeye yöneltmiştir. Bir çok molekülde *in vitro* olarak aktivite saptanmıştır. Ancak etkin türevlerin hazırlanabilmesi çok sayıda klinik çalışmayı gerektirmektedir.

Tablo 3.12. Naftoglisin Türevlerinin Aldoz Redüktaz İnhibitor Aktivitesi



No	R1	R2	R3	% İnhibisyon		
				1x10 ⁻⁵ M	1x10 ⁻⁶ M	1x10 ⁻⁷ M
1	H	H	Me	85	51	13
2	3-Br	H	Me	90	74	28
3	4-Br	H	Me	91	77	32
4	5-Br	H	Me	93	87	47
5	6-Br	H	Me	91	75	18
6	7-Br	H	Me	86	58	15
7	8-Br	H	Me	88	75	24
8	5-OMe	H	Me	83	64	17
9	5-Br	H	Me	89	74	26
10	5-CN	H	Me	89	79	32
11	5-NO ₂	H	Me	91	83	43
12	5-C1	H	Me	91	83	40
13	5-COMe	H	Me	92	74	19
14	5-Pr	H	Me	91	72	21
15	5-CF ₃	H	Me	93	84	33
16	3-C1	4-OMe	Me	85	78	33
17	5-Br	6-O(CH ₂) ₄ Me	Me	93	91	55
18	5-Br	6-OMe	Me	99	91	72
19	5-Br	6-Me	Me	92	88	55
20	5-C1	7-C1	Me	88	75	29
21	5-I	6-OMe	Me	98	95	72
22	5-CN	6-OMe	Me	98	93	74
23	5-Br	6-O(CH ₂) ₃ OMe	Me	92	87	38
24	5-CF ₃	6-OMe	Me	98	94	65
25	5-SO ₂ CF ₃	6-OMe	Me	-	94	73
26	5-Br	H	H	54	14	-
27	5-Br	H	Pr	91	70	19
28	5-Br	H	CH ₂ CH=CH ₂	92	77	27
29	5-Br	H	Et	85	72	24
30	5-Br	H	Bu	86	65	19
31	5-Br	H	C ₆ H ₅ CH ₂	86	69	20

4. MATERİYAL VE METOD

4.1 Materyal

4.1.1 Kullanılan Araç ve Gereçler

Ergime noktası tayini yapılarken Buchi SMP 20 ve Mettler FP 61 aletleri kullanıldı ve sonuçlar düzeltilmeden verildi.

Ultraviolet ölçümleri Shimadzu UV-160 spektrometresinde yapıldı. Etanol içinde çözülerek hazırlanmış maddelerin, maksimum absorbansları ve $\log \epsilon$ değerlerinin hesapları 200-800 nm arası taranarak gerçekleştirildi.

Enzim inhibisyon tayini çalışmasında Pye-Unicam SP8-100 spektrometresi kullanıldı.

Infrared ölçümleri Perkin Elmer 782 I.R. spektrometresinde, 400-4000 cm^{-1} arasında KBr diskı kullanılarak yapıldı.

NMR ölçümleri Varian E.M 360L spektrometresinde, çözücü olarak d_6 -DMSO kullanılarak gerçekleştirildi.

Elementel analiz sonuçları, karbon, hidrojen ve azot yüzdeleri saptanmak suretiyle Carlo-Erba Analiz Cihazı ile elde edilmiştir.

4.1.2 Kullanılan Kimyasal Maddeler

Fenil hidrazin (Merck), asetofenon (Aldrich), susuz ZnCl₂ (Aldrich), konsantrasyonlu HCl (Merck), etanol (Merck), N,Ndimetilformamid (Merck), fosforoksiklorür (Merck), NaOH (Aldrich), glisin (Aldrich), potasyumtiosiyanat (Aldrich), dietanolamin (Merck), metanol (Merck), toluen (Merck), etilformat (Merck), formikasit (Merck), isopropil (Merck), amonyak (Merck), indol (Aldrich), 5-bromoindol (Aldrich), 5-siyanoindol (Aldrich), 5-nitroindol (Aldrich), 5-metoksiindol (Aldrich), Amonyum sülfat (Merck), NADPH (Sigma), NaCl (Merck), DL-Gliseraldehit (Sigma), Dimetilsülfoksit (Merck), d₆-DMSO (Aldrich).

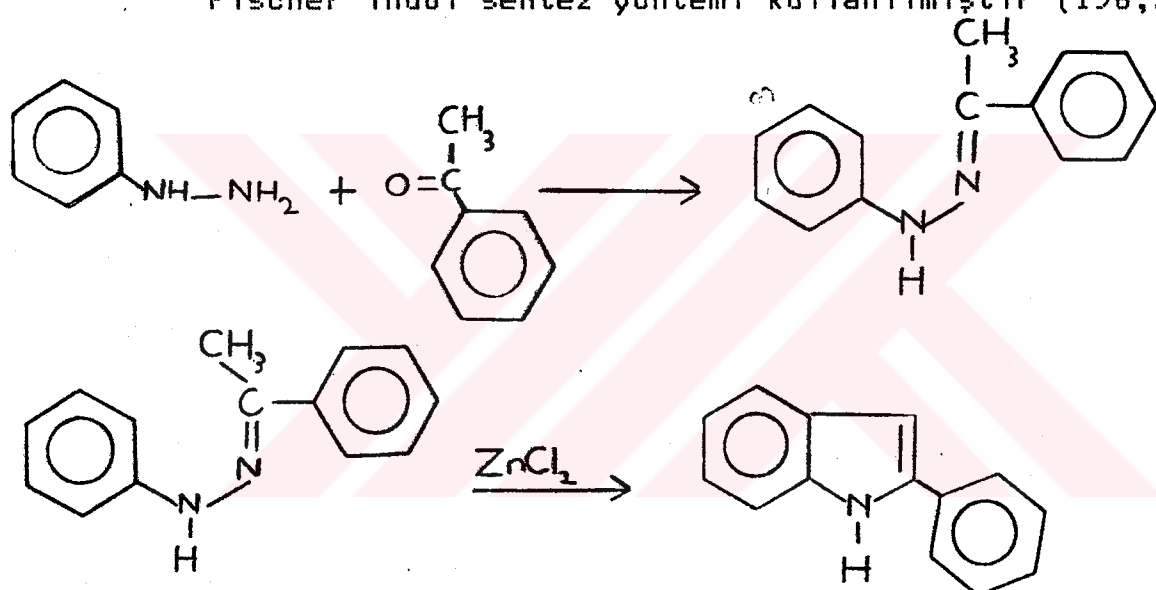
Tarafımızdan sentezlenen başlangıç maddeleri 2-fenilindol, 2-fenilindol-3-karboksyaldehit, indol-3-karboksyaldehit, 5-bromoindol-3-karboksyaldehit, 5-nitroindol-3-karboksyaldehit, 5-siyanoindol-3-karboksyaldehit, 5-metoksiindol-3-karboksyaldehit, 2-tiyohidantoin, 1-acetil-2-tiyohidantoin

4.2 Metod

4.2.1 Elde Edilen Bileşiklerin Sentez Yöntemleri

4.2.1.1 2-Fenil İndol Sentezi

Fischer indol sentez yöntemi kullanılmıştır (138,79).

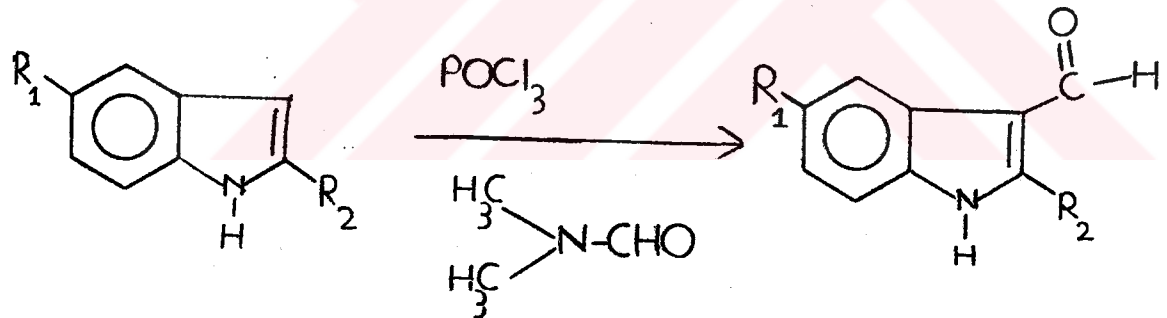


Birinci basamakta fenil hidrazin 4g (0.037 mol) ve asetofenon 3.6g (0.03 mol) bir saat kaynar su banyosunda bekletilip, soğutulmuş etanol içine dökülkerek oluşan asetofenonfenilhidrazen kristalleri Buchner hunisinden süzüldü. Vakumlu etüde kurutuldu. Ergime noktası 105°C bulundu. Literatürdeki ergime noktası 105-106°C (138)- ikinci basamakta 6g hidrazen kristalli (0.028 mol) ve

bunun beş misli mikardaki, toz halde kuru $ZnCl_2$ 170°C lik yağ banyosunda 5 dakika mekanik karıştırıcı ile karıştırıldı. Katılışan ürün seyreltik HCl ilavesi ile kaynar su banyosunda 4 saat çözünene kadar beklendi. Karışım alkol ile kaynatıldı, alkole geçen madde bu çözeltiden kristallendirildi. Işık ve havada bozunabilen kristaller 50°C de vakumlu etüvde kurutuldu. İTK ile saf oldukları kontrol edildi, R_f değeri 0.82 (solvan 1), ergime noktası 186°C bulundu. Literatürdeki ergime noktası 186-188°C (138).

4.2.1.2 Sübstitüe indol-3-karboksaldehitlerin Sentezi

indol türevlerinin 3. konumuna N,N-dimetilformamid ve fosforoksiklorür ile aldehit grubu bağlandı (52, 135).



BİLEŞİĞİN ADI	R_1	R_2	R_f (Sol.1)	E.N(°C)
A ₁ - indol-3-karboksaldehit	-H	-H	0.85	195-196
A ₂ - 5-Bromoindol-3-karboksaldehit	-Br	-H	0.68	205
A ₃ - 5-Nitroindol-3-karboksaldehit	-NO ₂	-H	0.75	285-290
A ₄ - 5-Siyanoindol-3-karboksaldehit	-CN	-H	0.57	240
A ₅ - 2-Fenilindol-3-karboksaldehit	-H	-Ph	0.65	170-173

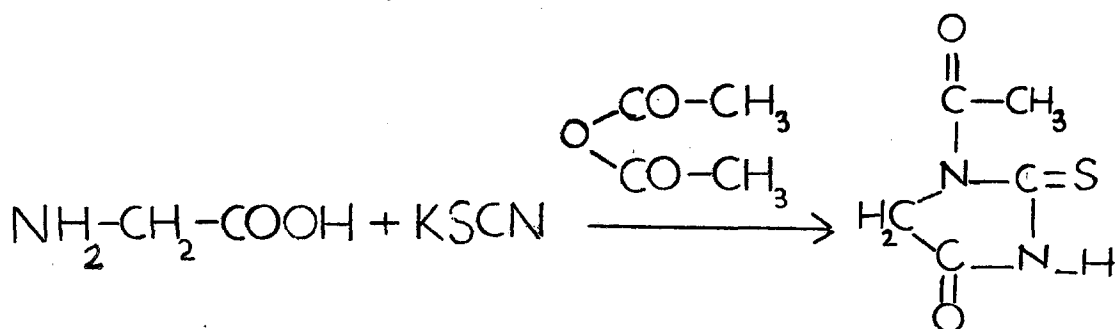
İndol-3-aldehit türevlerinin sentezlerine ait veriler aşağıda tablo halinde verilmiştir.

Reaksiyona Giren Maddeler

Bileşik	İndol (5 mmol)	POCl ₃ (6 mmol)	N,N-Dimetil formamid (22 mmol)	Ürün (g)	Verim (%)
A ₁	0.58 g	0.55 ml	1.6 ml	0.54	75
A ₂	0.98 g	0.55 ml	1.6 ml	0.95	84.8
A ₃	0.81 g	0.55 ml	1.6 ml	0.61	64.2
A ₄	0.71 g	0.55 ml	1.6 ml	0.60	60.6
A ₅	0.95 g	0.55 ml	1.6 ml	0.75	68.8

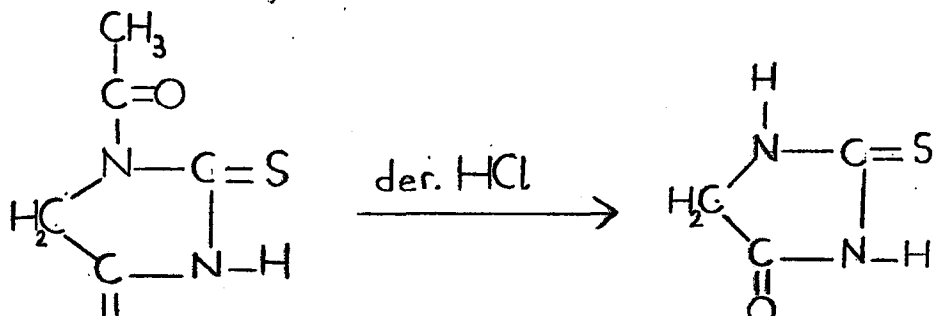
Ağzı kapalı bir balonda 1.5 ml (21 mmol), dimetilformamid buz banyosunda, magnet ile sürekli karışması sağlanarak 10-20°C soğutuldu. Havanın neminden korunmayı sağlayacak şekilde 5 ml (6 mmol) fosforoksiklorür damla damla 30 dakikada ortama katıldı. Reaksiyon 5 dakika karıştırıldı ve indol ve/veya türevi (6 mmol) 0.5 ml dimetilformamid içinde çözülerek damla damla reaksiyon ortamına ilave edildi. Ortam sıcaklığı 20-30°C yi geçmeyecek şekilde 30 dakika süre ile karıştırıldı. Karışım kırılmış buza döküldü. Oluşan ekzotermik reaksiyonun bitiminden sonra ortam bazik olana kadar, % 40 lık NaOH çözeltisi damla damla ilave edildi. Oluşan kristaller süzüldü ve bol su ile yıkandı, vakumlu etüvde kurutuldu. Oluşan bileşiklerin ergime noktaları bulunarak, ince tabaka kromatografisi ile saflıkları kontrol edildi ve R_f değerleri hesaplandı.

4.2.1.3 1-Asetil-2-Tiyohidantoin Sentezi



Bir beher içinde 2 g glisin (0.026 mol) ve 2.5 g potasyumtiyosiyanat (0.026 mol) üzerine 10 ml asetik asit anhidriti ilave edilerek kaynar su banyosunda şiddetli reaksiyon gözlenene kadar karıştırıldı. Geri çeviren soğutucuda 30 dakika reflaks edildi. Hacminin 6 katı kadar soğuk suya dökülderek asetil tiyohidantoin kristalleri elde edildi (54,55,161). Ergime noktası 175°C olan (literatürdeki ergime noktası $175\text{-}176^{\circ}\text{C}$) 2.4 g madde elde edildi ve R_f değeri 0.62 (solvan I) bulundu (161).

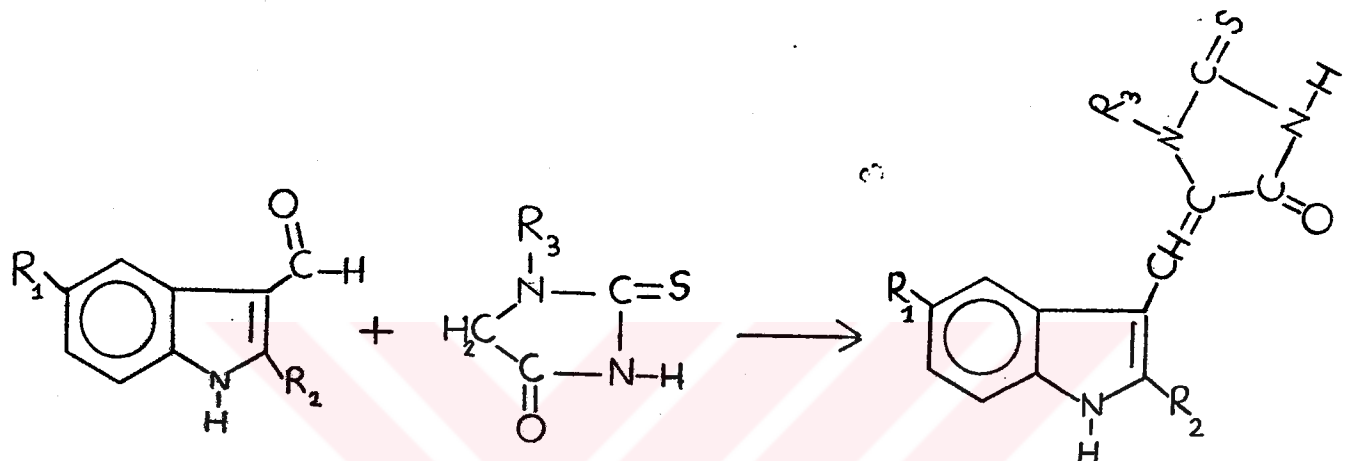
4.2.1.4. 2-Tiyohidantoin Sentezi



Asetil grubunun hidrolizine dayalı yöntem uygulandı (54,55,161). Bir balona alınan 5g (0.031 mol) 3-asetyl-2-tiyohidantoin 3 defa aşırı miktarda konsantrasyonlu HCl ile kaynar suda ısıtarak, rotovaporda kuruluşa kadar uçuruldu. Balonda

kalan artık, etanol ile kaynatılarak süzüldü. Süzüntüden 2-tiyohidantoin kristallendirildi. Ergime noktası 229°C olan (literatürdeki ergime noktası $229\text{-}231^{\circ}\text{C}$) 3.2 g madde % 88 verimle elde edildi. R_f değeri 0.74 bulundu (Solvant 1).

4.2.1.5 5-(3'-indolal)-1-sübstitüe-2-tiyohidantoin Sentezi



No	R_1	R_2	R_3	R_f (Solvant 2)	Ergime Noktası($^{\circ}\text{C}$)
1	-CN	-H	-COCH ₃	0.58	345
2	-H	-Ph	-COCH ₃	0.69	255
3	-H	-H	-H	0.71	258-260
4	-Br	-H	-H	0.60	310-315
5	-NO ₂	-H	-H	0.75	305-310
6	-CN	-H	-H	0.55	335-340
7	-H	-Ph	-H	0.65	275

İndol ve hidantoin halkalarının kondansasyonuna dayalı sentez yöntemi uygulandı (83). İndol karboksaldehit ve/veya türevi (0.050 mol), tiyohidantoin ve/veya asetiltiyohidantoin (0.0050 mol), dietanolamin (0.014 mol) ve metanol (0.06 mol) 2 saat kaynar su banyosunda, geri çeviren

soğutucu altında reflux edildi. Reaksiyon sonunda kendi hacmi kadar su ilave edilerek seyreltilip, 15 dakika kaynatıldı. Oluşan çökelek süzülerek bol su ile yıkandı. İnce tabaka kromatografi ile R_f değerleri, ergime noktaları belirlendi ve spektral analizleri yapıldı. Sonuçlar bulgular kısmında yer almaktadır.

4.2.2 Elde Edilen Bileşiklerin Saflıklarının Araştırılması

Sentez çalışmaları sırasında reaksiyonlardaki gelişmeyi izlemek, elde elde edilen maddelerin saflık derecelerini saptamak ve R_f değerlerini belirlemek amacıyla ince tabaka kromatografisinden yararlanıldı. Bu amacıyla kieselgel 60 F 254 ile kaplanmış, 0.2 mm kalınlığındaki hazır (Merck) alüminyum plaklar kullanıldı. Çalışmada kullanılan solvan sistemleri aşağıda verilmiştir.

1. Toluuen-Etilformat-Formik asit (5:4:1)
2. isopropilalkol-Amonyak-Su (10:1:2)

Sürükleme işlemi tamamlandıktan sonra plaklar açık havada kurutulup, lekeler UV lambası altında 254 nm dalga boyunda incelendi.

4.2.3. Sentezlenen Bileşiklerin Spektral İncelemeleri

4.2.3.1. Ultraviolet Spektral Analizleri

Sentezlenen bileşiklerin etanol içerisinde aşağıda gösterilen konsantrasyonda hazırlanan çözeltileri 200-800 nm arasında tarama yapılarak UV analizleri gerçekleştirılmıştır.

Bileşik	Konsantrasyon
S_3	2.0×10^{-5} M
S_1, S_2, S_4, S_6, S_7	1.0×10^{-5} M
S_5	5.0×10^{-6} M

Sentezlenen türevlerden S_1, S_5, S_6 de indol halkasının 5. konumunda $-NO_2$ ve $-CN$ gibi kromofor grupları yer aldığı için spektrumdaki bazı maksimum absorbсиyon bantları etkilenerek genişlemiş ve dalga boylarının değişmesi nedeniyle diğerlerini örtmüştür. Bu durumda, bu türevlerde gözlenen maksimum absorbсиyon bant sayısı azalmaktadır.

Sentezlenen her bileşliğin maksimum absorbсиyon bantları (λ_{maks}) ve bu dalga boyunda hesaplanan molar ekstinksyon katsayılarının logaritması ($\log E$) bulgular kısmında verilmiştir.

4.2.3.2. Infrared Spektral Analizleri

Sentezlenen bileşiklerde gerçekleştirilen IR ölçümleri sonucunda, tiyohidantoin halkasının C=O gerilimi (yaklaşık 1650 cm^{-1}), N-H gerilimi ($3100\text{-}3350\text{ cm}^{-1}$ arasında) C=S gerilimi (yaklaşık 1240 cm^{-1}) ile indol halkasının N-H gerilim bantları dikkati çekmektedir. Ayrıca indol halkasının 5. konumundaki sübstituentlerin gerilim bantları gözlenmektedir. Bu türevlerde C≡N grubu 2220 cm^{-1} civarında, NO_2 grubu $1550\text{-}1340\text{ cm}^{-1}$ civarında asimetrik ve simetrik gerilme gözlenmektedir. ikinci konumda fenil bulunan türevde fenil halkasına ait 690 cm^{-1} de ve 730 cm^{-1} de 2 keskin C-H eğilim bantı gözlenmektedir. Asetiltiyohidantoin grubu bulunan türevlerde ise - CH_3 grubu $1430\text{-}1350\text{ cm}^{-1}$ civarında asimetrik ve simetrik gerilme titreşimleri göstermektedir.

Sentezlenen bileşiklerde başlangıç maddesi olan 2. ve 5. konumdan sübstitüe indol-3-karboksaldehitlerde $2830\text{-}2700\text{ cm}^{-1}$ de aldehitler için spesifik olan 2 kuvvetli C-H gerilim bantları gözlenmektedir (4). Diğer başlangıç maddesi olan tiyohidantoin halkasında $2850\text{-}2950\text{ cm}^{-1}$ arasında C-H gerilim bantları yer almaktadır (4). Başlangıç maddelerine ait olan bu bantlar sentezlenen türevlerde bulunmamaktadır.

Elde edilen bileşiklerin IR spektrumları incelendiğinde aşağıda görülen ortak absorbsiyon bantları

dikkat çekmektedir.

$3300\text{-}3100\text{ cm}^{-1}$: N-H gerilimi

$3100\text{-}3000\text{ cm}^{-1}$: =C-H gerilimi (Aromatik Hidrojenler)

$1700\text{-}1600\text{ cm}^{-1}$: C=O gerilimi

$1600\text{-}1500\text{ cm}^{-1}$: C=C gerilimi

$1290\text{-}1100\text{ cm}^{-1}$: C=S gerilimi

4.2.3.3. NMR Spektral Analizleri

Sentezlenen bileşiklerin % 1 tetrametilsilan (TMS) içeren DMSO- d_6 içinde çözülerek 1H NMR spektrumu alındı.

Türevlerin NMR spektrumu incelendiğinde, indol ve tiyohidantoin halkasına ait protonların magnetik rezonans sinyalleri, aromatik sistemden kaynaklanan anizotropik etki nedeniyle paramagnetik kayma göstererek düşük alanda görülmektedir. Bu protonların düşük alanda gözlenen sinyallerinin yeri indol halkasının 5. konumunda bulunan sübstiyentlerin induktif etkisinin özelliğine göre değişmektedir. Sentezlenen bileşiklerde S_2 ve S_7 de 2. konumda bulunan fenil halkasının ve indol halkasında bulunan fenil protonlarının sinyalleri 7.00-8.25 ppm de multiplet olarak gözlenmektedir. Tiyohidantoin halkasının 9.00-12.00 ppm de gözlenen N-H sinyalleri, sentezlenen türevlerde de aynı

aralıkta gözlendi. Bileşiklerden S_4 , S_2 ve S_7 dışındakilerde bir çok indol türevinde olduğu gibi azota bağlı protonun sinyali gözlenmemiştir. S_4 , S_2 , S_7 de ise 8.60 ve 6.75 ppm değerlerinde beklenen aralılda gözlenmiştir. Bulgular kısmında elde edilen türevlerin NMR spektrum ve yorumları verilmiştir.

4.2.3.4 Elementel Analizleri

Elde edilen türevlerin elementel analizlerinin sonuçları hesaplanan ve analiz sonunda bulunan C, H, ve N atomlarının molekül içindeki % miktarları şeklinde bulgular kısmında gösterilmiştir.

4.2.4. Sentezlenen Bileşiklerin in Vitro Biyolojik Aktivitelerinin Tayini

4.2.4.1. Aldoz Redüktaz Enziminin Elde Ediliş Yöntemi

Biyolojik aktivite tayini için gerekli olan aldoz redüktaz enzimi, sığır lenslerinden elde edilmiştir (40). Bu amaçla lensler tartıldı (100-200g) ve ağırlığının 3 misli soğuk su ile homojenize edildi. Homojenat, çözünmeyen materyalin uzaklaştırılması amacıyla 20 dakika süre ile 10000xg de santrifüj edildi. Çözeltiye doymuş amonyum sülfat çözeltisi ilave edilerek % 40 lık doymuşluk sağlandı. Oda

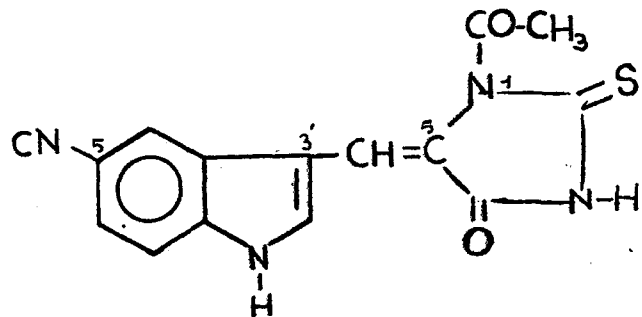
sıcaklığında 15 dakika süreyle kendi haline bırakılarak çökmesi sağlandı, 10000xg de 20 dakika santrifüj edilerek çöken ve çözünen kısımlar birbirinden iyice ayrıldı. Çökelek atıldı, çözünen kısım, üzerine doymuş amonyum sülfat ilave edilerek % 50 lik doymuşluk sağlandı. Yeniden 15 dakika oda sıcaklığında bekletildikten sonra 10000xg de 20 dakika santrifüj yapıldı ve elde edilen çözelti, doymuş amonyum sülfat çözeltisi ile % 75 lik doymuşluğa getirildi. Daha sonra çözelti 10000xg de 20 dakika santrifüj edildi ve çöken enzim ayrıldı. Elde edilen aldoz redüktaz enzimi 10 ml 0.05M NaCl çözeltisi içinde çözülerek 4 L 0.05M NaCl içinde, karıştırılmak suretiyle bir gece diyalize bırakıldı. Elde edilen sonuçlar bulgular kısmında verilmiştir.

5. BULGULAR

5.1. Elde Edilen Bileşiklerin Sentez ve Analiz Bulguları

5.1.1. 5-[(5'-siyano)-3'-indolal]-1-asetil-2-tiyohidantoin

(S₁)



Metod kısmında bahsedilen yöntem uygulanarak gerçekleştirilen sentezde 0.98 g. (0.0050 mol) 5-siyanoindol-3-karboksaldehit ve 0.74 g. (0.0047 mol) 3-asetil-2-tiyohidantoin, 1.34 ml (0.014 mol) dietanolamin ve 2.43 ml (0.06 mol) metanol kullanıldı. Reaksiyon 2 saat süre ile kaynar su banyosunda gericeviren soğutucu altında yürütüldü. Sentez sonunda % 64.68 verimle 0.87 g. ürün elde edildi.

Ergime noktası : 340 °C

R_f : 0.58 (Solvant 2)

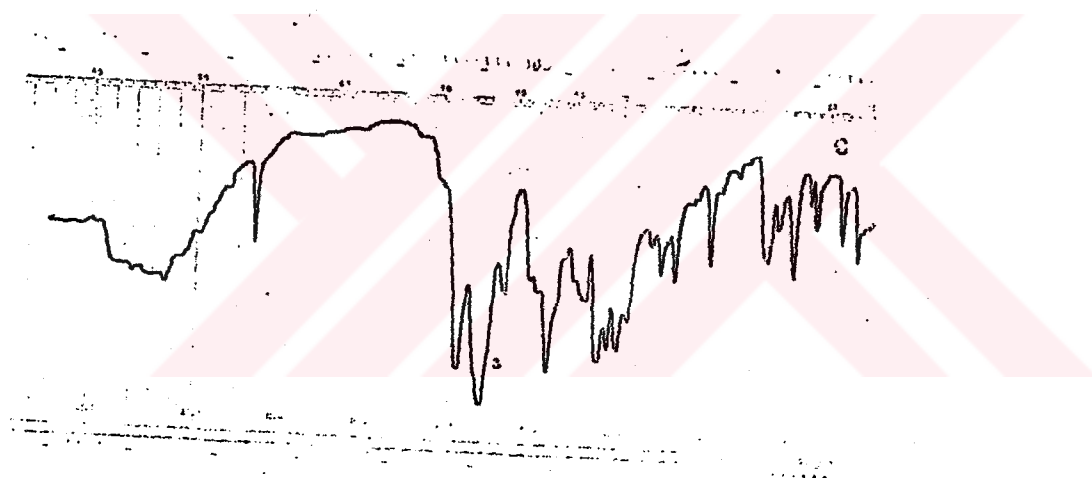
Elementel Analiz : C₁₅H₁₀O₂N₄S için

Teorik Değer : C: % 58.00, H: % 3.24, N: % 18.05

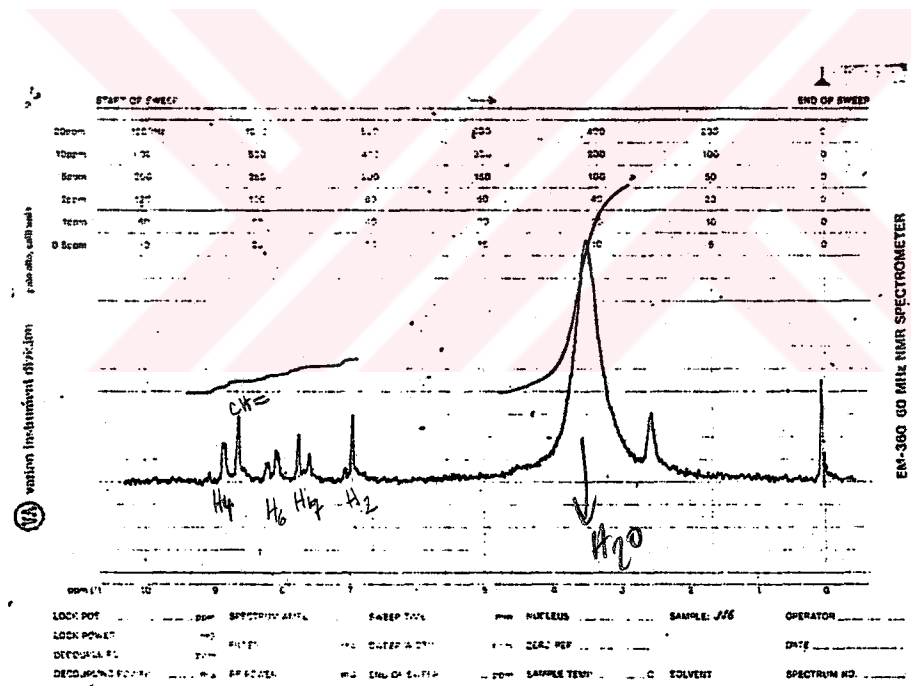
Analiz Sonucu : C: % 55.97, H: % 3.28, N: % 19.64

UV Spekturumu : λ_{maks} (nm) (log e) : 368 (4.91),
238 (5.20), 217 (5.11).

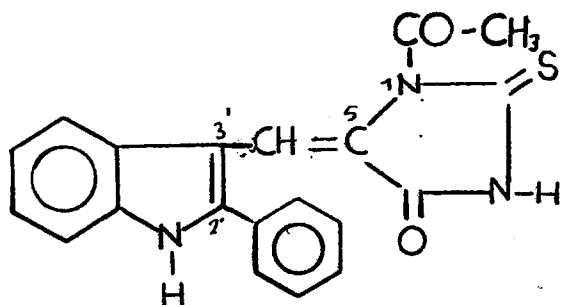
IR Spektrometri (cm^{-1}): 3200 (N-H gerilimi), 2900 (Aromatik hidrojen gerilimi), 2250 (C≡N gerilimi), 1650 (C=O gerilimi), 1590 (C=C gerilimi), 1530 (N-H eğilimi), 1350-1430 (Simetrik ve asimetrik CH_3 gerilimi), 1260 (C=S gerilimi), 800-870 (Aromatik hidrojenlerin düzlem dışı eğilim titreşimleri)



(S₁) ¹H-NMR Spektrumu (TMS, DMSO-d₆): ppm: 3.50 (s, 3H, metil protonları, 7.00 (s, 1H, -CH=C-), 7.75 (d, 1H, indol halkasının 6. konumundaki proton), 8.25 (s, 1H, indolün 4. konumundaki proton), 8.35 (s, 1H, indolün 7. konumundaki proton) 8.55 (s, 1H, H₂ protonu), 9.00 (s, hidantoin N-H), indol N-H protonları gözlenmedi.



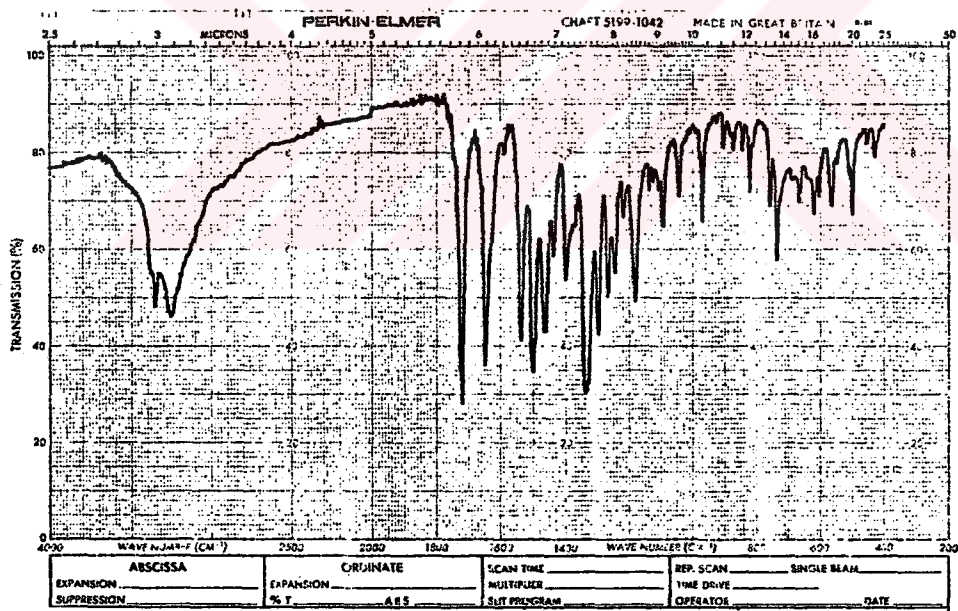
5.3.2. 5-[(2'-fenil)-3'-indolal]-1-asetil-2-tiyohidantoin
(S₂)



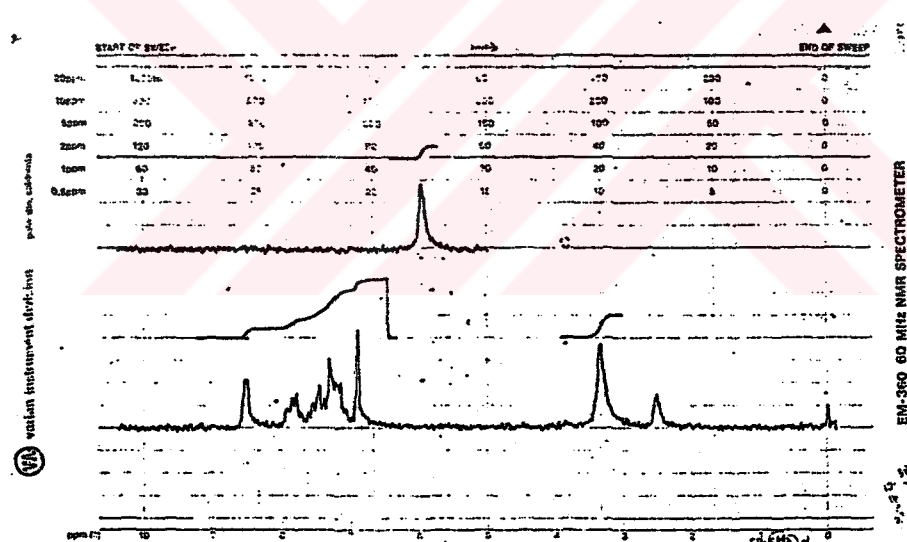
Metod kısmında bahsedilen yöntem uygulanarak gerçekleştirilen sentezde 1.105 g. (0.005 mol), 2-fenilindol-3-karboksaldehit, 0.74 (0.0047 mol) 3-acetyl-2-thioxohydantoin, 1.34 ml (0.014 mol) dietanolamin ve 1.34 ml (0.06 mol) metanol kullanıldı. Reaksiyon 2.5 saat süre ile kaynar su banyosunda geriçeviren soğutucu altında yürütüldü. sentez sonunda % 40.44 verimle, 0.73 g madde elde edildi.

Ergime Noktası	: 254-255 °C
R _f	: 0.69 (Solan 2)
Elementel Analiz	: C ₂₀ H ₁₅ O ₂ N ₃ S için
Teorik Değer	: C: %66.47, H: %4.18, N: %11.63
Analiz Sonucu	: C: %65.27, H: %4.12, N: %12.51
UV Spektrumu	: λ_{maks} (nm), (log _e) : 424 (4.98), 305 (5.00), 244 (5.07), 213 (5.01)

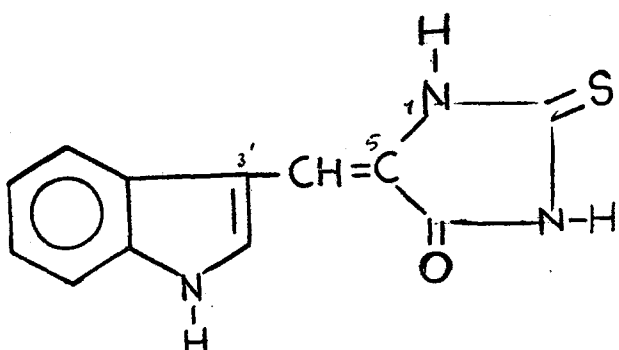
IR Spektrumu (cm^{-1}) : 3320 (N-H gerilimi), 3230 (Aromatik hidrojen gerilimi), 1750 (C=O gerilimi), 1650 (C=C gerilimi), 1500-1460 (N-H eğilimi), 1355-1330 (Simetrik ve asimetrik CH_3 gerilimi), 1240 (C=S gerilimi), 700-740 (Fenil halkasının düzlem dışı deformasyon bantları).



(S₂) ¹H NMR Spektrumu (TMS, DMSO) : ppm + 3.30 (s, 3H, metil protonları), 6.85 (s, 1H, -CH=C-), 7.00-8.00 (m, 9H, indol halkasındaki fenil ve 2' konumda bulunan fenil protonları), 8.50 (s, 1H, indol halkasındaki N-H), 11.95 (s, 1H, hidantoin N-H').



5.1.1.3. 5-(3'-indolal)-2-tiyohidantoin (S_3)



Metod kısmında bahsedilen yöntem uygulanarak gerçekleştirilen senteze, 0.72 g (0.0050 mol) indol-3-karboksaldehit, 0.54 g (0.0047 mol) 2-tiyohidantoin, 1.34 ml dietanol amini (0.014 mol) ve 2.43 ml (0.06 mol) metanol kullanıldı. Reaksiyon 2 saat süre ile kaynar su banyosunda, geri çeviren soğutucu altında gerçekleştirildi. Sentez sonunda % 58 verimle 0.71 g madde elde edildi.

Ergime Noktası : 258-260 °C

R_f : 0.71 (Solvan 2)

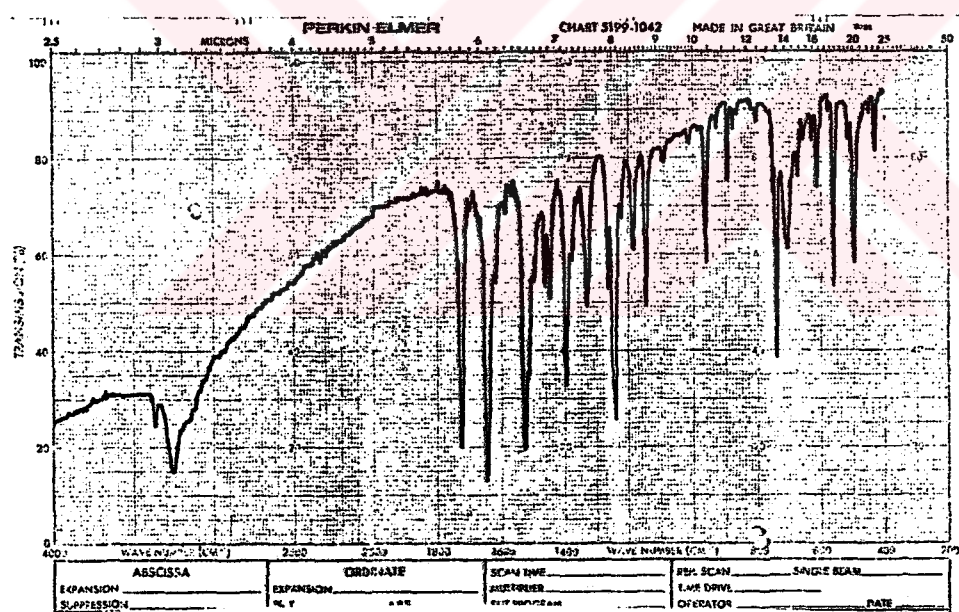
Elementel Analiz : $C_{12}H_9ON_3S$

Teorik Değer : C: % 59.24, H: % 3.72, N: % 17.27

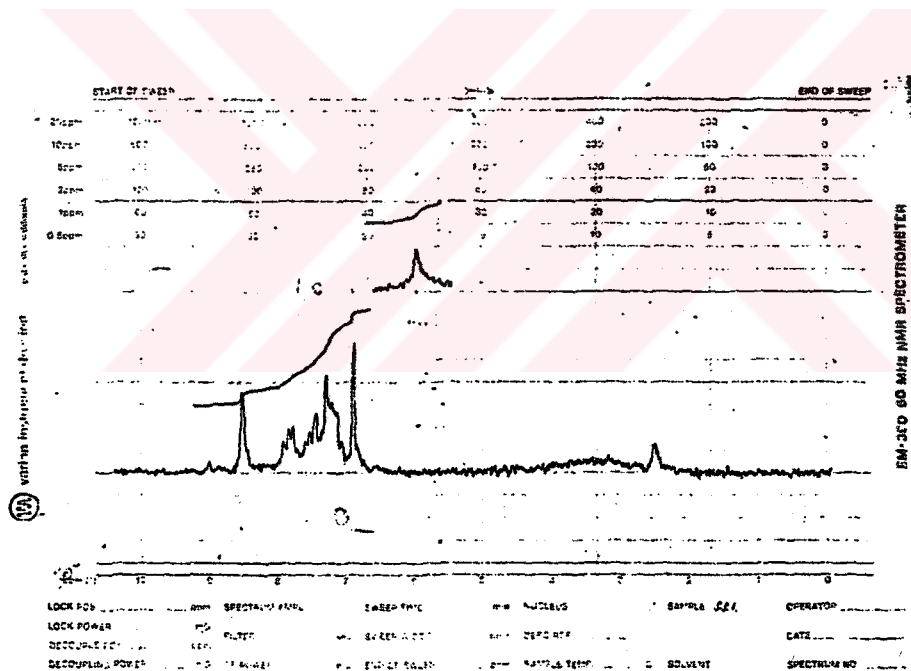
Analiz Sonucu : C: % 58.41, H: % 3.62, N: % 16.72

UV spektrumu : $\lambda_{\text{maks}} (\text{nm})$, (log ϵ) : 400 (5.01),
298 (4.72), 213 (4.82).

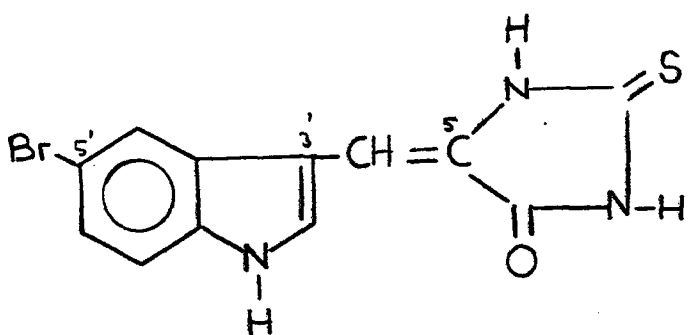
IR Spektrumu (cm^{-1}) : 3320 (N-H gerilimi), 3130 (Aromatik hidrojen gerilimi), 1730 (C=O gerilimi), 1645 (C=C gerilimi), 1500 (N-H eğilimi), 1240 (C=S gerilimi), 850-750 (Aromatik hidrojenlerin düzlem dışı eğilimleri),



(S₃) ¹H NMR Spektrumu (TMS, DMSO-d₆): ppm: 6.90 (s, 1H, -CH=C-), 7-8 arası (m, 4H indolün feniil halkası hidrojenleri), 8.50 (s, 1H, indol halkasının 2. konumundaki proton), 11.90 (hidantoin halkasındaki N-H), indol N-H 1 gözlemedildi.



5.1.1.4. 5-[(5'-bromo)-3'-indolal]-2-tiyohidantoin (S₄)



Metod kısmında bahsedilen yöntem uygulanarak gerçekleştirilen sentezde, 1.12 g (0.0050 mol) 5-bromoindol-3-karboksaldehit, 0.54 g (0.0047 mol) 2-tiyohidantoin, 1.34 ml dietanolamin (0.014 mol), 2.43 ml (0.06) metanol kullanıldı. Reaksiyon 2 saat süre ile kaynar su banyosunda, gericeviren soğutucu altında gerçekleştirildi. Sentez sonunda % 60.86 verimle, 0.98 g ürün elde edildi.

Ergime Noktası : 310-315 °C

Rf : 0.60 (Solvant 2)

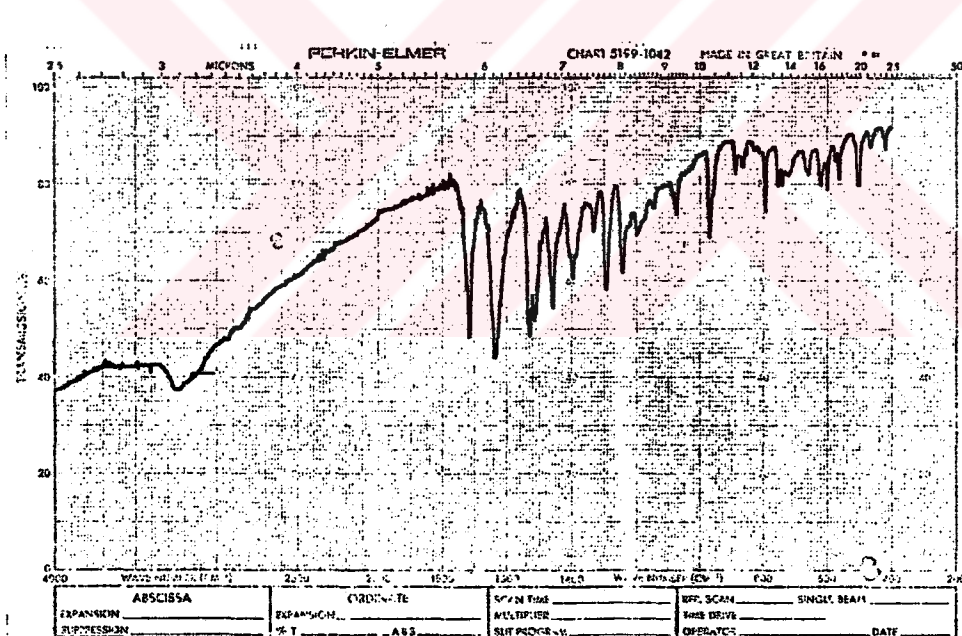
Elementel Analiz : C₁₂H₈ON₃SBr

Teorik Değerler : C: % 44.73, H: % 2.50, N % 13.04

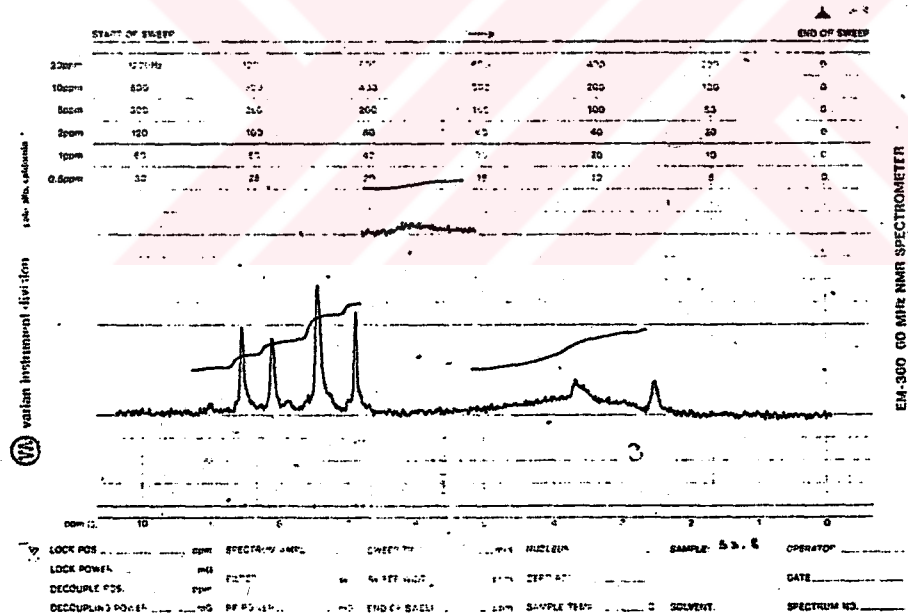
Analiz Sonucu : C: % 43.00, H: % 2.70, N % 12.79

UV Spektrumu : $\lambda_{\text{maks}} \text{ (nm)}, (\log e) = 385 (5.09)$,
282 (4.67), 238 (5.02), 213 (4.98).

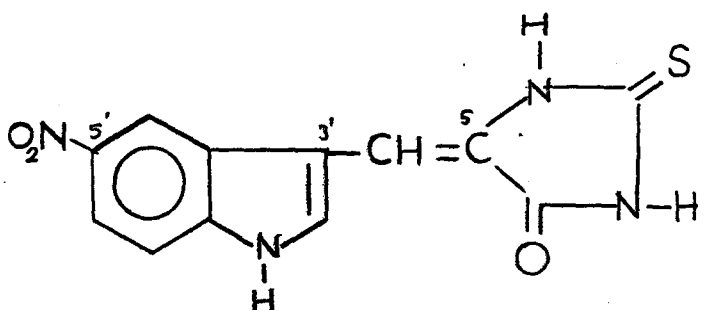
IR Spektrumu (cm^{-1}) : 3250 (N-H gerilimi), 3100 (Aromatik hidrojen gerilimi), 1715 (C=O gerilimi), 1640 (C=C gerilimi), 1520 (N-H eğilimi), 1240 (C=S gerilimi), 750-790 (Aromatik hidrojenlerin düzlem dışı eğilim titreşimleri), 600-500 (C-Br gerilimi).



(S₄) ¹H NMR Spektrumu (TMS, DMSO-d₆) : ppm + 6.90 (s, 1H, -CH=CH-), 7.50 (3H, fenil protonları), 8.20 (s, 1H, indolün ikinci konumundaki proton), 8.60 (s, 1H, indol N-H), 11.95 (hidantoin N-H'ına ait yaygın pik).



5.1.1.5. 5-[*(5'-nitro)-3' indolal*]-2-tiyohidantoin (S₅)



Metod kısmında bahsedilen yöntem uygulanarak gerçekleştirilen sentezde, 0.81 (0.0050 mol) 5-nitroindol-3-karboksaldehit, 0.54 g (0.0047 mol) 2-tiyohidantoin, 1.43 ml (0.014 mol) dietanolamin, 2.43 ml (0.06 mol) metanol kullanıldı. Reaksiyon 2 saat süre ile kaynar su banyosunda gericeviren soğutucu altında gerçekleştirildi. Sentez sonunda % 51.09 verimle, 0.70 g ürün elde edildi.

Ergime Noktası : 306-310 °C

Rf : 0.75 (Solvant 2)

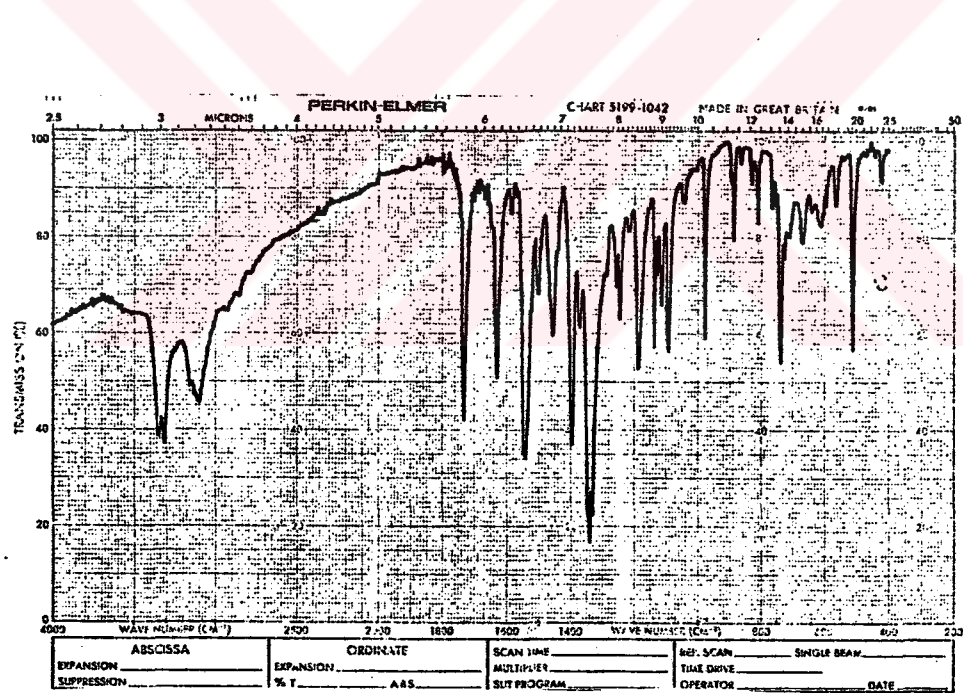
Elementel Analiz : C₁₂H₈O₃N₄S

Teorik Değerler : C: % 50.00, H: % 2.77, N: % 19.44

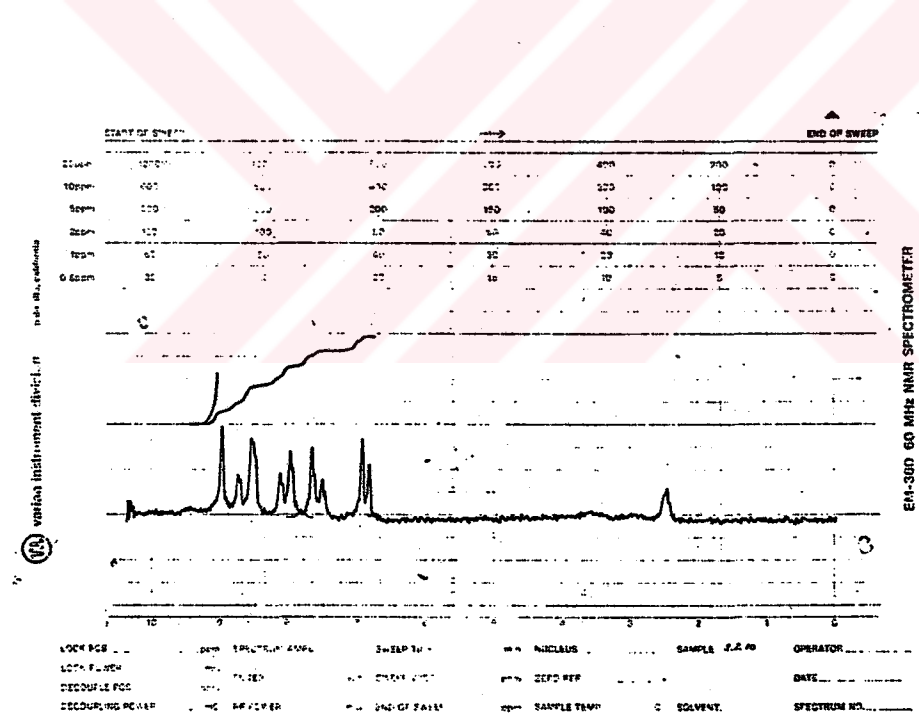
Analiz Sonuçları : C: % 50.81, H: % 2.77, N: % 18.49

UV Spektrumu : λ_{maks} (nm), (log_e) : 381 (4.95), 284 (4.86), 219 (5.07).

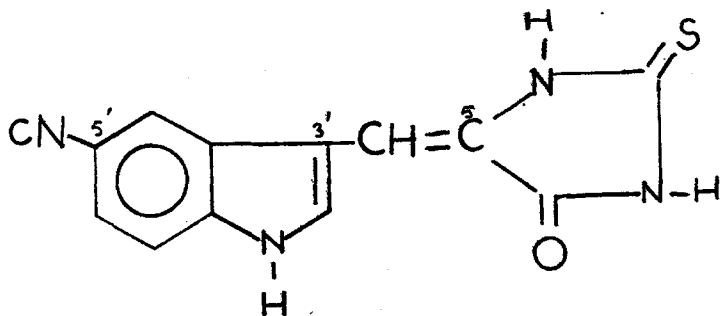
IR Spektrumu (cm^{-1}) : 3360 (N-H gerilimi), 3100 (Aromatik hidrojen gerilimi), 1730 (C=O gerilimi), 1630 (C=C gerilimi), 1550-1340 (Simetrik ve asimetrik NO_2 gerilimleri), 1460 (N-H eğilimi), 1190 (C=S gerilimi), 760-720 (Aromatik hidrojenlerin düzlem dışı eğilim titreşimleri).



(S₅) ¹H NMR Spektrumu (TMS, DMSO-d₆) : ppm ; 6.90 (d. 1H, -CH=C-), 7.75 (d. 1H, indol halkasında H₇), 8.00 (d. 1H, indol halkasında H₆), 8.60 (s. 1H, indol halkasında H₄), 8.80 (d. 1H, indol halkasının 2. konumundaki proton), 9.00 (s. 1H, indol N-H), hidantoin N-H gözlenmedi.



5.1.1.6. 5-[(5'-siyano)-3'-indolal]-2-tiyohidantoin (S_6)



Metod kısmında bahsedilen yöntem uygulanarak gerçekleştirilen sentezde, 0.98 g (0.0050 mol) 5-siyanoindol-3-karboksaldehit, 0.54 g (0.0047 mol) 2-tiyohidantoin, 1.34 ml (0.014 mol) dietanolamin, 2.43 ml (0.06) metanol kullanıldı. Reaksiyon 2 saat süre ile kaynar su banyosunda, geri çeviren soğutucu altında gerçekleştirildi. Sentez sonunda % 63.19 verimle, 0.85 g madde elde edildi.

Ergime Noktası : 334 °C

Rf : 0.55 (Solan 2)

Elementel Analiz : $C_{13}H_8ON_4S$

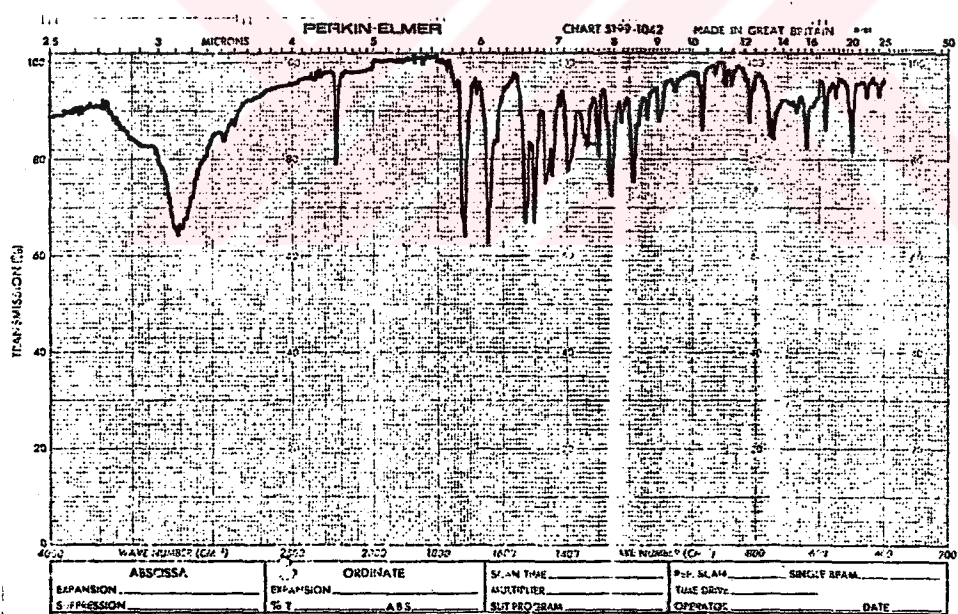
Teorik Değerler : C: %58.19, H: %3.00, N: % 20.88

Analiz Sonuçları : C: %58.67, H: %2.97, N: % 19.86

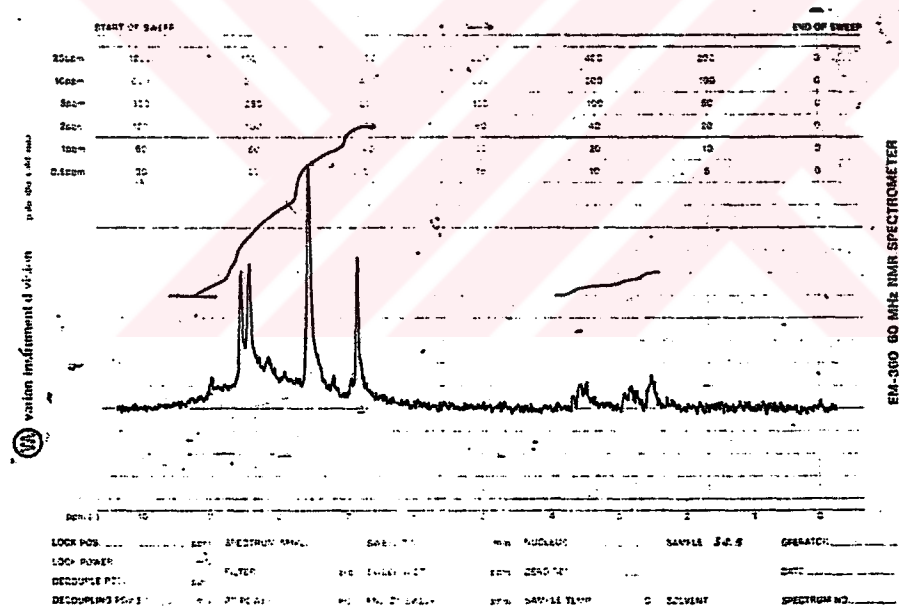
UV Spektrumu : $\lambda_{\text{maks, (nm)}}$ (log ϵ) : 387 (5.05),
254 (5.06), 215 (5.11)

IR Spektrumu (cm^{-1}) : 3200 (N-H gerilimi), 2900

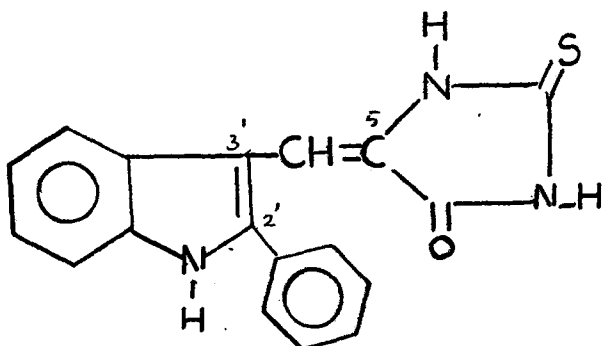
(Aromatik hidrojen gerilimi), 2215 (C≡N gerilimi), 1715 (C=O gerilimi), 1645 (C=C gerilimi), 1530 (N-H eğilimi), 1190 (C=S gerilimi), 760-720 (Aromatik hidrojenlerin düzlem dışı eğilim titresimleri).



(S₆) ¹H NMR Spektrumu (TMS, DMSO-d₆) : ppm ‡ 6.90
 (s. 1H, -CH=C-) , 7.75-8.50 (m. 4H, fenil hidrojenleri ve
 indol H₂), N-H protonları gözlenmedi



5.1.1.7. 5-[(2'-fenil)-3'-indolal]-2-tiyohidantoin (S₇)



Metod kısmında bahsedilen yöntem uygulanarak gerçekleştirilen sentezde, 1.105 (0.0050 mol) 2-fenilikindol-3-karboksaldehit, 0.54 g (0.0047 mol) 2-tiyohidantoin, 1.34 ml (0.014 mol) dietanolamin, 2.43 ml (0.06 mol) metanol kullanıldı. Reaksiyon 2.5 saat süre ile kaynar su banyosunda, geri çeviren soğutucu altında gerçekleştirildi. Sentez sonunda % 47.12 verimle, 0.75 g ürün elde edildi.

Ergime Noktası : 275 °C

Rf : 0.65 (Solvant 2)

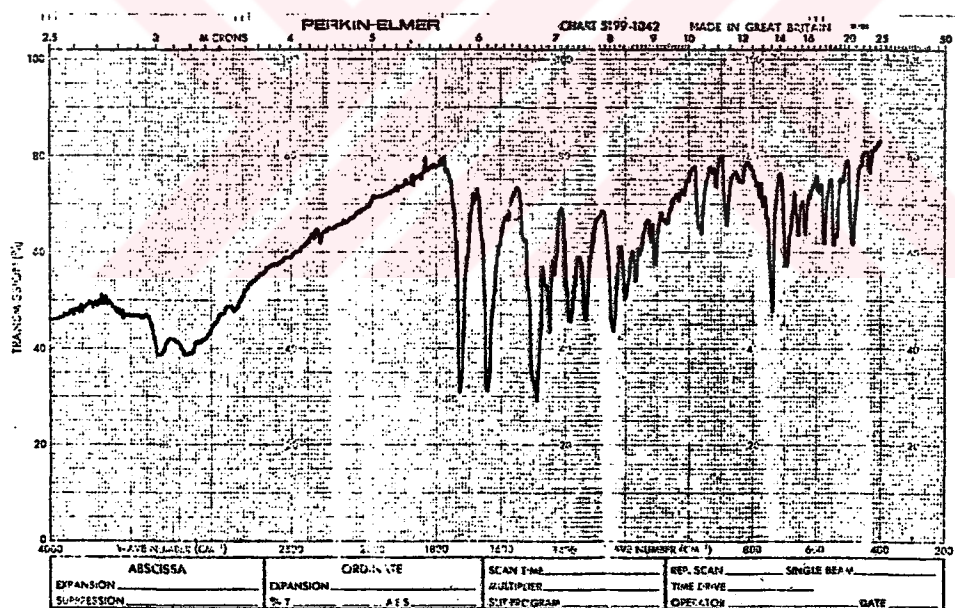
Elementel Analiz : C₁₈H₁₃ON₃S

Teorik Değerler : C: % 67.7, H: % 4.10, N: % 13.13

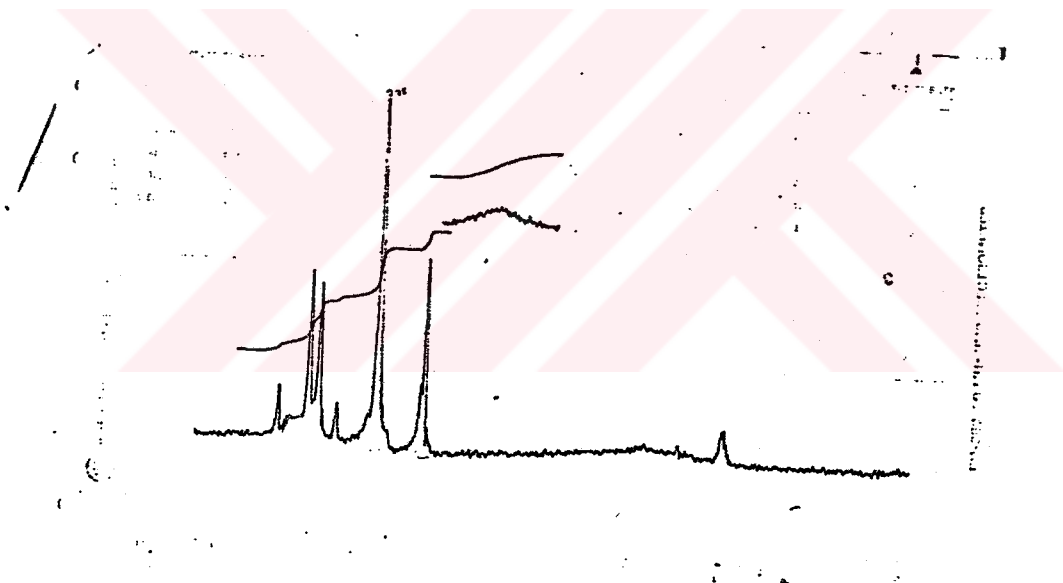
Analiz Sonuçları : C: % 66.85, H: % 4.16, N: % 12.70

UV Spektrumu : λ_{maks} (nm), (log_e) : 392 (5.04),
283 (4.71), 265 (4.70), 229 (4.99)

IR Spektrumu (cm^{-1}) : 3320 (N-H gerilimi), 3130 (Aromatik hidrojen gerilimi), 1730 (C=O gerilimi), 1645 (C=S gerilimi), 1500 (N-H eğilimi), 1240 (C=S gerilimi), 850-750 (Aromatik hidrojenlerin düzlem dışı eğilim titreşimleri).



(S7) ^1H NMR Spektrumu (TMS, DMSO-d_6) : ppm ± 6.90 (s. 1H, -CH=C-), 7.75 (4H, indolün fenil kısmındaki 4 hidrojen), 8.50-8.80 arası(5H indol halkasının 2. konumundaki fenilin 5 hidrojeni), 8.95 (s. 1H, indol N-H), 11.95 (hidantoin N-H ina ait yaygın pik).



5.2. Sentezlenen Bileşiklerin Aldoz Redüktaz Enzim抑制yon Tayini

Sentezlenen bileşiklerin aldoz redüktaz enzimi üzerindeki inhibitör etkileri UV spektrofotometresi kullanılarak saptandı. Bu amaçla hazırlanan çözeltiler aşağıda gösterilmiştir.

- 1) Fosfat tamponu ($\text{pH}=6.2$)
- 2) 5×10^{-5} M NADPH (kofaktör) çözeltisi
- 3) 5×10^{-4} M DL-Gliseraldehit (substrat) çözeltisi
- 4) Sentezlenen bileşiklerin %50 lik dimetilsülfoksit içindeki 1.0×10^{-3} M çözeltileri

Deneyin yapılışı: UV ölçümleri için referans ve deney küvetleri aşağıdaki gibi hazırlandı.

	Referans Küveti	Deney Küveti
Enzim	0.20 ml	0.20 ml
DL-Gliseraldehit	(0.17 ml H_2O)	0.17 ml
NADPH	0.13 ml	0.13 ml
Fosfat tamponu	1.30 ml	1.30 ml
Bileşik ya da H_2O	0.20 ml	0.20 ml

Ölçümler 340 nm dalga boyunda gerçekleştirildi.

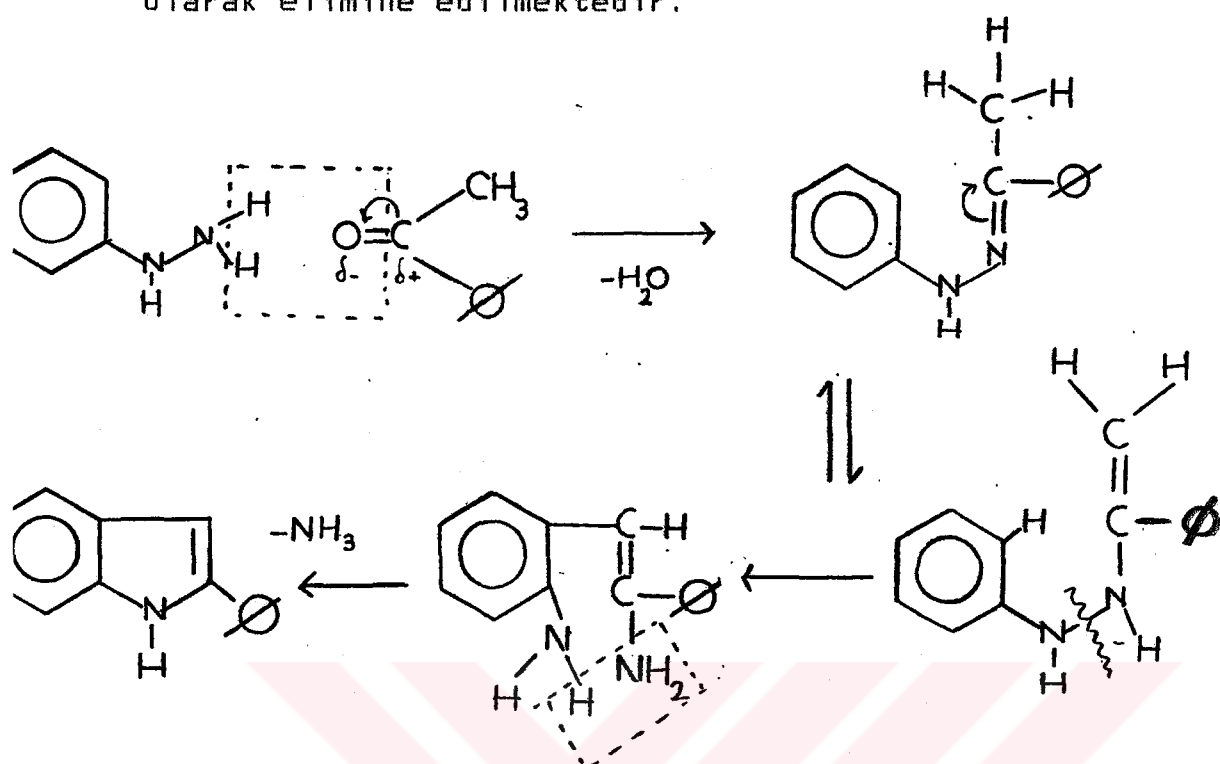
Öncelikle enzim aktifliği, deney küvetinde sentezlenen bileşik yerine distile su konularak saptandı. Daha sonra sentezlenen bileşikler ayrı ayrı ve yukarıda gösterilen hacimlerde distile su yerine konularak enzim üzerinde yaptıkları inhibisyonlar saptandı. Sentezlenen tüm bileşikler, 1×10^{-3} M konsantrasyonda aldoz redüktaz enzimi üzerinde % 100 inhibisyon aktivitesi gösterdi (40).

6. SONUÇ ve TARTIŞMA

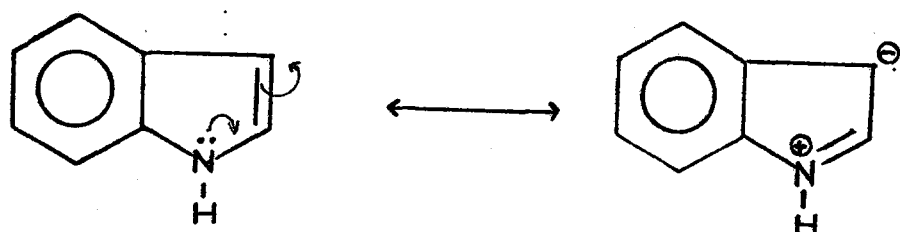
Bu Araştırmada, diabetik komplikasyonlarda oldukça önemli rol oynayan aldoz redüktaz enzimini inhibe eden bileşiklerin sentezleri, yapı aydınlatılması ve enzim üzerindeki *in vitro* inhibisyon aktivitelerinin incelenmesi amaçlandı. Yapılan çalışmalar sonunda sentezlenen 7 bileşik incelendi, ultraviyole, infrared ve NMR spektrmları çekilerek elementel analizleri yapıldı ve bileşiklerin yapı aydınlatılmaları gerçekleştirildi. Sentezlenen bileşikler içinde 6 tanesi orjinal, yeni bileşiktir. Bunlar, S₁, S₂, S₄, S₅, S₆ ve S₇ no lu bileşiklerdir. Yalnızca 3 no lu bileşik daha önce triptofan sentezinde bir ara ürün olarak sentezlenmiştir (18).

Bu araştırmada sentezlenen bileşikler literatürde verilen yöntemlere göre gerçekleştirildi. 2-Fenilindol sentezinde, FISCHER indol sentezi yöntemi kullanıldı (138). Aritihidrazonların siklizasyon sonucunda indole dönüştürülmesi Fischer sentezi olarak bilinmektedir. Reaksiyonun mekanizması ilk kez ROBINSON tarafından ortaya konulmuştur (110) ve aşağıda gösterilmiştir. Buna göre fenithidrazonun ikinci azotu, siklizasyon sırasında amonyak

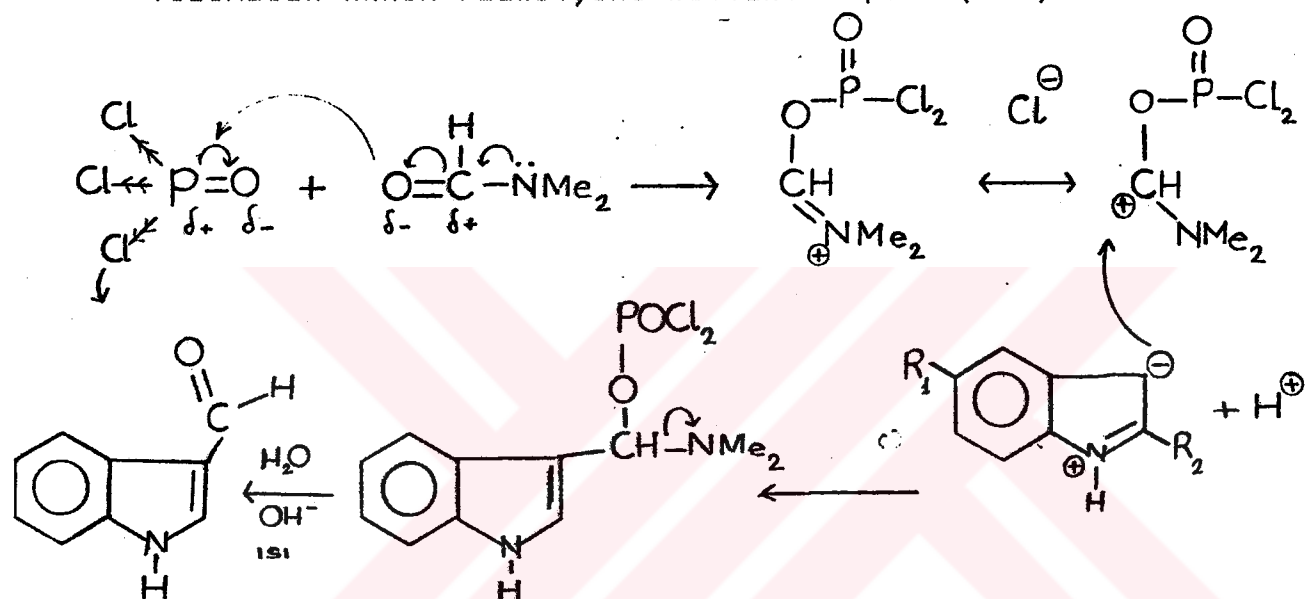
olarak elmine edilmektedir.



Sentez başlangıç maddesi olarak kullanılan bir diğer bileşik, indol halkasına 3 no lu pozisyonuna aldehit grubu takılmasıyla elde edilen indol-3-karboksaldehittir. Elektrofilik bir sübstiyon reaksiyonu ile aldehit grubunun 3 no lu pozisyonuna takılmasının mekanizmasını daha iyi açıklayabilmek için aromatik özellik gösteren indol halkasının rezonans formunuşu şekilde gösterebiliriz.

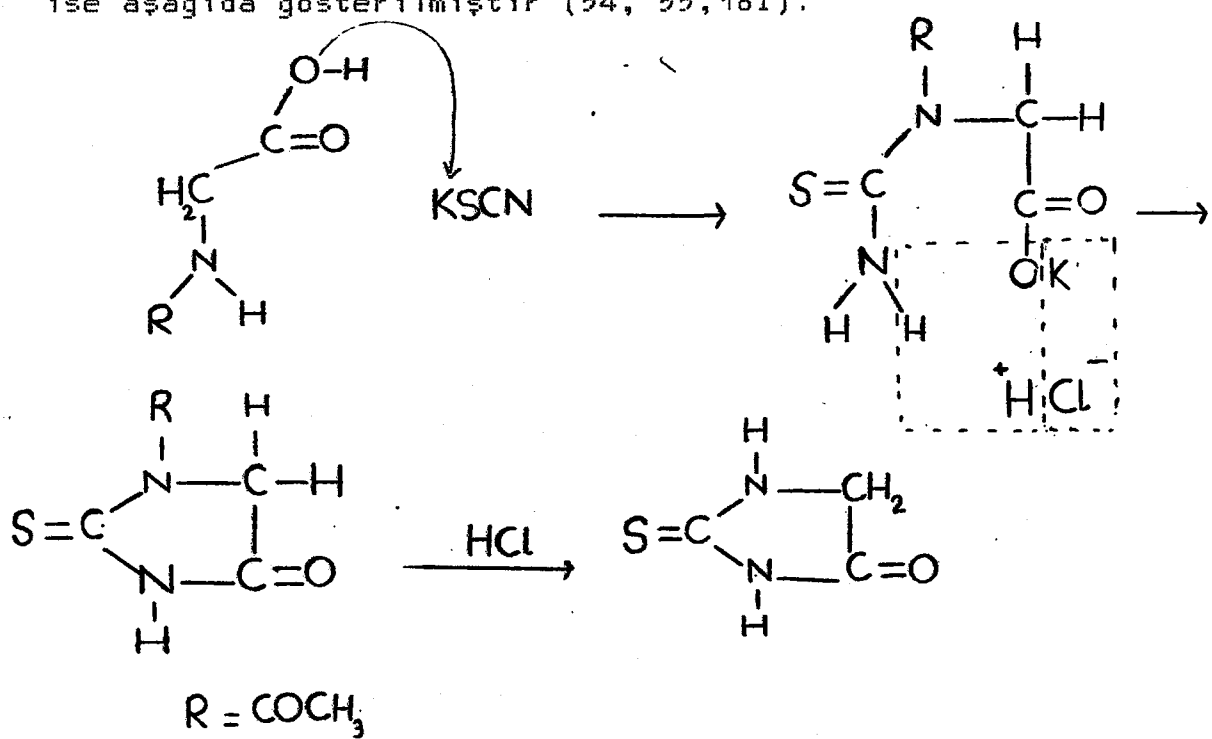


Burada heterosiklik azot atomu çok zayıf bazik özellik göstermektedir. Çünkü, azot üzerindeki ortaklanmamış elektronlar pi-sistemi içindeki delokalizasyona dahil olmaktadır. Bu halkanın pKa değeri, -2.5 olarak bulunmuştur ve protonasyon azot üzerinden değil, 3 numaralı karbon atomu üzerinden olmaktadır (44). indol-3-karboksaldehit sentezinde VILSMEIER-HAACK reaksiyonu kullanılmıştır (139).



1-asetil- 2-tiyohidantoin ve 2-tiyohidantoinin mekanizması

ise aşağıda gösterilmiştir (54, 55, 161).



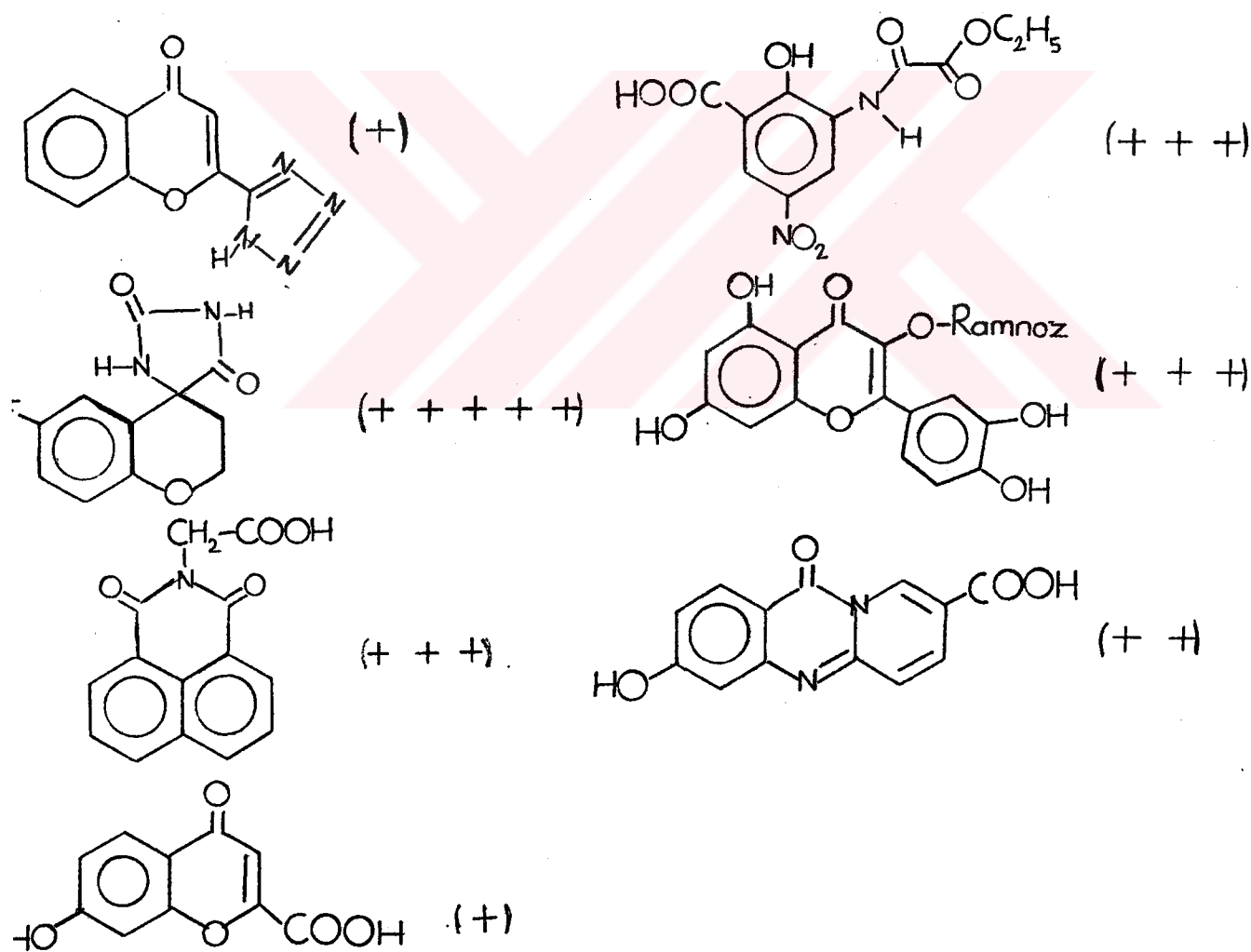
İndol ve türevi bileşikler daha sonra 1-asetil-2-tiyohidantoin ve tiyohidantoin ile muamele edilerek sonuç bileşiklere geçildi. Bu bileşiklerin saflıkları, ergime noktası ve ince tabaka kromatografisi ile kontrol edildi ve UV, IR, NMR ve Elementel analizleri yapılarak spektral olarak da bileşikler kanıtlandı.

Elde edilen bileşiklerin tümü aldoz redüktaz enzimi üzerinde $1 \times 10^{-3} M$ konsantrasyonda %100 inhibisyon gösterdi. Ancak elde edilen enzimin yetersizliği ve enzim aktivitesinin çok çabuk kaybolması nedeniyle daha seyreltik konsantrasyonlarda aktiviteye bakılamamıştır. Daha sonra yapılacak çalışmalarla bu eksiklik giderilecektir. Bunun yanı sıra sentezlenen bileşiklerin 3-boyutlu uzayda aktivite yöresine olan etkileri moleküler orbital yöntemleriyle araştırılacaktır. Bilindiği gibi aldoz redüktaz enziminin X-Ray kristallografisi ile amino asit sıralanması henüz çözümlenmiş değildir. Ancak bu konuda bazı çalışmalar yapılmaktadır (112). Yalnızca yapılan çalışmalar sonunda elde edilmiş olan bazı hipotezler mevcuttur. Bu hipotezlerin başında, enzimin inhibitör yöresinde 3 farklı bölgenin aktivite ile ilgili olduğu vurgulanmaktadır. Bu hipotez modeline göre inhibitör bileşiklerinin etkileri, hidrofobik bağ yapma yeteneğine ve geri-dönüştürücü yük-trasfer

reaksiyonuna ya da nükleofilik atağa bağlı olmaktadır (65). Bu durum, inhibitör bileşik üzerinde yer alan sübstiyentlerin lipofilitesiyle enzim inhibisyon aktivitesi arasında doğrusal bir ilişki olduğu varsayımlını ortaya koymaktadır. Bu lipofilik faktör bir çok aldoz redüktaz enzim inhibisyonu yapan bileşiklerde, örneğin, alrestatin, sorbinil ve çeşitli flavonoidlerde gösterilmiştir (33, 115, 159). Inhibitör bileşığın lipofilik yöresinde yer alan ve hidrojen bağı yapma kapasitesinde olan sübstiyentlerin bir başka etkileşme bölgesini oluşturan nukleotid sarmala bağlanmada etkili olabileceği de belirtilmiştir. Hidrojen bağı yapma yeteneğinde olan hidroksil grubunun bu etkisi, metoksi haline çevrildiğinde ortadan kalkmaktadır. Bu da inhibitör aktivitesinin azalması ile gözlemlenebilmektedir (95). Hidrojen bağıının bir önemi de, bazı bileşiklerdeki aktivite farklılıklarında belirginleşmektedir. Aşağıdaki Tablo 6. 13 den de görüleceği gibi, bazı moleküller üzerinde spesifik pozisyonlarda yer almış hidroksil gruplarını içeren bileşiklerin aldoz redüktaz enzimi üzerinde göstermiş oldukları inhibisyon etkisinin kaybı (yarılanma ömrü), bünyesinde hidroksil grubu taşımayan ve direkt olarak enzimin inhibitör yöresine hidrofobik bağı yapmak suretiyle etki gösteren bileşiklerden daha az olmaktadır. Bu gözlemin en mantıklı açıklaması, hidrojen bağı yapan sübstiyentlerin planar aromatik bir yüzeye bağlı olması, etkinin şiddetini ve

süresini uzatmaktadır. İşte bu amaçla, bu çalışmada sentezlenen bileşiklerde, indol halkasının fenil bölgesinde çeşitli sübstituentler yerleştirildi. Bu sübstituentler, bu çalışmada 3 tane ile sınırlandı (Br , NO_2 ve CN). Araştırmmanın geri kalan kısmında OH , COOH ve NH_2 gibi sübstituentler de yapıya sokulacaktır.

Tablo 6.13. Hidroksil Grubu içeren ve içermeyen Bileşiklerin Aldoz Redüktaz Enzimi Üzerindeki inhibitörleri

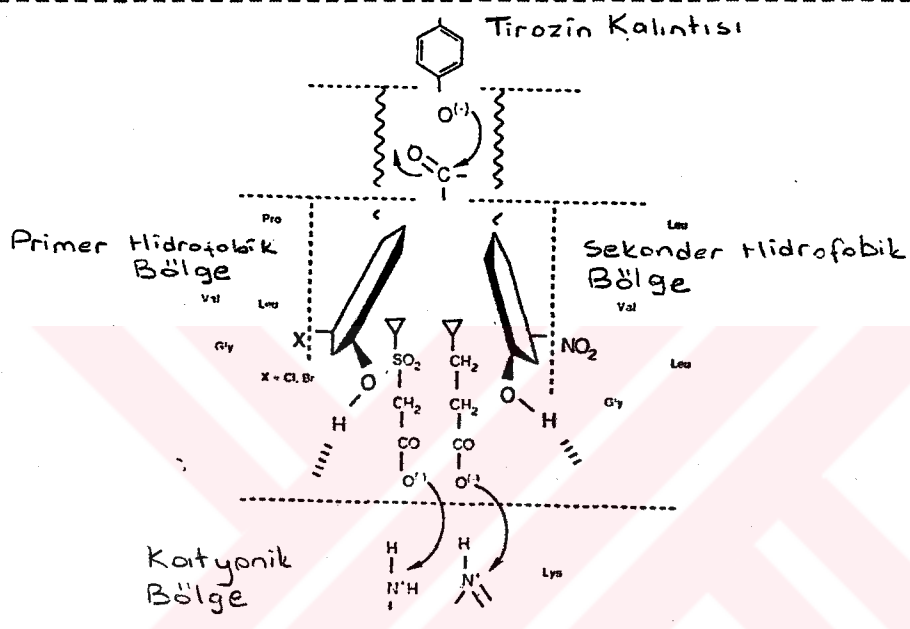


Aldoz redüktaz enzimi ile inhibitör bileşigin etkileşmesinin diğer bir yönü de, bileşigin enzimin inhibitör bölgesindeki önemli etkileşme merkezlerinden biri olduğu varsayılan tirozin amino asit kalıntısı ile meydana getirdiği tetrahedral araüründür (65). Enzimin inhibitör bölgesinin yapısı tam olarak bilinmemesine rağmen, yapılan protein modifikasyonu çalışmalarıyla bu yörede etkin olan amino asit kalıntısının tirosin olduğu anlaşılmıştır (65). Bu etkileşme, bileşik üzerinde yer alan karbonil ya da tiyokarbonil grupları ile gerçekleşmektedir.

Ayrıca, moleküller orbital ve moleküller modelleme ile yapılan hesaplamalarında, geri dönüşümlü nükleofilik atağa maruz olan bir bölgenin varlığı ortaya konulması da bu etkileşim bölgesini doğrulamaktadır (62). Bu bölge, kromen halka sisteminde 4 no lu karbonil grubundan ve 5-sübstitüye hidantoinlerde ise yine 4-karbonil grubundan kaynaklanmaktadır (65). 5-Sübstitüye hidantoin bileşiklerinde 4-karbonil grubunun nükleofilik baza olan reaktivitesi, 3 no lu pozisyonda bulunan imid yapısının iyonizasyonu ile artmaktadır (3).

Tirozin amino asidinin yapısında bulunan hidroksil grubu, karbonil ya da tiyokarbonil üzerine bir nükleofilik atak yaparak sözü edilen tetrahedral araürünü oluşturmaktadır.

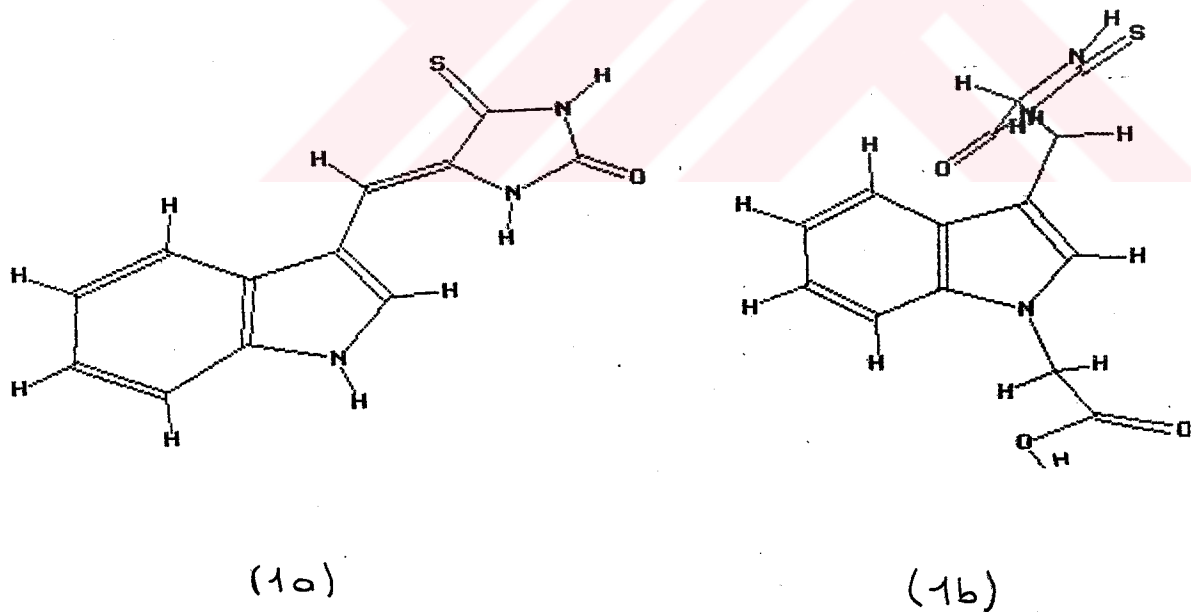
Bu hipotetik ilişki Şema 6.3. de gösterilmiştir (80). Ancak, alternatif olarak öne sürülen bir yaklaşım da karbonil ya da tiyokarbonilin yük-transer ile tirozin hidroksil grubuyla etkileşmesidir ki, her iki durumda da enzimde bir konformasyonel değişim olabileceği varsayımlı söz konusudur.



Şema 6.3. Aldoz Redüktaz Enzim inhibityonun Hipotetik Olarak Gösterimi

Bu araştırmada sentezlenen bileşiklerin, tiyohidantoin yapısına sahip olması nedeniyle tirozin amino asit kalıntısının hidroksil grubuyla nükleofilik atak ya da yük-transfer etkileşimine girmeye olasılığı yüksek görülmektedir. Ancak sentezlenen bileşiklerin moleküler yapılarına bakıldığında indol halkası ile tiyohidantoin halkası arasında

çifte-bağ içeren bir metilen köprüsü olduğu görülmektedir. Bu köprü, iki halka arasında bir miktar rigid (katı) bir konformasyon sağlamaktadır. Bu nedenle etkileşme nükleotid sarmal bölgesinin yakınında bulunan tirozin kalıntısı üzerinden olacaksa, bu rigid yapının yeterince esnekliğe sahip olmaması nedeniyle etkileşme yeterli düzeyde olmayabilir. Çünkü, enzime yaklaşan molekülün en iyi etkileşmeyi verebilecek bir konformasyona dönüşmesi doğaldır. Burada moleküler boyutlarının da önemli rol oynayabileceği düşünülmüştür. Sentezlenen bileşiklerin genel konformasyonu (1a) ve sentezlenmesi düşünülen bileşiğin konformasyonu (1b) aşağıda gösterilmiştir (Şema 6.4).



Şema 6.4. Sentezi Düşünülen Bileşiğin Konformasyonu

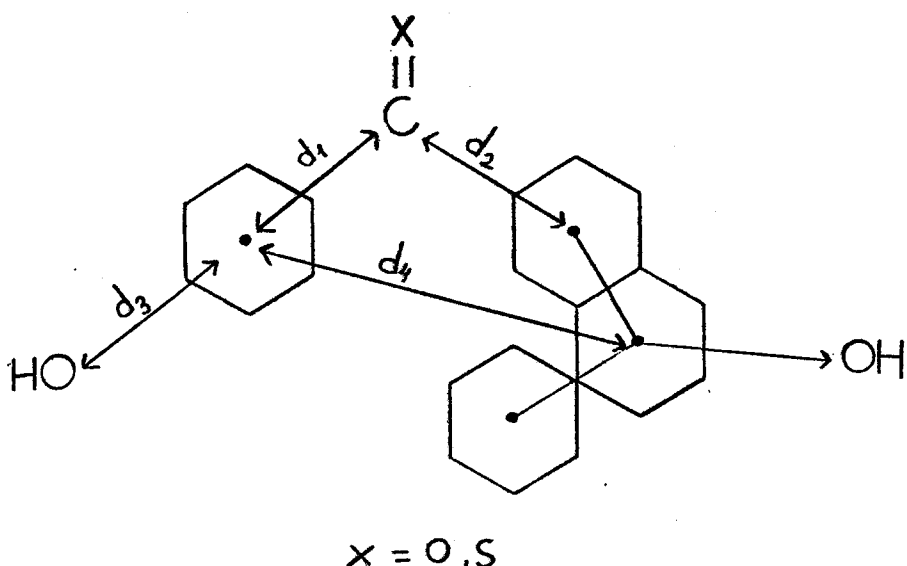
Buradan da anlaşıldığı gibi, aldoz redüktaz enzimi ile etkileşmesi düşünülen inhibitör bileşiğin rigid bir konformasyondan ziyade, daha esnek bir konformasyona sahip olması gerekliliğidir. Çünkü, herhangi bir enzimle etkileşen bileşikde ve enzimde konformasyonel dönüşümlerin olduğu bilinmektedir. Bu nedenle bu tez ile sunulan araştırmada daha ileri sentez basamaklarının düşünülmesi gerekmektedir. Bunların başında indol yapısı ile tiyohidantoin yapısı arasında yer alan çift-bağı-metilen köprüsünün hidrojenizasyonu gelmektedir. Çifte bağın doyurulması ile oluşacak yapının daha esnek bir konformasyona sahip olacağı kesindir.

Inhibitör bileşiklerin aldoz redüktaz enzimi ile etkileşmesinde elde edilen bir diğer önemli yaklaşım da, karboksilik asidik bir yapının moleküldeki varlığıdır (80). Eğer aldoz redüktaz enzim inhibitörü üzerinde negatif yük bir bölge söz konusu ise basit iyonik etkileşme ile yük-transfer etkileşmesi gerçekleştirilebilmektedir. Bilindiği gibi karboksilik asitler fizyolojik pK_a da negatif yük verirler. Bu da karboksil grubu içeren bileşiklerin inhibitör etkilerinin kısmen de olsa açıklamasının bir parçasını oluşturmaktadır. Eğer aldoz redüktaz inhibitörü üzerinde yer alan negatif yük bölge, enzim ile iyonik etkileşmeye girip yük-transfer reaksiyonu oluşturuyorsa, karboksilik asidin esterleşmesi ile

ortaya çıkan bileşigin inhibitör etkisinin düşmesi beklenirdi. Ancak, 7-hidroksi-kromen-2-karboksilik asit türevlerinde bu durumun olmadığını görüyoruz (62). 7-Hidroksi-4-okso-4H-kromen-2-karboksilik asit analoglarıyla yapılan çalışmalarda bu aktivite azalması belirgin olarak ortaya çıkmamaktadır (62). Karboksilik asitteki fizyolojik ortamdaki negatif yük odaklanmasıının aktivite üzerindeki belirgin etkisini ele aldığımda hidantoin ya da tiyohidantoin yapılarının da fizyolojik ortamda negatif yük odaklanması maruz kaldığı ve bu suretle de tirozin hidroksili ile tetrahedral araürün oluşturduğu düşünülmüştür. Ancak burada unutulmaması gereken bir durum söz konusudur. Bu da, karboksil fonksiyonunun karbonil ya da tiyokarbonil yapısı bulunmadığı zaman onun yerine geçebileceğinin varsayımdır. Çünkü, gene protein modifikasyon çalışmalarıyla elde edilen sonuçlara göre, enzimin inhibitör bölgesinde bulunan katyonik kafadaki amino asit kalıntıları kibunlar, arjinin, lizin ve histidindir, etkileştiği sanılmaktadır (76). Arjinin kalıntısı nukleotid sarmalın yakınında yer almaktadır ve NADPH kofaktörünün kullanılmasında rol oynamaktadır (65). Öne sürülen hipoteze göre, katyonik kafa, primer ve sekonder hidrofobik planar yüreye koplanar bir şekilde yer almaktadır (76).

Lipofilik bağlanma yörenlerinin ve yük-transfer ya da nükleofilik atak yörenlerinin belirlenmesi ile inhibitör

moleküldeki optimum uzaklıklar yaklaşık olarak hesaplanmıştır (65). Buna göre planar lipofilik (aromatik) bölgenin nükleofiltik atağa maruz kalacak grup (karbonil ya da tiyokarbonil) ile arasında yaklaşık $2.8-3.0 \text{ \AA}^{\circ}$ (merkezden merkeze) uzaklık olması gerekliliği ortaya konulmuştur. Hidrofobik etkileşmeyi sağlayacak lipofilik bölge, iki ayrı bölge olarak ele alındığında, primer lipofilik bölgeye koplanar şekilde yerleşmiş bulunan sekonder bölgenin, nükleofilitik atak bölgesinden yaklaşık $2.8-6.1 \text{ \AA}^{\circ}$ uzaklıkta lokalize olduğu söylenebilmektedir. Bu uzaklıklar içerisinde yer alan moleküllerin optimum inhibisyon etkisine sahip olduğu gösterilmiştir (65). Buna benzer olarak hidrojen bağı yapacak hidroksil gruplarının primer lipofilik bölgeden $2.8-3.8 \text{ \AA}^{\circ}$ ve $8.9-9.3 \text{ \AA}^{\circ}$ uzaklıkta bulunmalarının inhibitör etkinin şiddetini artırdığı saptanmıştır (65). Yapılan bu çalışmada sentezlenen bileşiklere bakıldığında 5 bileşiğin (no:1, 3, 4, 5 ve 6) hidrofobik etkileşmeyi sağlayacak yalnızca bir tane planar bölgesi olduğunu görmekteyiz. Diğer iki bileşikde ise indol yapısında 2 no lu pozisyonda bulunan fenil grubu sekonder lipofilik bölge olarak düşünülebilir. Hipotetik olarak varsayılan bölgeler-arası optimal uzaklıği aşağıdaki Şema 6.5. den görebiliriz(65).



$d_1 \quad 2.8 - 3.8 \text{ \AA}$

$d_2 \quad 2.8 - 6.1 \text{ \AA}$

$d_3 \quad 2.8 - 3.8 \text{ \AA}$

$d_4 \quad 8.0 - 9.3 \text{ \AA}$

Şema 6.5. Aldoz Redüktaz Enzimini inhibe eden bileşiklerden elde edilen moleküler bölgeler arası yaklaşık uzaklıklar.

Bu araştırmada sentezlenen bileşiklerin optimal uzaklıkları ise Tablo 6.14 de gösterilmiştir. Elde edilen bu bulguları hipotetik değerler ile karşılaştırdığımızda karşımıza şu sonuçlar çıkmaktadır.

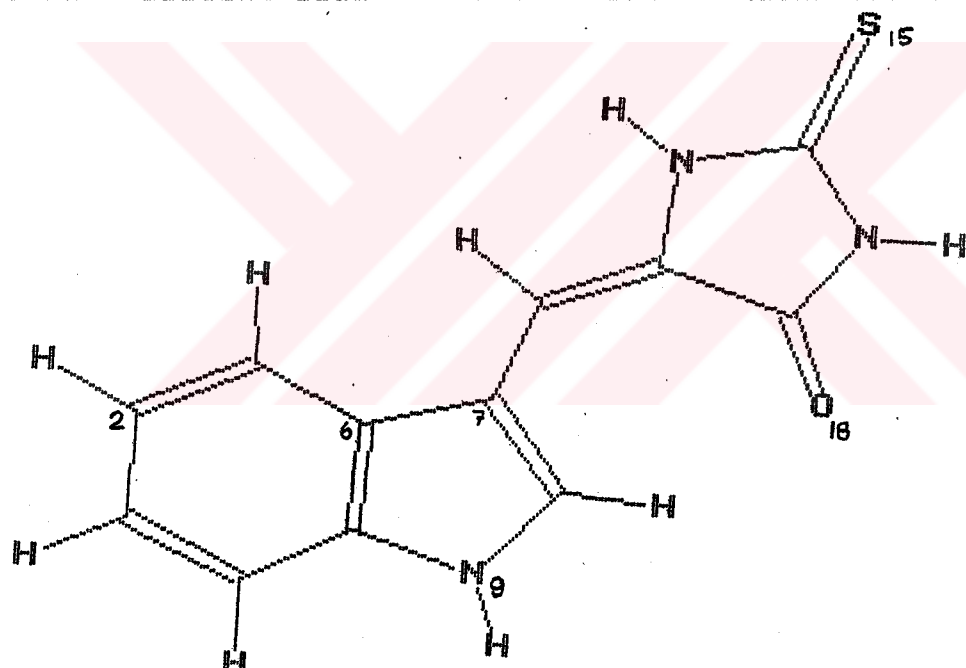
1. Primer lipofilik bölge ile karbonil grubu arasındaki uzaklık ele alındığında sentezlenen bileşiklerde bu uzaklığın hipotetik uzaklıklara oranla 2 misli fazla olduğu görülmüştür.

2. Sekonder aromatik yapı, karbonile oranla hipotetik olarak $2.8 - 6.1 \text{ \AA}$ olması gerekmektedir. Sentezlenen bileşiklerden

Bunlardan elde edilen uzaklıklar ise $6.91 - 7.35 \text{ \AA}^{\circ}$ şeklinde bulunmuştur (iki bileşikden elde edilen uzaklıklar Tablo 6.14. de gösterilmemiştir).

3. İndol halkasında yer alan -NH- grubu, -OH gibi düşünüldüğünde, bu uzaklılığın hipotetik olarak $5.6 (2.8+2.8) - 7.6 (3.8+3.8) \text{ \AA}^{\circ}$ olduğu görülmektedir. Sentezlenen bileşiklerden elde edilen sonuçlar ise bu uzaklılığın $6.23 - 6.98 \text{ \AA}^{\circ}$ olduğunu göstermektedir.

Tablo 6.14. Sentezlenen Bileşiklerden Elde Edilen Önemli Noktalar Arasındaki Uzaklıklar (\text{\AA})



C2 - S15	$6.61 - 7.25$
C2 - N9	$3.96 - 4.01$
C6 - S15	$5.39 - 6.17$
C7 - S15	$4.56 - 5.83$
N9 - O18	$6.23 - 6.98$
C7 - O18	$4.34 - 5.42$

Elde edilen bu sonuçların yanı sıra sentezlenen bileşiklerde tiyokarbonil grubu yerine karbonil grubunun etkileşebileceği varsayımlı da söz konusudur. Bu durumda uzaklıklar, birinci nokta için, 5.42 - 6.78, ikinci nokta için, 4.37 - 4.69 ve Üçüncü noktası için ise, 4.61 - 5.02 Angstron olarak değişim göstermektedir. Bu ikinci olasılık söz konusu olduğu zaman, elde edilen sonuçların hipotetik verilere daha uyumlu olduğu anlaşılmaktadır. Ancak, bu varsayımin daha fazla kesinlik kazanması, daha ayrıntılı biyolojik deneylerin yapılması ile ortaya çıkabilecegi de bir gerçektir.

7. ÖZET

Bu çalışmada, yeni 5-(3'-indolal)-2-tiyohidantoin türevleri tasarlandı ve aldoz redüktaz inhibitörleri olarak sentezlendi. Şeker hastalığı ile ilgili komplikasyonlarda önemli rol oynayacağı umulan bileşikler aşağıda gösterilmiştir.

S₁- (yeni) 5-[(5'-siyano)-3'-indolal]-1-asetil-2-tiyohidantoin

S₂- (yeni) 5-[(2'-fenil)-3'-indolal]-1-asetil-2-tiyohidantoin

S₃- (83) 5-(3'-indolal)-2-tiyohidantoin

S₄- (yeni) 5-[(5'-bromo)-3'-indolal]-2-tiyohidantoin

S₅- (yeni) 5-[(5'-nitro)-3'-indolal]-2-tiyohidantoin

S₆- (yeni) 5-[(5'-siyano)-3'-indolal]-2-tiyohidantoin

S₇- (yeni) 5-[(2'-fenil)-3'-indolal]-2-tiyohidantoin

Sentezlenen bileşiklerin ergime noktaları ölçüldü

sonuçlar düzeltilmeden verildi. Elementel

analiz sonuçları karbon, hidrojen ve azot için teorik

değerlerin % ±0.4 sınırları içinde bulundu.

IR spektra KBr diskleri kullanarak elde edildi ve cm⁻¹ olarak ifade edildi. Bileşiklerin ¹H NMR spektrasi DMSO-d₆ çözeltisi içinde ve tetrametilsilan standart olarak

kullanılarak elde edildi.

Bileşikler, dana lenslerinden elde edilen kısmen saflaştırılmış aldoz redüktaz enzime karşı biyokimyasal olarak *in vitro* test edildi (substrat : DL-gliseraldehit, kofaktör : NADPH). Bu bileşikler potent bir aldoz inhibitörü olan sorbinil ile kıyaslandığında 1.0×10^{-3} M konsantrasyonda yüksek aktivite gösterdiler.

Yukarıda liste halinde verilen tüm bileşiklerin enzimin inhibitör bölgесine tam olarak uyum sağlayabilmesi için, uzaysal konformasyon davranışlarını daha esnek olmasını sağlayacak bazı kimyasal modifikasyonlara gereksinim olmasının durumuna bağlı olarak, aldoz redüktaz inhibisyonu göstereceği beklenmektedir. Bu konudaki çalışmalar halen sürdürülmektedir.

8. İNGİLİZCE ÖZET (SUMMARY)

In this study, a new series 5-(indolal)-2-thioxohidantoin derivatives were designed and synthesis for testing them as aldose reductase enzyme inhibitors. The compounds which are expected to be playing an important role in the management of the complications related to diabetes mellitus are :

- S₁- (new) 5-[(5'-cyano)-3'-indolal]-1-acetyl-2-thioxohidantoin
- S₂- (new) 5-[(2'-phenyl)-3'-indolal]-1-acetyl-2-thioxohidantoin
- S₃- (83) 5-(3'-indolal)-2-thioxohidantoin
- S₄- (new) 5-[(5'-bromo)-3'-indolal]-2-thioxohidantoin
- S₅- (new) 5-[(5'-nitro)-3'-indolal]-2-thioxohidantoin
- S₆- (new) 5-[(5'-cyano)-3'-indolal]-2-thioxohidantoin
- S₇- (new) 5-[(2'-phenyl)-3'-indolal]-2-thioxohidantoin

All melting points were taken and were uncorrected except the compound (S₃) previously synthesized. Spectral data were recorded for all compounds and were in agreement with the structures assigned. Elemental analyses were performed and results obtained for C, H and N, were found to be with in ± 0.4 per cent of the theoretical values unless otherwise denoted. IR spectra were obtained by using the KBr discs and

were reported in reciprocal centimeters. ^1H NMR spectra of $(\text{CD}_3)_2\text{SO}$ solutions of the compounds [$(\text{CH}_3)_4\text{Si}$, 0 ppm] were recorded.

The compounds were assayed in vitro with partially purified aldose reductase enzyme from bovine lenses, using DL-glyceraldehyde as the substrate, and NADPH as cofactor. These drugs were appropriately found to be highly active at 1.0×10^{-3} M concentration via comparing with sorbinil, a potent aldose reductase inhibitor.

All the compounds listed above have showed promising aldose reductase inhibitory activity in spite of the fact that there might be required some chemical modifications on their spatial conformational behaviour in order to obtain more flexible molecules to fit accurately into the enzyme's inhibitory site. This is under investigation.

9. KAYNAKLAR

1. ABAOĞLU, C., ALEKSANYAN, V. : Semptomdan Teşhise. Klinik, Bioşimik ve Fizyopatolojik Esasları İle. 5. Baskı, Sermet Matbaası, İstanbul, 1970.
2. AGAKI, Y., YAJIMA, Y., KADOR, P.F., KUWABARA, T., KINOSHITA, J.H. : Localization of Aldose Reductase in the Human Eye. *Diabetes*. 33: 562-566, 1984.
3. ASPELUND, H., WASELUND, H., WASELIUS, P.: Resistance of Hydantoins and 5-Hydroxyhydantoins to Alkalai. *Acta Acad Abo, Math. Phys.* 27: 18-20, 1967.
4. BELLAMY, L.T. : The Infra-Red Spectra of Complex Molecules Great Britain by Richard Clay Ltd. 1966.
5. BELLETIRE, J.L., SARGES, R. : Spiro-imides and Lowering Sorbitol Levels. U.S.Pat.4,307,108.,Chem. Abstr. 96: 181165, 1982.
6. BELLETIRE, J.L.: Halogen-Substituted Benzopyran and Benzothiopyran-4-carboxilik acids and Pharmaceutical Compositions Containing Them. Eur.Pat.11,426., Chem. Abstr. 94: 121235, 1981.
7. BENTSATH, A., RUSZNYAK, S.T., SZET-GYORRYI, A. : Effect of Flavons on Capillary Permeability of Vitamin-P. *Nature*. 138: 798-800, 1936.
8. BOOT-HENFORD, R., HEATH, H. : The Effect of Aldose Reductase Inhibitors On the Metabolism of Cultured Monkey Kidney Epithelial Cells. *Biochem. Pharmacol.* 30: 3065-7, 1981.
9. BRANLANT, G. : The Substrate Binding Site of Aldehyde Reductase from Pig Liver. Stereochemical Investigation Using NADPH-2-Oxodiacid Adduct as Probe. *Eur. J. Biochem.* 121: 407-411, 1982.
10. BRITTAINE, D.R. : In Proceeding of the Third SCI-RSC Medicinal Chem. Symposium, ed. R.W. Lambert . Aldose Reductase Inhibitors:Structure, Activity, and Their Potential for Therapy in Diabetic Complications. Royal Soc. of. Chem. London. 210-240, 1986.

11. BRITtain, D.R., WOOD, R. : In Vitro and In Vivo Aldose Reductase Inhibitory Activities of Miscellaneous Spiro- Imidazolidine-2',5'-diones. Eur.Pat. 125.090. Chem. Abstr. 102: 113493, 1985.
12. BRUBAKER, A.N., DeREUTIER, J., WHITMER, W.M.: Synthesis and Rat Lens Aldose Reductase Inhibitory Activity of Some Benzopyran-2-one. J. Med. Chem. 29: 1094-1099, 1986.
13. CANAL, N., COMI, G. : Aldose Reductase Inhibitors: Pharmacological Data and Therapeutic Perspectives. Trends in Pharmacol. Sci. 328-330, 1985.
14. CHANG, A.Y., WYSE, B.M., GILCHRIST. : The Upjohn Colony of Kay Mice : A Model for Obese Typ 2 Diabetes. Diabetes. 32 : 839-843, 1983.
15. CHAUDHRY, P.S., CABRERA, J., JULIANI, H.R., VARMA, S.D. : Inhibition of Human Lens Aldose Reductase by Flavonoids, Sulindac and Indomethacine. Biochem. Pharmacol. 32 : 1995-1998, 1983.
16. CHENEY, B.V., WRIGHT, J.B., HALL, C.M., JOHNSON, J., CHRISTOFFERSEN : Strutuctre-Activity Correlations for a Series of Antiallergy Agents. Oxanilic,Quinaldic and Benzopyran-2-carboxilic Acids. J. Med. Chem. 21 : 936-940, 1978.
17. COHEN, W., CHAU, S. : Prevention of Cataract Development in Severely Galactosemic Rats by the Aldose Reductase Inhibitor, Tolrestat. Fed. Proc. 43 : 599-605, 1984.
18. COKER, J.N., KOLHASE, W.L., FIELDS, M., ROGERS, A.O., STEVENS, M.A. : Synthesis and Resolution of Thryptophan. J. Am. Chem. Soc. 27 : 850-854, 1962.
19. COLLINS, J.F. : Antibiotics, Proteins, and Nucleic Acids. Brit. Med. Bull. 21 : 223-227, 1965.
20. COTLIER, E., SHARMA, Y.R. : Aspirin and Senile Cataract in Rheumatoid Arthritis. Lancet. 1(8215) : 338-347, 1981.
21. CROMLISH, J.A., FLYNN, T.G. : Purification and Characterization of Two Aldehyde Reductase Isoenzymes from Rabbit Muscle. J. Biol. Chem. 258 : 3416-3424, 1983.

22. CREUSRET, M.H., FENIOU, C., GUICHARD, F., MOSSER, J., PONTAGNIER, H. PRAT, G. : Flavone-4'-carboxilic Acids and Their Use in The Treatment of Diabetes. Fr.Pat.2,543,140. Chem. Abstr. 102 : 149115, 1984.
23. CRUESRET, M.H., FENIOU, C., GUICHARD, F., MOSSER, J., PRAT, G., PONTAGNIER, H. : 3-Methanesulphonyl derivative of quersitrin. Eur. Pat. 121,489. Chem. Abstr. 102 : 78724, 1984.
24. CULEBRAS, A., ALIO, J., HERREA, J.L., LOPEZFRAILE, I.P. : Tolrestat in Diabetic Complications. Arch. Neurol. 38 : 133-137, 1981.
25. DAVIDSON, W.S., WALTON, D.J., FLYNN, T.G. : A Comparative Study of the Tissue and Species Distribution of NADPH-dependent Aldehyde Reductase. : Comp. Biochem. Physiol. 606 : 309-315 1978.
26. DOUGHTY, C.G. LEE, S., CONRAD, S., SCHADE, S. : Kinetic Mechanism and Structural Properties of Lens Aldose Reductase. Enzymology of Carbonyl Metabol. 223-242, 1982.
27. DVORNIK, D., SIMARD-DUQUESNE., KRAML, M.: Polyol Accumulation in Galactosemic and Diabetic Rats:Control by Aldose Reductase Inhibitor. Science. 182: 1146-1148, 1973.
28. DVORNIK, D., SIMARD-DUQUESNE, M. : Pharmaceutical Compositions for Treatment of Complications Associated with Diabetes: Belg.Pat 855,368. Chem. Abstr. 95: 103336, 1981.
29. DVORNIK, D., SIMARD-DUQUESNE, M., KRAML, K., SESTANJ,K.H., KINOSHITA, J.H. : Inhibition of Aldose Reductase in vivo. Science (Washington DC). 182 : 1146-1147, 1973.
30. ELLIS, D. : Intermediary Metabolism of Muscle in Duchenne Muscular Dystrophy. Br. Med. Bull. 36 : 165-171, 1980.
31. ENGERMAN, R.L., KERN, T.S. : Experimental Galactosemic Produces Diabetic-Like Retinopathy. Diabetes. 33 : 97-100, 1984.

32. FAGIUS, J., JAMESON, S. : Effect of Aldose Reductase Inhibitor Treatment in Diabetic Polyneuropathy-a Clinical and Neurophysiological Study. *J. Neurol. Neurosurg. Psychia* 44 : 991,1001, 1981.
33. FAURAN, F., FENION, C., MOSSER, J., PRAT, G. : Acetals Derives de Glycosides de la Quercetine Inhibiteurs de l'aldose Reductase . *Eur. J. Med. Chem.* 13 : 503-508, 1978.
34. FRETEN, P., TOMLINSON, D.R., TOWNSEND, J. : Inhibition Study of Statil on Diabetic Complications Exposed to Aldose Reductase Enzyme. *Br. J. Pharmacol.* 82 : 265P, 1984.
35. GABBAY, K.H. : The Polyol Pathway and the Complications of Diabetes. *N. Eng. J. Med.* 288 : 831-836, 1973.
36. GABBAY, K.H., SNIDER, J.J. : Nerve Conduction Defect in Galactose-fed Rats. *Diabetes*. 21 : 295-307, 1972.
37. GONZALES, R.G., BARNETT, P., AGUAYO, J., CHENG, H.M., CHYLACK, L.T. : Direct Measurement of Polyol Pathway in the Ocular Lens. *Diabetes*. 33 : 196-199, 1984.
38. GRIFFIN, B.W., CHANDLER, M.L., DE SANTIS, L. : Aldose Reductase Distribution and Activation in Diabetic and Galactosemic Rat Lens. *Invest. Ophthalmol. Vis. Sci.* 25(Supp12): 136-138, 1984.
39. GRIFFIN, B.W., CHANDLER, M.L., SHANNON, W.A., DE SANTIS, L. : Prevention of Retinal Capillary Basement Membrane Thickening Diabetic Rats by Aldose Reductase Inhibitors. *Invest. Ophthalmol. Vis. Sci.* 25(suppl13): 159-161, 1984.
40. HAYMAN, S., KINOSHITA, J.H. : Isolation and Properties of Lens Aldose Reductase. *J. Biol. Chem.* 240 : 877-880, 1965.
41. HAYMAN, S., LOU, M.F., MEROLA, L.O., KINOSHITA, J.H. : Aldose Reductase in Lens and Other Tissues. *Bio. Chim. Bio. Phys. Acta*. 128 : 474-482, 1966.
42. HEGLER, H., SCHNEIDER, F., LEDERER, F. : Thiazolidine Derivatives, Intermediates Therefore, and Pharmaceutical Preparations. *Eur. Pat.129747., Chem. Abstr.* 102 : 166740, 1985.

43. HERZ, H.G. : La Mechanisme de la Transformation de Glucose en Fructose par les Vesicules Seminales. Biochim. Biophys. Acta. 22 : 202-203, 1956.
44. HINMAN, R.L., LANG, J.: Protonation of Indoles-basicity Studies- Dependence of Acidity Functions on Indicator Structure. J. Am. Chem. Soc. 86: 3796-3798, 1964.
45. HUMBER, L.G. : The Medicinal Chemistry of Aldose Reductase Inhibitors. Prog. Med. Chem. 24 : 299-343, 1987.
46. HUNT, R.C., MORRISON A.D. : Inhibition of Aldose Reductase by Ibuprofen. Clin. Res. 32 : 398A, 1984.
47. HUTCHINSON, A.J. : Aldose Reductase Inhibitors Containing Heterocycle Other Then Spirohydantoin. Eur.Pat. 79,675. Chem. Abstr. 99 : 194944, 1983.
48. HUTTON, J.C., SCHOFIELD, P.J., WILLIAMS, J.F., HOLLWS, F.C. : Failure of Aldose Reductase Inhibitor 3,3'-Tetramethylene glutaric acid to Inhibit in vivo Sorbitol Acummulation in Lens and Retina in Diabetes. Biochem. Pharmacol. 23 : 2991-2994, 1974.
49. INAGAKI, K., MIVA, T., YASHIRO, T., OKUDA, J. : Inhibition of Aldose Reductases from Rat and Bovine Lenses by Hydantoin Derivatives. Chem. Pharm. Bull. 30: 3244-3254, 1982.
50. IRIKURA, T., TAKAGI, K., FUJIMORI, S., HIRATA, Y. : Spiro-Linked Pyrrolidine-2,5-diones. Chem. Abstr. 104 : 5884, 1986.
51. ITO, Y., KITAURU, Y., OKU, T., SAWADWA, K., SUZUKI, Y., HASIMOTO, S. : Furanon Derivatives. Jap.Pat. 60/178879. Chem. Abstr. 104 : 207131, 1986.
52. JAMES, P.N., SNYDER, H.R. : Indole-3-Aldehyde. Org. Synthesis. 539-541, 1930
53. JEDZINIAC, J.A., CHYLACK, L.T., CHENG, H.M., GILLIS, M.K., KALUSTIAN, A.A. : The Sorbitol Pathway in the Human Lens. Invest Ophthalmol. Vis. Sci. 20 : 314-326, 1981.
54. JOHNSON, B., BEGIN, R. : The Preparation of Hydantoin from Hippuric Acid. J. Am. Chem. Soc. 35 : 1605-1606, 1911.

55. JOHNSON, B., NICOLET, H. : Synthesis of 2-thiohydantoin. J. Am. Chem. Soc. 33 : 1973-1978, 1911.
56. JR.MUNSON, H.R. : 4H-Pyrrolo[3,2,1-ij]quinoline-1,2-diones U.S.Pat.4,198,414. Chem. Abstr. 93 : 71574, 1980.
57. KADOR, F.P., AKAGI, Y., KINOSHITA, J.H. : The Effect of Aldose Reductase and It's Inhibition on Sugar CataractFormation. Metabolism. 35(Suppl): 15-19, 1986.
58. KADOR, F.P., KINOSHITA, J.H., DATILES, M. : Aldose Reductase Inhibitors: A Potential New Class of Agents for the Pharmacological Control Certain Diabetic Complication. J. Med. Chem. 28 : 841-849, 1981.
59. KADOR, P.F., CARPER, D., KINOSHITA, J. : Rapid Purification of Human Placental Aldose Reductase. Anal. Biochem. 114 : 53-58, 1981.
60. KADOR, P.F., GOOSEY, J.D., SHARPLESS, N.E., KOLISH, J., MILLER,D.D. : Stereospecific Inhibition of Aldose Reductase. Eur. J. Med. Chem. 16 : 293-298, 1981.
61. KADOR, P.F., KINOSHITA, J.H., SHARPLESS, N.E. : The Aldose Reductase Inhibitor Site. Metabolism. 35 : 109-113, 1986.
62. KADOR, P.F., KINOSHITA, J.H., SHARPLESS, N.E. : Aldose Reductase Inhibitors : A New Class of Agents for the Pharmacological Control of Certain Diabetic Complications. J. Med. Chem. 28 : 841-849, 1985
63. KADOR, P.F., KINOSHITA, J.H., TUNG, W.H., CHYLACK, L.T. : Differences in the Susceptibility of Aldose Reductase to Inhibition. Invest Ophthalmol. Visual. Sci. 19 : 980-982, 1980.
64. KADOR, P.F., ROBINSON, W.G., KINOSHITA, J.H. : The Pharmacology of Aldose Reductase Inhibitors. Ann. Rev. Pharmacol. Toxicol. 25 : 691-714, 1985.
65. KADOR, P.F., SHARPLESS, N.E. : Pharmacophor Requirement of the Aldose Reductase Inhibitor Site. Mol. Pharmacol. 24 : 521-531, 1983.
66. KADOR, P.F., SHARPLESS, N.E. : Structure-Activity Studies of Aldose Reductase Inhibitors Containing the 4-oxochoromen Ring System. Biophys. Chem. 8 : 81-85, 1978.

67. KADOR, P.F., SHARPLESS, N.E., GOOSEY, J.D. : In Progress in Clinical and Biological Research. 114. Workshop on Enzymology of Aldehyde Dehydrogenase and Aldehyde Ketone Reductase : Eds: Weiner, H., Wermuth, B. 243-259, 1982.
68. KATO, E., YAMAMOTO, Y., BABA, T., WATANABE, T., KAWASHIMA, Y., MASUDA, H. : Synthesis and Aldose Reductase Inhibitory Activity of Thiazolidine carboxylic Acids Containing a Disulfide Bond. Chem. Pharm. Bull. 33 : 74-83, 1985.
69. KATO, E., YAMAMOTO, K., BABA, T., WATANABE, T., KAWASHIMA, Y., HORIUCHI, M. : Synthesis and Aldose Reductase Inhibitory Activity of N-Acylthiazolidine carboxylic Acid. Chem. Pharm. Bull. 33 : 5341-5350, 1985.
70. KAWAMATSU, Y., FUGITA, T., YAMAMOTO, Y. : Thiazolidin Derivatives. Eur.Pat. 91,761. Chem. Abstr. 100 : 103326, 1984.
71. KELBAUGH, P.R., SARGES, R. : Spiro-Furandihdantoin derivatives. U.S.Pat.4,147,797. Chem. Abstr. 91 : 20511, 1979.
72. KERN, T.S., ENGERMAN, R.L. : Immunohistochemical Distribution of Aldose Reductase. Histochem. 14 : 507-515, 1982.
73. KINOSHITA, J.H. : Mechanism Initiating Cataract Formation. Invest Ophthalmol. 13 : 713-724, 1974.
74. KINOSHITA, J.H. : Cataracts in Galactosemia. The Jones Friedewald Memorial Lecture. Invest Ophthalmol. 4 : 786-799, 1965.
75. KINOSHITA, J.H., DVORNIK, D., KRAML, M., GABBAY, K.H. : The Effects of an Aldose Reductase Inhibitor on Galactose-exposed Rabbit Lens. Biophys. Acta. 158 : 472-475, 1968.
76. KINOSHITA, J.H., FUKUSHI, S., KADOR, P.F., MEROLA, L.D. : Aldose Reductase in Diabetic Complications of the Eye. Metabolism. 28 : 462-469, 1979.
77. KINOSHITA, J.H., KADOR, P.F., DATILES, M.J. : Aldose Reductase in Diabetic Cataracts. J. Am. Med. Assoc. 246 : 257-261, 1981.

78. KISSINGER, C.R., ADMAN, E.T., CLARK, J.I., STENKAMP, R.E. Chrystal Structure of Sorbinil. *Acta. Crystallogr.* 41 : 986-989, 1985.
79. KISSMAN, H.M., FARNSWORTH, D.W., WITKOP, B. : Fischer Indole Synthesis with Polyphosphoric Acid. *J. Am. Chem. Soc.* 74 : 3948-3949, 1952.
80. KLOPMAN, G., BUYUKBINGOL, E. : An Artificial Intelligence Approach to the Study of the Structural Moieties Relevant to Drug-Receptor Interactions in Aldose Reductase Inhibitors. *Mol. Pharmacol.* 34: 852-862, 1988.
81. LAURITZEN, T., FROST-LARSEN, K., LARSEN, H.W., DECKERT, T. Effect of One Year of Near-Normal Blood Glucose Levels on Retinopathy in Insulin-Dependent. *Lancet.* 29 Jan. : 200-204, 1983.
82. LEFEMINE, D.V., DANN, M., BARBATSCHI, F., HAUSMANN, W.K., ZBINOVSKI,V. : Isolation and Characterization of Mitromycin and Other Antibiotics Produced by Streptomyces verticillatus. *J. Am. Chem. Soc.* 84 : 3184-3185, 1962.
83. LINAR I.L. : Erlenmeyer synthesis. *Org. Chem.* 2: 550-553. 1948.
84. LIPINSKI, C.A., HUTSON, J.N. : A New Approach to the Treatment of Diabetic Complications. *Ann. Rep. Med. Chem.* 19 : 169-177, 1984.
85. LUDVIGSON, M.A., SORENSEN, R.L. : Immunohistochemical Localization of Aldose Reductase. I. Enzyme Purification and Antybody Preparation in Perioheral Nerve, Artery and Testis. *Diabetes.* 29 : 438-449, 1980.
86. MARAGOUDAKIS, M.E., KALINSKY, H., WASVARY, J., HANKIN, H. Inhibition of Basement Membrane Biosynthesis and Aldose Reductase Activity by GPA 1734. *Fed. Proc.* 35 : 679-684, 1976.
87. MARAGOUDAKIS, M.E., WASVARY, J., HANKIN, H., GARGIULO, P. : Human Placenta Aldose Reductase. *Mol. Pharmacol.* 25 : 425-430, 1984.
88. MIWA, I., HIRANO, M., INAGAKI, K., BELBECH, C., OKUDA, J. : Development of Potent Aldose Reductase Inhibitors Having a Hydantoin Structure. *Biochem. Pharmacol.* 36 : 2789-2794, 1987.

89. MOON, C.K., YUN, Y.P., LEE, H., WAGER, H., SKIN, Y.S.: Inhibition of Lens Aldose Reductase Activity by Brazilin and Haematoxylin. *Planta Med.* 1 : 66-67, 1985.
90. MURPHY, D.G., DAVIDSON, W.S. : Inhibition Studies on Chicken Muscle Aldose Reductase. *Biochem. Pharmacol.* 34(16) : 2961-2965, 1985.
91. NAKAI, N., FUJII, Y., KOBASHI, K., NOMURA, K. : Aldose Reductase Inhibitor: Flavonoids, Acetophenones, Benzophenones and Spirohydantoin of Chromane. *Arch. Biochem. Biophys.* 239 : 491-496, 1981.
92. OBAZAWA, H., MEROVA, L.D., KINOSHITA, J.H. : Effects of Xylose on the Isolated Lens. *Invest Ophthalmol.* 13 : 204-209, 1974.
93. OHISHI, Y., NAGAHARA, M., TAKEHISA, Y., YAJIMA, M., KURAKAWA, S., KALKAWA, N. : Rhodanine Derivative. Eur.Pat 143,461. *Chem. Abstr.* 103 : 996070, 1985.
94. OKOMATO, M., UCHIDA, I., UMAHARA, K., KOHSAKA, M., IMANAKA. : Furanon Derivatives. Eur.Pat. 99,692. *Chem. Abstr.* 100 : 191723, 1984.
95. OKUDA, J., MIWA, I., INAGAKI, K., HORIE, T., NAKAYAMA, M. Inhibition of Aldose Reductase from Rat and Bovine Lens by Flavonoids. *Biochem. Pharmacol.* 31: 3807-3822, 1982.
96. OKUDA, J., MIWA, I., INAGAKI, K., HORIE, T., NAKAYAMA, M. Inhibition of Aldose Reductase by 3',4'- dihydroxy flavone. *Chem. Pharm. Bull.* 32: 767-772, 1984.
97. OKUDA, J., YASHIMA, K., INAGAKI, K., MIWA, I. : Effect of an Aldose Reductase Inhibitor 1-[(*p*-bromophenyl)sulfonyl] Hydantoin on Cataract Formation and Tissue in Galactosemic Rats. *Chem. Pharm. Bull.* 33(7): 2990-2995, 1985.
98. ONO, H., NOZAWA, Y., HAYANO, S. : Effects of M79175. An Aldose Reductase Inhibitor on Experimental Sugar Cataracts. *Acta Soc. Ophthalmol. Jpn.* 86: 1343-1350, 1982.
99. ONO, H., HAYANO, S.: 2,2',4,4'-Tetrahydroxybenzophenol as a New Aldose Reductase Inhibitor. *Acta Soc. Ophthalmol. Jpn.* 86(4): 353-357, 1982.

100. OYA, M., ISO, T. : Pyrrolidine-and Thiazolidine Carboxylic Acid Derivatives. Jap.Pat.57/106658. Chem. Abstr. 97 : 182401, 1982.
101. O'BRIEN, M.M., SCHOFIELD, R.J. : Polyol-Pathway Enzymes of Human Brain. Partial Purification and Properties of Aldehyde Reductase and Hexonate Dehydrogenase. Biochim. J. 187: 21-30, 1980.
102. PETERSON, M.J., SARGES, R., ALDINGER, C.E., McDONALD, D.P. A Novel Aldose Reductase Inhibitor that Inhibits Polyol Pathway Activity in Diabetic and Galactosemic Rats. Metabolism. 28(Suppl1): 456-461, 1979.
103. PFISTER, J.R., WYMAN, E.W., MAHONEY, J.M., WATERBUTY, L.D. Synthesis and Aldose Reductase Inhibitory Activity of 7-Sulfamoylxanton-2-carboxylic acids. J. Med. Chem. 23 : 1264-1267, 1980.
104. POTTINGER, F.K. : A Study of Three Enzymes Acting on Glucose in the Lens of Different Species. Biochem. J. 104 : 663-668, 1967.
105. POULSOM, R., HEATH, H. : Inhibition of Aldose Reductase in Five Tissues of the Streptozotocine Diabetic Rats. Biochem. Pharmacol. 32 : 1495-1499, 1983.
106. POULSOM, R.: Inhibition of Hexonate Dehydrogenase and Aldose Reductase from Bovine Retina by Sorbinil, Statil, M79175 and Valproate. Biochem. pharmacol. 35 : 2955-2959, 1986.
107. RASKIN, P., ROSENSTOCK, T. : Aldose Reductase Inhibitors and Diabetic Complications. Am. J. Med. 83 : 298-306, 1987.
108. RICHON, A.B., MARAGOUDAKIS, M.E., WASVARY, J.S. : Isoxazolidine-3,5-diones as Lens Aldose Reductase. J. Med. Chem. 25 : 745-747, 1982.
109. RIZZI, J.P., SCHNUR, R.C., HUTSON, N.J., KRAUS, K.G., KELBAUGH, P.R. : Rotationally Restricted Mimics of Rigid Molecules : Nonspirocyclic Hydantoin Aldose Reductase Inhibitors. J. Med. Chem. 32 : 1208-1213, 1989.
- * 110. ROBINSON, T.P., BROWN, R.K.: Mechanism of Fischer-indole Synthesis. Can. J. Chem. 42: 1940-1943, 1964.

111. ROBINSON, W.G., KADOR, P.F., KINOSHITA, J.H. : Retinal Capillaries : Basement Membrane Thickening by Galactosemia Prevented with Aldose Reductase Inhibitory. *Science*. 221 : 1177-1179, 1983.
112. RONDEAU, J.M., SAMAMA, J.P., SAMAMA, B., BARTH, P., MURAS, D., BIELLMANN, J.F. : Crystallization and Preliminary X-Ray Study of Pig Lens Aldose Reductase. *J. Mol. Biol.* 195 : 945-948, 1987.
113. ROSLER, K.H.A., GOODWIN, R.S., MARBRY, T.J., VARMA, S.D., NORIS, J. : Flavonoids from *Brickellia Glutinosa*. *J. Nat. Prod.* 47 : 711-714, 1984.
114. SARGES, R. : Phenyl or Phenoxy Substituted Spiroimidazolidinedione Derivatives. U.S.Pat.4,181,729. *Chem. Abstr.* 92 : 163972, 1980.
115. SARGES, R. : Spirohydantoin Compounds. W. Ger. Pat. 2,746,244. *Chem. Abstr.* 89 : 24308, 1978.
116. SARGES, R., Pharmaceutical Hydroxyethylazoles. U. S. Pat. 4,209,527. *Chem. Abstr.* 93 : 204655, 1980.
117. SARGES, R., BELLETIRE, J.L. : Spiroimidazolidinediones. U. S. Pat. 4,181,728. *Chem. Abstr.* 92 : 146774, 1980.
118. SARGES, R., BELLETIRE, J.L., SCHNUR, R.C.: Pharmaceutical Preparations Containing Cumarin Carboxilic Acid Derivatives. U. S. Pat. 4, 210,667. *Chem. Abstr.* 93 : 245470, 1980.
119. SARGES, R., BORDNER, J., DOMINI, B.W., PETERSON, M.J., WHIPPLE, E.B. : Synthesis Absolute Configuration and of the Aldose Reductase Inhibitor Sorbinil. *J. Med. Chem.* 28 : 1716-1720, 1985.
120. SARGES, R., PETERSON, M.J. : Sorbinil : A Member of the Novel Class of Spirohydantoin Aldose Reductase Inhibitors. *Metabolism*. 35(Suppl), 101-104, 1986.
121. SARGES, R., SCHNUR, R.C. : Treating Diabetes-Associated Complications with Hydantoin Amines U. S. Pat. 4,248,882. *Chem. Abstr.* 94 : 192339, 1981.
122. SARGES, R., SCHNUR, R.C. : Thienohydantoin Derivatives. U. S. Pat. 4,127,665. *Chem. Abstr.* 90 : 87464, 1979.
123. SARGES, R.: Hydantoin Derivatives. U. S. Pat. 4,235,911. *Chem. Abstr.* 94 : 121540, 1981.

124. SARGES, R.: Hydantoin Therapeutic Agents. U. S. Pat. 4,130,714, Chem. Abstr. 92 : 94401, 1980.
125. SCHNUR, R.C. : Spiro-Quinoline Hydantoins. U. S. Pat. 4,176,185. Chem. Abstr. 92 : 111015, 1980.
126. SCHNUR, R.C. : Isoquinoline Acetic Acids and Containing Them. Eur. Pat. 30,861., Chem. Abstr. 95 : 169009, 1981.
127. SCHNUR, R.C. : Spiroquinoline Hydantoins. U. S. Pat. 4,193,996. Chem. Abstr. 93 : 46449, 1980.
128. SCHNUR, R.C., SARGES, R., PETERSON, M.J. : Spirooxazolidinedione Aldose Reductase Inhibitors. J. Med. Chem. 25 : 1451-1454, 1982.
129. SELEGMAN, A.B., SELEGMAN F.P., VARMA, S.D., WAGNER, H. : Lens Aldose Reductase Inhibitory Activity of Marijuana Flavon C-Glycodides. J. Pharm. Sci. 66 : 1358-1359, 1977.
130. SESTANJ, K. : 2-Thioxobenz[cd]indole-1(2H)-acetic Acid Derivatives. U. S. Pat. 4,254,108. Chem. Abstr. 98 : 179217, 1983.
131. SESTANJ, K. : Thioxo-1H-benz[de]isoquinoline-2(3H)-acetic Acid Derivatives. U. S. Pat. 4,254,108. Chem. Abstr. 95 : 24852, 1981.
132. SESTANJ, K., ABRAHAM, N.A., BELLINI, F., TRASURYWALA, A. : Polyconsation of Butyl Ester of Glicine in Metyl Methacrylate. Chem. Abstr. 98 : 72727, 1983.
133. SESTANJ, K., ABRAHAM, N.A., BELLINI, F., TREASURYWALA, A. : N-(Naphthylthiocarbonyl)amino Acid Derivatives. Can. Pat. 1,147,739. Chem. Abstr. 100 : 7158, 1984.
134. SESTANJ, K., BELLINI, F., FUNG, S., ABRAHAM, N., TREASURYWALA, A. HUMBER, L.G. : N-[(5-(Trifluoromethyl)-6-methoxy-1-naphthalenyl)-thioxomethyl]-N-methylglycine (Tolrestat). A Potent Orally Active Aldose Reductase Inhibitor. J. Med. Chem. 27 : 255-256, 1984.
135. SHABICA, A.C., HOWE, E.E., ZEIGLER, J.B., TISHLER, M. : Improved Synthesis of Indole-3-aldehyde. J. Am. Chem. Soc. 68 : 1156-1157, 1946.

136. SHARMA, Y.R., COTLIER, E. : Inhibition of Lens and Cataract Aldose Reductase by Protein-bound Anti-rheumatic Drugs: Salicylate, Indomethasine, Oxyphenbutazone, Sulindac. *Exp. Eye. Res.* 35 : 21-27, 1982.
137. SHIMIZU, M., ITO, T., TERASHIMA, S., HAYASHI, T., ARISAWA, M., MORITA, N. : Inhibition of Lens Aldose Reductase by Flavonoids. *Phytochemistry*. 23 : 1885-1889, 1984.
138. SHIRINER, R.L., ASHIES, W.C., WELCH, E. : Synthesis of 2-phenylindole. *Org. Synthesis*. 3: 98-100, 1955.
139. SMITH, G.E.: Formylation of Indoles as Vilsmeier-Haack Type Reaction. *J. Chem. Soc.* 3842-3846, 1954.
140. SOHDA, T., MIZUNO, K., IMAMIYA, E., SUGIYAMA, Y., KUTIKA, T., KAWAMATSU, Y. : Studies on Antidiabetic Agents. II. Synthesis of 5-[4-(1-Methyl-cyclo-hexyl-methoxy)-benzyl] and Its Derivatives. *Chem. Pharm. Bull.* 30 : 3580-3600, 1982.
141. SOHDA, T., MIZUNO, K., IMAMIYA, E., TAWADA, H., MEGURO, K., KAWAMATSU, Y. : Studies on Antidiabetic Agents. III. Synthesis 5-Arylthiazolidine-2,4-diones as Potent Aldose Reductase Inhibitors. *Chem. Pharm. Bull.* 30 : 3601-3616, 1982.
142. SOHDA, T., MIZUNO, K., IMAMIYE, E., TAWADA, H., MEGURO, K., FUKI, T., : Studies on Antidiabetic Agents. I. Synthesis of AL 321 and Related Compounds. *Chem. Pharm. Bull.* 30 : 3563-3565, 1982.
143. STRIBLING, D., MIRRLEES, D.J., EARL, D.C.N. : Properties of ICI 128,436:A Novel Aldose Reductase Inhibitor and its Effects on Diabetic Complications in the Rat. *Diabetologia*. 25 : 196-197, 1983.
144. TADEO, T., MASANORI, K., AKIO, A., TETSUYA, M., MASAHI, M., HIROSHI, T. : Rhodanine Derivatives and an Aldose Reductase Inhibitors Containing the Rhodanine Derivatives as Active Ingredients. *Eur. Pat.* 47,109., *Chem. Abstr.* 97 : 23781, 1982.
145. TADEO, T., SATOGHI, S., MASANORI, K., MASAHI, H., HIROSHI, T. HIRATA, F. : Rhodanine Derivatives and Aldose Reductase Inhibitors Containing Such Derivatives. *Eur. Pat.* 45,165., *Chem. Abstr.* 96 : 217830, 1982.

146. TANIMOTO, T., FUKUDA, T., KAWAMURA, H. : Characterization of Aldose Reductase 1a and 1b from Rabbit Lens. *Chem. Pharm. Bull.* 32 : 1025-1031, 1984.
147. TANIMOTO, T., FUKUDA, H., KAWAMURA, J., NAKAO, M., SHIMADA, U. : Inhibition of Aldose Reductase from Rabbit Lens by Oxazole Derivatives. *Chem. Pharm. Bull.* 32 : 1032- 1039, 1984.
148. TANIMOTO, T., FUKUDA, H., KAWAMURA, J., NAKAO, M., SHIMADA, U., YAMADA, A. : Inhibitory Effect of Benzylloxazolecarbamate Analogues on Aldose Reductase. *Chem. Pharm. Bull.* 34 : 2501-2505, 1986.
149. TANIMOTO, T., FUKUDA, H., YAMAHA, T., TANAKA, C. : Reaction and Mechanisms of Aldose Reductase from Rabbit Lens. *Chem. Pharm. Bull.* 34 : 4183-4189, 1986.
150. TERASHIMA, H., HAMA, K., YAMAMOTO, R., SUBOSHIMA, M.T., KIKAWA, R., : Effects of New Aldose Reductase Inhibitor on Various Tissues in vitro. *J. Pharmacol. Exp. Ther.* 229 : 226-230, 1984.
151. TEULON, J.M. : Benzothiazine Derivatives and Analogs and Medicaments Useful as Aldose Reductase. *Eur. Pat.* 161,776., *Chem. Abstr.* 104 : 109668, 1986.
152. THE STENO STUDY GROUP. Effect of 6 Months of Strict Metabolic Control on Eye and Kidney Function in Insulin-Dependent Diabetics with Backgräund Retinopathy. *Lancet.* 16 Jan. : 121-123, 1982.
153. TOMLINSON, D.R., TOWNSEND, J. FRETEN, P. : Prevention of Deffective Acsonal Transport in STZ Diabetic Rats by Treatment with Statil (ICI 128,436), an Aldose Reductase Inhibitor. *Diabetes.* 34 : 970-972, 1985.
154. UDEA, I., MATSUMO, M., SATOH, S., WATANABE, T. : Compounds with Electrophilic Reactivity. VII. Synthesis and some Properties of 2-Substituted 5-Hydroxymethylamino-1,3-dioxanes. *Eur. Pat.* 22,317. *Chem. Abstr.* 95 : 7226, 1981.
155. UNGER, R.H. : Meticulous Control of Diabetes : Benefits, Risk and Precautions. *Diabetes.* 31 : 479-483, 1982.
156. VAN-HEYNINGEN, R. : Formation of Polyols by the Lens of the Rat with "Sugar" Cataract. *Nature.* 184 : 194-195, 1959.

157. VARMA, S.D. : Inhibition of Aldose Reductase by Flavonoids. in Plant Flavonoids in Biology and Medicine: Biochemical, Pharmacological, and Structure-Activity Relationships. Alan R. Liss, Inc. 343-358, 1986.
158. VARMA, S.D., KINOSHITA, J.H. : Inhibition of Lens Aldose Reductase by Flavonoids. Biochem. Pharmacol. 25 : 2505-2513, 1976.
159. VARMA, S.D., MIKUNI, I., KINOSHITA, J.H. : Flavonoids as Inhibitors of Lens Aldose Reductase. Science. 188 : 1215-1216, 1975.
160. VARMA, S.D., MIZUNO, A., KINOSHITA, J.H. : Diabetic Cataracts and Flavonoids. Science. 195 : 205-206, 1977.
161. WAGNER, E.C., SIMONS, J.K. : Preparation of Hydantoin. J. Chem. Educ. 13 : 265-168, 1936.
162. WERMOUTH, B., BURGESSER, H., BOHREN, K., VON-NARTBURG, J.P. : Purification and Characterization of Human-Brain Aldehyde Reductase. Eur. J. Biochem. 127 : 279-284, 1982.
163. YORK, B.M. : Inhibiting Aldose Reductase Activity and Preparation of Spiro-Fluorofluorenes and Spiro-Difluorodifluorenes. Pat. Coop. Treat. Intl. Appl. 8,303,543. Chem. Abstr. 100 : 139108, 1984.
164. YORK, B.M. : Hydantoins for Treatment of Complication from Diabetes Mellitus. Pat. Coop. Treat. Intl. Appl. 8,303,542. Chem. Abstr. 100 : 185790, 1984.
165. YUE, D.K., HANWELL, M.A., SATCHELL, P.M., TURTLE, J.R. : The Effect of Aldose Reductase Inhibition on Motor Nerve Conduction Velocity in Diabetic Rats. Diabetes. 31: 789-794, 1982.

ÖZGEÇMİŞ

1964 Yılında İstanbul'da doğdum. İlkokulu Ankara Yüceitepe İlkokulu, ortaokul ve lise eğitimimi ise Ankara Anıttepe Lisesi'nde tamamladıktan sonra, 1981 yılında Ankara Üniversitesi Eczacılık Fakültesi'ne girdim ve 1985 yılında mezun oldum. Daha sonra 1987 yılında A.Ü. Eczacılık Fakültesi Farmasötik Kimya Anabilim Dalında Araştırma Görevlisi olarak çalışmaya başladım. 1988 Yılı Güz döneminde başladığım Yüksek Lisans Öğrenimini 1990 Yılı Güz döneminde tamamladım. Halen A.Ü. Eczacılık Fakültesi Farmasötik Kimya Anabilim Dalında Araştırma Görevlisi olarak çalışmaktayım.

T. C.
Yükseköğretim Kurulu
Dokümantasyon Merkezi